

Printed at the Mathematical Centre, 49, 2e Boerhaavestraat, Amsterdam.

The Mathematical Centre, founded the 11-th of February 1946, is a non-profit institution aiming at the promotion of pure mathematics and its applications. It is sponsored by the Netherlands Government through the Netherlands Organization for the Advancement of Pure Research (Z.W.O), by the Municipality of Amsterdam, by the University of Amsterdam, by the Free University at Amsterdam, and by industries.

MC SYLLABUS 29.1a

J.C.P. BUS (RED.)

**COLLOQUIUM NUMERIEKE
PROGRAMMATUUR**

DEEL 1a

MATHEMATISCH CENTRUM AMSTERDAM 1976

AMS(MOS) subject classification scheme (1970): 65-01

ISBN 90 6196 128 9

Inhoud

<u>Deel 1a</u>	v
<i>Voorwoord</i>	<i>vii</i>
1. Lineaire Algebra	1
1.1. Oplossing van stelsels lineaire vergelijkingen en inversie door J.C.P. Bus	1
1.2. Het eigenwaardenprobleem en de singuliere waarden ont- binding door D.T. Winter	47
2. Beginwaarde- en begin-randwaarde problemen	63
2.1. Beginwaardeproblemen voor stelsels gewone differentiaal- vergelijkingen door P.A. Beentjes	63
2.2. Begin-randwaardeproblemen voor partiele differentiaal- vergelijkingen door P.J. van der Houwen	81
3. Randwaardeproblemen	101
3.1. Oplossen van tweepunts randwaardeproblemen door P.W. Hemker en J.P. Roos	101
3.2. Elliptische randwaardeproblemen voor partiele differentiaal- vergelijkingen door M. Bakker en P.J. van der Houwen	143

Inhoud

<u>Deel 1b</u>	<i>v</i>
4. Speciale functies en Fouriertransformatie	179
4.1. Speciale functies	
door N.M. Temme	179
4.2. Fouriertransformatie	
door C.G. van der Laan	209
5. Niet-lineaire vergelijkingen en optimalisering	257
5.1. Stelsel niet-lineaire vergelijkingen	
door J.C.P Bus	257
5.2. Minimaliseren zonder nevenvoorwaarden	
door J.C.P. Bus	271
5.3. Constrained minimization via unconstrained minimization	
door F.A. Lootsma	283

VOORWOORD

Het Colloquium Numerieke Programmatuur, waarvan het eerste deel werd gehouden in de eerste helft van 1976, werd georganiseerd door de Afdeling Numerieke Wiskunde van het Mathematisch Centrum. Het doel van de lezingen was voornamelijk om geïnteresseerden vertrouwd te maken met het gebruik van de programmatheken ACCULIB (ALGOL 60 en FORTRAN), IMSL (FORTRAN), NAG (ALGOL 60 en FORTRAN) en NUMAL (ALGOL 60). Het colloquium was dan ook vooral bestemd voor, wat men bij de rekencentra noemt, de gebruiker. Hiermee worden de vele personen aangeduid, die voor de oplossing van hun fysische, chemische, statistisch of andere problemen gebruik kunnen maken van numerieke algoritmen die in de vorm van routines beschikbaar zijn in de genoemde programmatheken bij de verschillende rekencentra. Er is dan ook zoveel mogelijk geprobeerd om aan de hand van konkrete praktijkproblemen het gebruik van de beschikbare programmatuur toe te lichten. Het gebied van de numerieke wiskunde dat in het eerste deel van dit colloquium is bestreken is zeer ruim. Het omvat lineaire algebra, differentiaalvergelijkingen, speciale functies, Fouriertransformaties en optimalisering.

Wij hopen dat de twee boekjes waarin de lezingen van dit colloquium zijn weergegeven voor de bovengenoemde gebruiker een nuttige gids kunnen zijn bij de selectie van de juiste programmatuur voor de oplossing van zijn problemen. Tenslotte wil de redakteur zijn dank betuigen aan degenen die aan de totstandkoming van deze syllabus hebben meegewerkt, met name ook aan mevr. I. Pins voor het typen van het manuscript en aan D. Zwarts en J. Schipper voor het drukken en binden van deze boekjes.

J.C.P. B.

1. LINEAIRE ALGEBRA

1.1. Oplossing van stelsels lineaire vergelijkingen en inversie

door J.C.P. Bus
(Mathematisch Centrum)

1.1.1. Inleiding

Bezien we het totale gebied van de numerieke wiskunde dan kunnen we wel konkluderen dat de numerieke (lineaire) algebra één van de meest uitgewerkte deelgebieden is. Met name voor de oplossing van stelsels lineaire vergelijkingen bestaan vele goed geanalyseerde algoritmen en iedere programmatheek bevat dan ook een uitgebreide verzameling programmatuur op dit gebied. Wij zullen ons in deze bijdrage beperken tot vier programmatheken welke op het SARA-systeem beschikbaar zijn of binnenkort beschikbaar komen. Dit zijn:

ACCULIB	(ALGOL 60 en FORTRAN);
IMSL	(FORTRAN);
NAG	(ALGOL 60 en FORTRAN);
NUMAL	(ALGOL 60).

Het doel van deze bijdrage is tweeledig. Enerzijds willen wij een overzicht geven van de programmatuur voor het oplossen van stelsels lineaire vergelijkingen en inversie, welke beschikbaar is in deze vier programmatheken. Anderzijds willen we aan de hand van een probleem uit de molecuulfysika, de knelpunten aangeven bij het gebruik van deze programmatuur voor het oplossen van bepaalde problemen.

1.1.2. Overzicht van de beschikbare programmatuur

We beschouwen het probleem een lineair stelsel

$$(1.1.2.1) \quad Ax = b$$

op te lossen, waarbij A een $(n \times m)$ -matrix, x een m-vektor en b een n-vektor is. Dikwijls zal men bij een gegeven matrix de oplossing van (1.1.2.1) willen vinden voor verschillende rechterleden b. We kunnen dit noteren als:
los op

$$(1.1.2.1) \quad AX = B,$$

waarbij B een $(n \times p)$ -matrix is van p rechterleden (kolommen van B); de kolommen van de $(m \times p)$ -matrix X zijn dan de overeenkomstige oplossingen.

We zullen een overzicht van de programmatuur in de vier beschouwde programmatheken geven door middel van een aantal tabellen. In tabel 1 wordt een ruwe indeling gegeven van de verschillende stelsels lineaire vergelijkingen, waarbij naar de tabellen 2 t/m 6 wordt verwezen voor de te gebruiken procedures of routines. In tabel 7 wordt de programmatuur voor het inverteren van een matrix gegeven en in tabel 8 die voor het berekenen van de pseudo-inverse. De pseudo-inverse A^+ van een matrix A wordt gedefinieerd door:

$$\begin{aligned} AA^+A &= A, & A^+AA^+ &= A^+, \\ (A^+A)^T &= A^+A, & (AA^+)^T &= AA^+. \end{aligned}$$

A^+ is hierdoor éénduidig gedefinieerd voor elke A . Voor de berekening van A^+ zij verwezen naar sectie 1.2.

TABEL 1

Ruwe indeling van stelsels lineaire vergelijkingen.

Eigenschappen van de matrix	Verwijzing naar tabel
reëel, vol $n = m$, rang = n	2
reëel, vol $n > m$, rang = m kleinste-kwadraten- oplossing	3
reëel, rang $\leq \min(n, m)$	4
reëel, ijl $n = m$, rang = n	5
complex	6

In de verschillende tabellen worden routines, die uitsluitend geschikt zijn voor het oplossen van een lineair stelsel met één rechterlid, aangegeven door een asterisk (*) voor de naam. Bij de routines uit ACCULIB duidt (A) en (F) op de programmeertaal ALGOL 60 resp. FORTRAN. Evenzo duidt

bijvoorbeeld F04AAA/F in de NAG programmatheek op de routines F04AAA in ALGOL 60 en F04AAF in FORTRAN. IMSL bevat alleen FORTRAN subroutines, terwijl de NUMAL uitsluitend ALGOL 60 procedures bevat.

TABEL 2

Programmatuur voor het oplossen van lineaire stelsels met een reële, volle, niet-singuliere vierkante matrix.

geen nadere
specificatie

Alleen oplossen

ACCULIB : *DETSOL (A)
 DET + SOL (A)
 *CROSOL (F)
 CRODEC + SOLDEC (F)
IMSL : LEQT1F
NAG : F04AAA/F
 *F04ARA/F
NUMAL : *decsol
 dec + sol
 *gsssol
 gsselm + solelm

Oplossen met iteratief verbeteren

IMSL : LEQT2F
NAG : F02AEA/F
 *F04ATA/F
NUMAL : *gssitisol
 gsselm + itisol

Oplossen met berekening bovengrens fout

NUMAL : *gsssolerb
 gsserb + solelm
 *gssitisolerb
 gssnri + itisolerb

symmetrische
positief
definiëte
matrix

Alleen oplossen

ACCULIB : SYMDEC + SYMSOLE (A)
 *DETSOLSYM2 (A)
 DETSYM2 + SOLSYM2 (A)
 *DSOLSY (F)
 CHODEC + SOLSYM (F)
IMSL : LEQT1P
NAG : F01BFA/F + F04AQA/F
NUMAL : *chldecsol1
 chldec1 + chlsol1
 *chdecsol2
 chldec2 + chlsol2

Oplossen met iteratief verbeteren

IMSL : LEQT2P
NAG : F04ABA/F
 *F04ASA/F

symmetrische
niet-positief
definiëte
matrix

Alleen oplossen

IMSL : LEQ1S ¹⁾
NUMAL : *symdecsol1 ¹⁾
 symdec1 + symsol1 ¹⁾
 *symdecsol2 ¹⁾
 symdec2 + symsol2 ¹⁾

Oplossen met iteratief verbeteren

IMSL : LEQ2S

¹⁾ De methode, die gebruikt is in de IMSL programmatheek is stabiel voor indefiniëte matrices. Dit geldt niet voor de methode die is gebruikt in de NUMAL.

TABEL 3

Programmatuur voor het oplossen van lineaire overbepaalde stelsels
met reële matrix van volle rang; kleinste-kwadratenoplossing.

Alleen oplossen

ACCULIB : *LEASTSQ (A)
 DECOMPOSE + SOLVLQ (A)
 DCMPOS + SOLVLQ (F)
NAG : F01AXA/F + F04ANA/F
NUMAL : *lsqortdecsol
 lsqortdec + lsqsol

Oplossen met iteratief verbeteren

NAG : F04AMA/F

TABEL 4

Programmatuur voor het oplossen van lineaire stelsels met
reële matrix van orde $n \times m$; niet noodzakelijk van volle rang.

Oplossen overbepaalde stelsels ($n > m$)

IMSL : LLSQAR
NUMAL : *solovr
 grisngvaldec + solsvdovr

Oplossen onderbepaalde stelsels ($n < m$)

NUMAL : *solund
 grisngvaldec + solsvdund

Oplossen homogene vergelijking

(rechterlid is nulvektor)

NUMAL : homsol

TABEL 5

Programmatuur voor het oplossen van stelsels lineaire
vergelijkingen met vierkante reële, ijle, niet-singuliere matrix.

Direkte methoden

geen nadere
specificatie

NAG : F03AJA/F of F03AKA/F + F04APA/F

bandmatrix

Alleen oplossen

IMSL : LEQT1B

NUMAL : *decsolbnd

dec bnd + sol bnd

Oplossen met iteratief verbeteren

IMSL : LEQT2B

symmetrische
bandmatrix
(pos. definit)

Alleen oplossen

IMSL : LEQ1PB

NAG : F04ACA/F

NUMAL : *chldecsolbnd

chldec bnd + chl sol bnd

Oplossen met iteratief verbeteren

IMSL : LEQ2PB

tridiagonaal-
matrix

Alleen oplossen

NUMAL : *decsoltri

dectri + soltri

*decsoltripiv

dectripiv + soltripiv

Alleen oplossen

NUMAL : *decsolsymtri

decsymtri + sols symtri

symmetrische
pos. definitie
tridiagonaal-
matrix

Iteratieve methoden

ACCULIB : CG(A)
 NUMAL : conj grad
 conj resi

TABEL 6

Programmatuur voor het oplossen van stelsels lineaire
 vergelijkingen met vierkante, niet-singuliere, complexe matrix.

Alleen oplossen

IMSL : LEQT1C
 NAG : F04ADA/F

Oplossen met iteratief verbeteren

IMSL : LEQT2C

TABEL 7

Programmatuur voor inversie van een reële, niet-singuliere matrix.

geen nadere
 specificatie

Alleen inversie

ACCULIB : DETINV (A)
 CRODEC + INVDEC (F)
 IMSL : LINV1F
 LINV3F
 NAG : F01AA/F
 NUMAL : decinv
 gssinv

Inversie met iteratief verbeteren

IMSL : LINV2F

Inversie met bovengrens fout

NUMAL : gssinverb

symmetrische positief definiete matrix	{	<u>Alleen inversie</u>	
		ACCULIB	: DETINVSYM2 (A)
			CHODEC + INVSYM (F)
		IMSL	: LINV1P
		NAG	: F01ADA/F
		NUMAL	: chldecinv1
			chldecinv2
		<u>Inversie met iteratief verbeteren</u>	
		IMSL	: LINV2P
		NAG	: F01ABA/F
symmetrische niet-noodzake- lijk positief definiete matrix	{	<u>Alleen inversie</u>	
		NUMAL	: symdecinv1 ¹⁾
			symdecinv2 ¹⁾
symmetrische pos. definiete bandmatrix	{	<u>Alleen inversie</u>	
		IMSL	: LIN1PB
		<u>Inversie met iteratief verbeteren</u>	
		IMSL	: LIN2PB

¹⁾ De methode, die gebruikt is in de IMSL programmatheek is stabiel voor indefiniete matrices. Dit geldt niet voor de methode die is gebruikt in de NUMAL.

TABEL 8

Programmatuur voor de berekening van de pseudo-inverse van een matrix.

IMSL	:	LPSDOR
NUMAL	:	psdinv

N.B. Meestal zal berekening van de pseudo-inverse niet nodig zijn en is een singuliere waarden dekompositie voldoende, evenals inversie van een matrix meestal niet nodig is maar de ontbinding voldoende.

Opmerkingen

1. Als ergens in de tabellen twee routines tezamen worden gegeven, bijv. in tabel 2: dec + sol, dan wordt daarmee aangeduid dat voor de oplossing van het probleem eerst de eerste routine (dec) moet worden aangeroepen, gevolgd door één of meer aanroepen van de tweede routine (sol).
2. Bij verschillende routines in de IMSL programmatheek bestaat de mogelijkheid een test op de precisie uit te voeren door een zekere integer waarde aan de parameter IDGT mee te geven. Als aan de test is voldaan dan betekent dit dat de gevonden oplossing de exacte oplossing is van een lineair stelsel met een matrix die in IDGT decimalen overeenstemt met de gegeven matrix. Het gebruik van deze parameter kan tot verwarring leiden omdat het niets zegt omtrent het aantal korrekte decimalen in de berekende oplossing. Dit blijkt duidelijk uit het volgende voorbeeld.

We losten een lineair stelsel op met de routines LEQT1F en LEQT2F. De konditie van de matrix was 10^8 . We deden dit voor IDGT = 0,2,4,6,8,10,12, 14. Het bleek dat LEQT1F een oplossing berekende met een relatieve fout van 2_{10}^{-7} , terwijl alleen voor IDGT = 14 een waarschuwing werd gegeven over de precisie.

De situatie bij gebruik van LEQT2F waarvan wordt gezegd dat de oplossing in hoge precisie wordt berekend is nog verwarder. We geven de resultaten in tabel 9.

Voor IDGT = 14 wordt gemeld dat slechts 6 decimalen niet veranderden na iteratief verbeteren, wat de indruk geeft als zou de gevonden oplossing slechts in 6 decimalen korrekt zijn.

Het blijkt dus dat de gebruiker, indien hij niet weet dat de konditie van de matrix ongeveer 1 is, beter IDGT = 0 kan invoeren als hij LEQT2F gebruikt en een zo hoog mogelijke precisie in de oplossing wil verkrijgen. In dat geval wordt namelijk geen precisie test uitgevoerd en altijd iteratief verbeterd. Dezelfde opmerkingen gelden ook voor de andere routines die deze parameter hebben.

TABEL 9

Gebruik van LEQT2F voor oplossing van een slecht gekonditioneerd stelsel voor verschillende waarden van IDGT.

IDGT	fout in berekende oplossing	waarschuwing gegeven
0	$4 \cdot 10^{-15}$	nee
2	$2 \cdot 10^{-17}$	nee
4	$2 \cdot 10^{-7}$	nee
6	$2 \cdot 10^{-7}$	nee
8	$2 \cdot 10^{-7}$	nee
10	$2 \cdot 10^{-7}$	nee
12	$2 \cdot 10^{-7}$	nee
14	$4 \cdot 10^{-15}$	ja

1.1.3. Gebruik van de programmatuur aan de hand van een probleem uit de molecuul-fysika.

Het fysisch probleem waar het hier om gaat wordt uitgebreid beschreven door HUBERS & LOS [1975]. Wij zullen kort op de achtergronden ingaan.

Bij reactieve botsingen tussen zekere atomen en moleculen bij variabele temperatuur wordt de doorsnede voor de produktie van een specifiek ion bij gegeven temperatuur T gegeven door

$$(1.1.3.1) \quad Q(E_{\text{rel}}, \beta) = \int_0^{\infty} f(E_i, \beta) \sigma(E_{\text{rel}}, E_i) dE_i,$$

met E_{rel} : relatieve kinetische energie;

$\beta = 1/kT$, k is de Boltzmann-konstante;

E_i : totale trillingsenergie van het molecuul;

$f(E_i, \beta)$: de fraktie moleculen die trillingsenergie E_i hebben bij temperatuur T;

$\sigma(E_{\text{rel}}, E_i)$: de specifieke doorsnede.

Het doel is $\sigma(E_i) = \sigma(E_{\text{rel}}, E_i)$ te bepalen bij gegeven relatieve kinetische energie. Zij nu $\rho(E_i)$ de dichtheid van de moleculaire trillings-toestanden bij energie E_i dan geldt voor de z.g. verdelings-functie

$$Z(\beta) = \int_0^{\infty} \rho(E_i) \exp(-E_i \beta) dE_i;$$

$$(1.1.3.2) \quad Z(\beta) = 1 / \prod_{j=1}^n 2 \sinh(\beta h \nu_j / 2),$$

waarbij n het aantal trillingstoestanden is, ν_j ($j=1, \dots, n$) de verschillende frequenties en h een schalingskonstante. Met gebruik van de Maxwell-Boltzmann distributie en de experimenteel bepaalde relatie

$$(1.1.3.3) \quad Q(E_{\text{rel}}, \beta) = C \exp(A/\beta),$$

voor zekere konstanten C en A , krijgen we na enig omwerken

$$(1.1.3.4) \quad Z(\beta) Q(\beta) = E(\rho(E_i') \sigma_1(E_i')),$$

waarbij E_i' en σ_1 door eenvoudige transformaties uit E_i en σ worden verkregen en $E(f(x))$ de Laplace getransformeerde van $f(x)$ aanduidt. Dus uit (1.1.3.2), (1.1.3.3) en (1.1.3.4) krijgen we

$$(1.1.3.5) \quad E(\rho(E_i') \sigma_1(E_i')) = C \exp(A/\beta) \frac{1}{2^n} \prod_{j=1}^n [\sinh(\beta h \nu_j / 2)]^{-1}.$$

Van het rechterlid is niet analytisch de Laplace-inverse te berekenen. Daarom willen we op het interval $[\lambda_0, \lambda_1]$ de functie

$$\frac{1}{2^n \lambda} \prod_{j=1}^n \frac{1}{\sinh(h \nu_j / 2 \lambda)}$$

benaderen door een polynoom in λ van graad N

$$P_N(\lambda) = x_0 + x_1 \lambda + \dots + x_N \lambda^N.$$

Dan geldt namelijk onder zekere voorwaarden

$$\rho(E'_1)\sigma_1(E'_1) \approx C \sum_{\mu=0}^n \left(\frac{E'_1}{A}\right)^{\mu/2} x_\mu I_\mu(2\sqrt{AE'_1}),$$

met I_μ de μ -de orde gemodificeerde Besselfunctie en $\lambda = 1/\beta$; zodat bij gegeven ρ dan σ_1 en dus σ kan worden berekend.

Na transformatie, diskretisatie en gebruik van de euclidische norm komen we op het volgende probleem.

Bepaal een polynoom $P_N(t) = x_0 + x_1 t + \dots + x_N t^N$ van graad N op het interval $[0,1]$, zodanig dat

$$(1.1.3.6) \quad \phi_n(x_0, \dots, x_N) = \sum_{i=0}^m (f(t_i) - P_N(t_i))^2$$

minimaal is, waarbij $m + 1$ het aantal diskretisatiepunten is,

$$t_i = i/m, \quad i = 0, \dots, m,$$

$$f(t) = \frac{1}{2^{n\lambda(t)}} \prod_{j=1}^n 1/(\sinh(hv_j/2\lambda(t)));$$

$$\begin{aligned} \lambda(t) &= 200k(4t+1); & n &= 15; \\ k &= 8.617065_{10}^{-5}; \\ hv_1 &= 0.09590; \\ hv_i &= 0.07956, & i &= 2, 3; \\ hv_i &= 0.1164, & i &= 4, 5, 6; \\ hv_i &= 0.0761, & i &= 7, 8, 9; \\ hv_i &= 0.0651, & i &= 10, 11, 12; \\ hv_i &= 0.0430, & i &= 13, 14, 15. \end{aligned}$$

Wij kiezen $m = 32$.

Wij bepalen de beste graad N als volgt. Onder de aanname van enige statistische veronderstellingen, geldt dat de variantie

$$\sigma_k^2 = \phi_k(x_0, \dots, x_k) / (m-k-1)$$

onafhankelijk is van k , voor $k \geq N$.

In de praktijk betekent dit dat we σ_k^2 berekenen voor $k = 1, 2, \dots$, $k < m - 1$. Zolang σ_{k+1}^2 voldoende kleiner is dan σ_k^2 , is $P_{k+1}(t)$ een betere benadering van $f(t)$ en kennelijk is σ^2 nog afhankelijk van k . Als σ_k^2 niet meer voldoende daalt voor $k > k_1$, dan kiezen we $N = k_1$. (Zie ook FORSYTHE [1957] en de daarin genoemde referenties.) Opgemerkt moet worden dat dit niet een zeer efficiënte benadering is omdat m polynoom evaluaties nodig zijn voor de berekening van σ_k^2 , nog naast de oplossing van het optimaliseringsprobleem. Dit is echter niet bezwaarlijk, omdat ons doel niet is het gestelde probleem zo efficiënt mogelijk op te lossen, doch veeleer om de problemen te schetsen die men ervaart wanneer het met de voor de hand liggende methoden wordt opgelost.

Noteren we voor zekere $k \geq 1$

$$F = (f(t_0), f(t_1), \dots, f(t_m))^T$$

en

$$x = (x_0, \dots, x_k)^T,$$

dan krijgen we voor (1.1.3.6)

$$(1.1.3.7) \quad \phi(x) = (Vx - F)^T (Vx - F),$$

waarbij V de zg. Vandermonde matrix is:

$$V = \begin{pmatrix} 1 & t_0 & \dots & t_0^k \\ \cdot & \cdot & & \cdot \\ \cdot & \cdot & & \cdot \\ \cdot & \cdot & & \cdot \\ 1 & t_m & & t_m^k \end{pmatrix}.$$

Het is eenvoudig te bewijzen dat het minimum van $\phi(x)$ éénduidig is bepaald door

$$\frac{d}{dx} \phi(x) = 0.$$

Dit leidt tot de oplossing van het lineaire stelsel met symmetrische positief definitie matrix:

$$(1.1.3.8) \quad V^T V x = V^T F$$

Een dergelijke vergelijking staat ook bekend als de normaal-vergelijking behorend bij het overbepaalde lineaire stelsel $Vx = F$.

Direkte toepassing van de in paragraaf 1.1.2. gegeven tabellen voor de oplossing van de vergelijking (1.1.3.8) leidt tot routines die Cholesky's methode gebruiken (tabel 2). We hebben dit geprogrammeerd op een aantal verschillende manieren.

1. Met gebruik van de NUMAL:
 - a. door eenvoudig oplossen van (1.1.3.8) met `chldcsol2`, waarbij $V^T V$ en $V^T F$ in enkele precisie worden berekend;
 - b. door eenvoudig oplossen van (1.1.3.8) met `chldcsol2`, waarbij $V^T V$ en $V^T F$ in dubbele precisie worden berekend.
2. Met gebruik van de IMSL:

door oplossen van (1.1.3.8) met `LEQT2P`.
3. Met gebruik van de NAG(FORTRAN):

oplossen van (1.1.3.8) met `F04ASF`.

N.B. In de IMSL en NAG programmatheek worden de inwendige produkten altijd in dubbele precisie berekend, zodat een onderscheid zoals bij NUMAL niet mogelijk is. Deze programma's worden gegeven in de bijlage, evenals de resultaten.

De vraag die we ons kunnen stellen is: wat is de relatieve fout in de verkregen coëfficiënten? De relatieve fout in de oplossing van het vierkante lineaire stelsel van orde n :

$$Ax = b$$

is evenredig met:

$$(1.1.3.9) \quad \|\delta x\| / \|x\| \approx \kappa(A) g(n) \epsilon,$$

waarbij ϵ de machine-precisie is, $g(n)$ een functie die afhangt van de orde n en $\kappa(A)$ is het konditiegetal van de matrix A :

$$\kappa(A) = \|A\| \|A^{-1}\|.$$

Beschouwen we de matrix van het stelsel (1.1.3.8) voor grote m dan geldt voor het (i,j) -de element:

$$(V^T V)_{ij} = \sum_{\mu=0}^m t_{\mu}^i t_{\mu}^j \approx m \int_0^1 t^i t^j dt = m/(i+j+1).$$

Dus $V^T V$ lijkt, afgezien van een konstante faktor m , op het $(k+1)$ -ste segment van de Hilbertmatrix. Het konditiegetal hiervan loopt snel op bij toenemende orde. (Voor orde 10 is het konditiegetal ongeveer 10^{+12}).

Bij de gegeven machine-precisie van 10^{-14} kunnen we dus op grond van (1.1.3.9) wel konkluderen dat bij de orde 12 of 13 mogelijk geen enkel cijfer in de resultaten meer zinvol is. Hoe ernstig dit in de praktijk is blijkt ook uit de verschillen in resultaten van de programma's 1a en 1b. Hoewel de in dubbele precisie berekende matrix en rechterlid slechts ongeveer 10^{-12} verschillen, is de een singulier bij orde 12 en de ander bij orde 13, terwijl ook de varianties verschillen. In de beschikbare programmatheken bestaat niet de mogelijkheid een bovengrens voor de fout te berekenen bij Cholesky's methode. Dit kan wel als we gaus-eliminatie gebruiken en dus geen gebruik maken van de symmetrie, met behulp van de NUMAL. In de bijlage wordt een programma gegeven waarin de oplossing van (1.1.3.8) met gaus-eliminatie wordt berekend. Een a-priori bovengrens voor de fout wordt berekend (deze is meestal vrij pessimistisch); als deze grens kleiner is dan 10^{-3} (ongeveer de relatieve precisie van de data) dan wordt het stelsel gewoon opgelost, anders wordt de oplossing ook iteratief verbeterd en wordt een nieuwe, realistische bovengrens voor de fout berekend. Het blijkt dat, als de a-priori fout te groot wordt, ook iteratief verbeteren geen redelijke foutgrens meer geeft.

Een stabielere wijze om de oplossing van (1.1.3.8) te berekenen is met behulp van Householder orthogonalisatie. We ontbinden de matrix V :

$$V = QR,$$

waarbij Q een orthogonale $(m+1) \times (k+1)$ matrix is en R een $(k+1) \times (k+1)$ bovendreihoecksmatrix. Als V , en dus R , niet singulier is krijgen we

$$(1.1.3.10) \quad R\mathbf{x} = \mathbf{Q}^T \mathbf{F}.$$

Deze oplossingsmethode is equivalent met de berekening van de *kleinste-kwadratenoplossing* van het *overbepaalde lineaire stelsel*

$$(1.1.3.11) \quad V\mathbf{x} = \mathbf{F}.$$

Met behulp van tabel 3 komen we tot de volgende programma's:

1. met NUMAL: oplossing met lsqortdecsol;
2. met NAG: oplossing met F04AMF.

Programma's en resultaten worden gegeven in de bijlage. Het blijkt dat de coëfficiënten die we nu krijgen volkomen verschillen van die welke we verkregen met Cholesky's methode (in dubbele lengte berekende matrix). Ook breekt de berekening nu pas af bij graad 21 i.p.v. bij graad 13. De relatieve fout bij deze berekening voldoet ook aan (1.1.3.9), maar nu voor het stelsel (1.1.3.11). Dus het konditiegetal is $\kappa(V) = \sqrt{\kappa(V^T V)}$ als we de spectraalnorm gebruiken.

Een methode die eveneens een kleinste-kwadratenoplossing berekent van (1.1.3.11) kan worden verkregen met behulp van de singuliere waarden ontbinding (zie sectie 1.2). Dit is mathematisch equivalent met de berekening van

$$\mathbf{x} = V^+ \mathbf{F},$$

waarbij V^+ de pseudo-inverse is van V . Het voordeel van deze methode is dat hij ook stabiel is als de matrix in de gegeven rekenprecisie niet van volle rang is. Met gebruik van tabel 4 zien we dat de procedure solovr uit NUMAL en de routine LLSQAR uit IMSL hiervoor beschikbaar zijn. Programma's en resultaten zijn gegeven in de bijlage. Bij vergelijking van solovr met de met Householder orthogonalisatie uit de NUMAL verkregen resultaten blijkt dat slechts de grootste coëfficiënten in één à twee cijfers overeenstemmen.

De oorzaak van de problemen die we hier signaleren ligt in wezen bij de wijze waarop wij het te bepalen polynoom representeren. Wij schreven

$$P_N(t) = \sum_{\mu=0}^N x_{\mu} t^{\mu}.$$

Echter, de polynomen t^{μ} , $\mu = 0, 1, \dots, N$, vormen niet een voldoende onafhankelijke basis voor de ruimte van polynomen van graad N , voor wat grotere waarden van N . Dit is de oorzaak van de (numerieke) afhankelijkheid van de kolommen in de matrix V en dus van de slechte konditie van V . We kunnen $P_N(t)$ representeren met behulp van orthogonale polynomen:

$$P_N(t) = \sum_{\mu=0}^N x_{\mu} q_{\mu}(t),$$

waarbij $q_{\mu}(t)$, $\mu = 0, 1, \dots, N$, polynomen zijn van graad $\leq N$ welke voldoen aan

$$\sum_{i=0}^m q_{\mu}(t_i) q_{\nu}(t_i) = 0, \quad \mu \neq \nu, \\ \neq 0, \quad \mu = \nu.$$

De matrix van het stelsel lineaire vergelijkingen die we op deze wijze krijgen is een diagonaalmatrix en dus is dit stelsel eenvoudig en op stabiele wijze oplosbaar. Voor een nadere beschouwing over approximatie van functies met behulp van orthogonale polynomen zij verwezen naar FORSYTHE [1957].

Het probleem de coëfficiënten te bepalen van een polynoom $P_N(t)$ zodat ϕ_N (cf. (1.1.3.6)) optimaal is blijft echter een slecht gesteld probleem omdat bij hoge graad, het verschil tussen twee polynomen $P_N(t)$ en $P'_N(t)$ op een interval klein kan zijn, terwijl toch de coëfficiënten aanzienlijk verschillen. Oplossing van (1.1.3.5) op een andere wijze dan door middel van polynoom fitten moet dan ook zeker worden overwogen.

Literatuur

- FORSYTHE, G.E. [1957], *Generation and use of orthogonal polynomials for data-fitting with a digital computer*, J. SIAM. 5, 74-88.
- FORSYTHE, G.E. [1970], *Pitfalls in computation, or why a math. book isn't enough*, Stanford Univ. TR. CS 147.
- HUBERS, M.M. & J. LOS [1975], *Ion pair formation in alkali - SF_6 collisions: dependence on collisional and vibrational energy*, Chemical Phys.

10, 235-259.

WILKINSON, J.H. [1963], *Rounding errors in algebraic processes*, Notes on applied science no. 32, Prentice Hall.

Bijlagen

```

"BEGIN" "COMMENT" "PROGRAMMA VOOR POLYNOM FITTING MET NORMAALVERG.
EN CHOLESKY DECOMPOSITIE, VOORBEELDPROGRAMMA VOOR GEBRUIK IN HET
KADER VAN HET COLLOQUIUM NUMERIEKE PROGRAMMATUUR, 760113, JBUS;

"PROCEDURE" DUPVEC(L,U,S,A,B); "CODE" 31030;
"PROCEDURE" DUPHAT(LR,UR,LC,UC,A,B); "CODE" 31035;
"PROCEDURE" DUPCOLVEC(L,U,J,A,B); "CODE" 31034;
"REAL" "PROCEDURE" TAMMAT(L,U,I,J,A,B); "CODE" 34014;
"PROCEDURE" LNGTHAMMAT(L,U,I,J,A,B,C,CC,D,DD); "CODE" 34414;
"PROCEDURE" FULTAMVEC(LR,UR,LC,UC,A,B,C); "CODE" 31501;
"PROCEDURE" LNGTHFULTAMVEC(LR,UR,LC,UC,A,B,C); "CODE" 31506;
"PROCEDURE" CHLDECSOL2(A,N,AUX,B); "CODE" 34392;

"INTEGER" N, M, M1;
N:= 15; M:= 32; M1:= M + 1;
"BEGIN"
  "REAL" "PROCEDURE" F(T); "VALUE" T; "REAL" T;
  "BEGIN" "REAL" LABDA, PROD; "INTEGER" I;
  "REAL" "PROCEDURE" SINH(X); "CODE" 35111;
  LABDA:= (T * 4 + 1) * K * 200;
  PROD:= 1; "FOR" I:= 1 "STEP" 1 "UNTIL" N "DO"
  PROD:= PROD / SINH(HNU(I) / (LABDA * 2));
  F:= PROD / (LABDA * 2 ** N)
  "END" F;

  "REAL" "PROCEDURE" POL(NN, X, T); "VALUE" NN, T;
  "INTEGER" NN; "REAL" T; "ARRAY" X;
  "BEGIN" "INTEGER" I; "REAL" PROD;
  PROD:= X(NN + 1); "FOR" I:= NN "STEP" -1 "UNTIL" 1 "DO"
  PROD:= PROD * T + X(I); POL:= PROD
  "END" POL;

  "PROCEDURE" OUT(BG, BV, COEF); "INTEGER" BG; "REAL" BV;
  "ARRAY" COEF;
  "BEGIN" "INTEGER" I;
  OUTPUT(71, "("//,"(DE BESTE GRAAD IS )" 2ZDBB,
  "("//,"(NET VARIANTIE )" B.4D"+3DB,/"//)", BG, BV);
  OUTPUT(71, "("//,"(DE COEFFICIENTEN ZIJN )"//,/"//)",
  "FOR" I:= 0 "STEP" 1 "UNTIL" BG "DO"
  OUTPUT(71, "("2ZDBB,B+.14D"+3DB,/"//)", I, COEF[I+1,BG])
  "END" OUT;

  "INTEGER" NN, I, J, BESTEGRAAD1, BESTEGRAAD2;
  "BOOLEAN" SNG, SNGD;
  "REAL" K, NRM, BESTEVAR1, BESTEVAR2;
  "ARRAY" HNU[1:N], SIGMA1, SIGMA2[1:M-1], FF[1:M1], AUX[2:3],
  COEF1, COEF2[1:M-1], A[1:M1,1:M], ATA, ATAD[1:M,1:M],
  ATF, ATFD[1:M];

  K:= 8.617065**5; SNG:= SNGD:= "FALSE";
  OUTPUT(71, "("//,"(CHOLESKY DECOMPOSITIE)"//,/"//)",
  "FOR" I:= 1 "STEP" 1 "UNTIL" N "DO"
  INPUT(70, "("//,+.5D"+3D)", HNU(I));
  "FOR" I:= 0 "STEP" 1 "UNTIL" M "DO" FF[I + 1]:= F(I/M);
  "FOR" I:= 0 "STEP" 1 "UNTIL" M "DO"
  "FOR" J:= 0 "STEP" 1 "UNTIL" M - 1 "DO"
  A[I + 1, J + 1]:= "IF" J = 0 "THEN" 1 "ELSE" "IF" I = 0 "THEN"
  0 "ELSE" (I//) ** J;

```



```

NRM:= 0; "FOR" I:= 1 "STEP" 1 "UNTIL" M "DO"
"FOR" J:= 1 "STEP" 1 "UNTIL" I "DO"
"BEGIN" "REAL" D, DD, AAI, AADI;
    ATA(I, J):= ATA(J, I):= AAI:= TAMMAT(1, M1, I, J, A, A);
    LNGTAMMAT(1, M1, I, J, A, A, 0, 0, D, DD);
    ATAD(I, J):= ATAD(J, I):= AADI:= D + DD;
    NRM:= NRM + (AAI - AADI) ** 2 * 2
"END" BEREKENING VAN NORMAALMATRIX;
OUTPUT(71, "(/", "DISKREPANTIE TUSSEN NORMAALMATR. BEREKEND");
/, " (" MET DUBBELE LENGTE EN ENKELE LENGTE IS: ") "B,2D"+2D,/" );
SQRT(NRM));

FULTAMVEC(1, M1, 1, M, A, FF, ATFD);
LNGFULTAMVEC(1, M1, 1, M, A, FF, ATFD);
AUX(2):= "14; BESTEGRAAD1:= BESTEGRAAD2:= 1;
BESTEVAR1:= BESTEVAR2:= "100;
OUTPUT(71, "(/", "GRAAD VARIANTE1 VARIANTE2"), /");
"FOR" NN:= 1 "STEP" 1 "UNTIL" M - 1 "DO"
"BEGIN" "INTEGER" N1;
    "BOOLEAN" "PROCEDURE" CHOLESKY(MAT, N, AUX, B, SIG, COEF,
    BG, BV);
    "VALUE" N; "INTEGER" N, BG; "REAL" BV;
    "ARRAY" MAT, AUX, B, SIG, COEF;
    "BEGIN" "INTEGER" I; "REAL" DEL, SG; "BOOLEAN" OK;
    "ARRAY" MAT1(1:N, 1:N), BB(1:N);
    DUPMAT(1, N, 1, N, MAT1, MAT);
    DUPVEC(1, N, 0, BG, B);
    CHLDECSOL2(MAT1, N, AUX, BB);
    CHOLESKY:= OK:= AUX(3) = N; "IF" OK "THEN"
    "BEGIN" DUPCOLVEC(1, N, NN, COEF, BB); DEL:= 0;
    "FOR" I:= 0 "STEP" 1 "UNTIL" M "DO"
    DEL:= DEL + (POL(NN, BB, I/M) - FF(I + 1)) ** 2;
    SG:= SIG(NN):= DEL / (M - NN);
    OUTPUT(71, " ("B,4D"+3DB)", SG);
    "IF" SG < BV "AND" BV > "8 "THEN"
    "BEGIN" BG:= NN; BV:= SG "END"
    "END" "ELSE"
    OUTPUT(71, " ("6B, "("*)", 5B)");
    "END" CHOLESKY;
    N1:= NN + 1; OUTPUT(71, " ("BBZDBB)", NN);
    "IF" "SNG "THEN"
    SNG:= "CHOLESKY(ATA, N1, AUX, ATFD, SIGMA1, COEF1,
    BESTEGRAAD1, BESTEVAR1);
    "IF" "SNGD "THEN"
    SNGD:= "CHOLESKY(ATAD, N1, AUX, ATFD, SIGMA2, COEF2,
    BESTEGRAAD2, BESTEVAR2);
    OUTPUT(71, "(/");
    "IF" SNG "AND" SNGD "THEN" "GOTO" EXIT
"END" LOOP;
EXIT: OUTPUT(71, "(/", "DE RESULTATEN IN ENKELE LENGTE ZIJN");
//"); OUT(BESTEGRAAD1, BESTEVAR1, COEF1);
OUTPUT(71, "(/", "DE RESULTATEN IN DUBBELE LENGTE ZIJN");
//"); OUT(BESTEGRAAD2, BESTEVAR2, COEF1)
"END"
"END"
"EQP"

```

CHOLESKY DECOMPOSITIE

DISKREPANTIE TUSSEN NORMAALMATP. BEREKEND
MET DUBBELE LENGTE EN ENKELE LENGTE IS: .15"-12

GRAAD	VARIANTIE1	VARIANTIE2
1	.1899"+003	.1899"+003
2	.8737"+002	.8737"+002
3	.2875"+002	.2875"+002
4	.6672"+001	.6672"+001
5	.1072"+001	.1072"+001
6	.1163"+000	.1163"+000
7	.8234"+002	.8234"+002
8	.3642"+003	.3642"+003
9	.9475"+005	.9475"+005
10	.1565"+006	.1348"+006
11	.1395"+007	.1989"+007
12	.8382"+009	.2650"+007
13	*	*

DE RESULTATEN IN ENKELE LENGTE ZIJN

DE BESTE GRAAD IS 12 MET VARIANTIE .8382"+009

DE COEFFICIENTEN ZIJN

0	-.20325621710991"-004
1	+.10110341786336"-001
2	-.37777232008877"+000
3	+.53233122108854"+001
4	-.37871244083677"+002
5	+.15177989467513"+003
6	-.34709818731717"+003
7	+.58493646623176"+003
8	+.79297719686768"+002
9	-.86429265074692"+003
10	+.12160326922579"+004
11	-.80719541478130"+003
12	+.29741176470588"+003

DE RESULTATEN IN DUBBELE LENGTE ZIJN

DE BESTE GRAAD IS 11 MET VARIANTIE .1989"+007

DE COEFFICIENTEN ZIJN

0	+.64687239912617"-004
1	-.29891835665251"-001
2	+.10716378772455"+001
3	-.14329765518802"+002
4	+.95149868189160"+002
5	-.34676099837787"+003
6	+.68413237449675"+003
7	-.53114320944882"+003
8	-.55052137711083"+003
9	+.16897620680760"+004
10	-.15871423872212"+004
11	+.63776820512820"+003

```

"BEGIN" "COMMENT" PROGRAMMA VOOR POLYNOM FITTING MET NORMAALVERG.
EN BEREKENING VAN DE FOUT, VOORBEELDPROGRAMMA VOOR GEBRUIK IN HET
KADER VAN HET COLLOQUIUM NUMERIEKE PROGRAMMATUUR, 760113, JBUS;

"PROCEDURE" DUPVEC(L,U,S,A,B); "CODE" 31030;
"PROCEDURE" DUPMAT(LR,UR,LC,UC,A,B); "CODE" 31035;
"PROCEDURE" DUPCOLVEC(L,U,J,A,B); "CODE" 31034;
"REAL" "PROCEDURE" TAMMAT(L,U,I,J,A,B); "CODE" 34014;
"PROCEDURE" FULTAHVEC(LR,UR,LC,UC,A,B,C); "CODE" 31501;
"PROCEDURE" GSSERB(A,N,AUX,RI,CI); "CODE" 34242;
"PROCEDURE" SOLELM(A, N, RI, CI, B); "CODE" 34061;
"PROCEDURE" ITISOLERB(A,LU,N,AUX,RI,CI,B); "CODE" 34253;

"INTEGER" N, M, M1;
N:= 15; M:= 32; M1:= M + 1;
"BEGIN"
  "REAL" "PROCEDURE" F(T); "VALUE" T; "REAL" T;
  "BEGIN" "REAL" LABDA, PROD; "INTEGER" I;
    "REAL" "PROCEDURE" SINH(X); "CODE" 35111;
    LABDA:= (T * 4 + 1) * K * 200;
    PROD:= 1; "FOR" I:= 1 "STEP" 1 "UNTIL" N "DO"
      PROD:= PROD / SINH(HNU[I]) / (LABDA * 2);
    F:= PROD / (LABDA * 2 ** N)
  "END" F;

  "REAL" "PROCEDURE" POL(NN, X, T); "VALUE" NN, T;
  "INTEGER" NN; "REAL" T; "ARRAY" X;
  "BEGIN" "INTEGER" I; "REAL" PROD;
    PROD:= X[NN + 1]; "FOR" I:= NN "STEP" -1 "UNTIL" 1 "DO"
      PROD:= PROD * T + X[I]; POL:= PROD
  "END" POL;

  "INTEGER" NN, I, J, BESTEGRAAD;
  "REAL" K, BESTEVAR;
  "ARRAY" HNU[1:N], SIGMA[1:M-1], FF[1:M1], AUX[0:13],
  COEF[1:M,1:M-1], A[1:M1,1:M], ATA[1:M,1:M], ATF[1:M];

  K:= 8.617065**5;
  OUTPUT(71, "(/,("GAUSSEELIMINATIE MET FOUTBEREKENING"),/,)");
  "FOR" I:= 1 "STEP" 1 "UNTIL" N "DO"
    INPUT(70, "(/,+.50+30)", HNU[I]);
  "FOR" I:= 0 "STEP" 1 "UNTIL" M "DO" FF[I + 1]:= F(I/M);
  "FOR" I:= 0 "STEP" 1 "UNTIL" M "DO"
    "FOR" J:= 0 "STEP" 1 "UNTIL" M - 1 "DO"
      A[I + 1, J + 1]:= "IF" J = 0 "THEN" 1 "ELSE" "IF" I = 0 "THEN"
      0 "ELSE" (I/M) ** J;
  "FOR" I:= 1 "STEP" 1 "UNTIL" M "DO"
    "FOR" J:= 1 "STEP" 1 "UNTIL" I "DO"
      ATA[I, J]:= ATA[J, I]:= TAMMAT(1, M1, I, J, A, A);

```

```

FULTAMVEC(1, M1, 1, M, A, FF, ATF);
AUX[0]:=AUX[2]:= "-14; AUX[4]:= 8; AUX[6]:= "-13; AUX[8]:= "-4;
AUX[10]:= "-4; AUX[12]:= 10; BESTEGRAAD:= 1; BESTEVAR:= "100;
OUTPUT(71, "("//, "("GRAAD VARIANTIE FOUT")", //")");
"FOR" NN:= 1 "STEP" 1 "UNTIL" M = 1 "DO"
"BEGIN" "INTEGER" I, N1;
"ARRAY" MAT[1:NN+1, 1:NN+1], BB[1:NN+1];
"INTEGER" "ARRAY" RI, CI[1:NN+1];
N1:= NN + 1; OUTPUT(71, "("2BZD2B")", NN);
DUPMAT(1, N1, 1, N1, MAT, ATA);
DUPVEC(1, N1, 0, BB, ATF);
GSSERB(MAT, N1, AUX, RI, CI);
"IF" AUX[3] = N1 "THEN"
"BEGIN" "INTEGER" I; "REAL" DEL; "BOOLEAN" BOOL;
      BOOL:= "FALSE"; "IF" ABS(AUX[11]) < "=3 "THEN"
      SOLELM(MAT, N1, RI, CI, BB) "ELSE"
      "BEGIN" ITISOLERB(ATA, MAT, N1, AUX, RI, CI, BB);
      BOOL:= "TRUE"
      "END";
      DUPCOLVEC(1, N1, NN, COEF, BB); DEL:= 0;
      "FOR" I:= 0 "STEP" 1 "UNTIL" M "DO"
      DEL:= DEL + (POL(NN, BB, I/M) - FF[I + 1]) ** 2;
      SIGMA(NN):= DEL / (M - NN);
      OUTPUT(71, "("2(B=.4D"+3DB)"", SIGMA(NN), AUX[11]);
      "IF" SIGMA(NN) < BESTEVAR "AND" BESTEVAR > "=8 "THEN"
      "BEGIN" BESTEGRAAD:= NN; BESTEVAR:= SIGMA(NN) "END";
      "IF" ABS(AUX[11])>=3 "THEN" OUTPUT(71, "("("FOUT")"");
      "ELSE" "IF" BOOL "THEN" OUTPUT(71, "("("VERBETERD")"");
      ); OUTPUT(71, "("//")");
      "END" "ELSE"
      "BEGIN" OUTPUT(71, "("("SINGULAR")", //")");
      "GOTO" EXIT
      "END"
      "END" LOOP;
EXIT: OUTPUT(71, "("//, "("DE BESTE GRAAD IS ")", 2ZDBB,
      "("MET VARIANTIE ")", B.4D"+3DB, //")", BESTEGRAAD, BESTEVAR);
OUTPUT(71, "("("DE COEFFICIENTEN ZIJN ")", //")");
"FOR" I:= 0 "STEP" 1 "UNTIL" BESTEGRAAD "DO"
OUTPUT(71, "("2ZDB, B+.14D"+3DB, //")", I, COEF[I+1, BESTEGRAAD])
"END"
"END"
      "EOP"

```

GAUSSELIMINATIE MET FOUTBEREKENING

GRAAD VARIANTIE FOUT

1	.1899"+003	.8159"+011	
2	.8737"+002	.4071"+009	
3	.2875"+002	.2447"+007	
4	.6672"+001	.1196"+005	
5	.1072"+001	.5146"+004	
6	.1163"+000	-.1000"+001	FOUT
7	.8234"+002	-.1000"+001	FOUT
8	.3642"+003	-.1000"+001	FOUT
9	.9475"+005	-.1000"+001	FOUT
10	.1334"+006	-.1000"+001	FOUT
11	SINGULAR		

DE BESTE GRAAD IS 10 MET VARIANTIE .1334"+006

DE COEFFICIENTEN ZIJN

0	+.18993822446328"+003
1	-.10815949482808"+000
2	+.42327139662884"+001
3	-.62622320156673"+002
4	+.47430079726619"+003
5	-.20921499171709"+004
6	+.57153288658972"+004
7	-.98766178139398"+004
8	+.10629019744653"+005
9	-.66298688492283"+004
10	+.19164412234273"+004

```

"BEGIN" "COMMENT" PROGRAMMA VOOR POLYNOM FITTING MET
HOUSEHOLDER ORTHOGONALISATIE VOORBEELDPROGRAMMA IN HET
KADER VAN HET COLLOQUIUM NUMERIEKE PROGRAMMATUUR,
760116, JBUS;

"PROCEDURE" DUPVEC(L,U,S,A,B); "CODE" 31030;
"PROCEDURE" DUPNAT(LR,UR,LC,UC,A,B); "CODE" 31035;
"PROCEDURE" DUPCOLVEC(L,U,I,A,B); "CODE" 31034;
"PROCEDURE" LSOORTDECSOL(A,H,H,AUX,DIAG,B); "CODE" 34135;

"INTEGER" N, M, M1;
N:= 15; M:= 32; M1:= M + 1;
"BEGIN"
  "REAL" "PROCEDURE" F(T); "VALUE" T; "REAL" T;
  "BEGIN" "REAL" LABDA, PROD; "INTEGER" I;
  "REAL" "PROCEDURE" SINH(X); "CODE" 35111;
  LABDA:= (T * 4 + 1) * K * 200;
  PROD:= 1; "FOR" I:= 1 "STEP" 1 "UNTIL" N "DO"
  PROD:= PROD / SINH(HNU[I] / (LABDA * 2));
  F:= PROD / (LABDA * 2 ** N)
  "END" F;

  "REAL" "PROCEDURE" POL(NN, X, T); "VALUE" NN, T;
  "INTEGER" NN; "REAL" T; "ARRAY" X;
  "BEGIN" "INTEGER" I; "REAL" PROD;
  PROD:= X[NN + 1]; "FOR" I:= NN "STEP" -1 "UNTIL" 1 "DO"
  PROD:= PROD * T + X[I]; POL:= PROD
  "END" POL;

  "INTEGER" NN, I, J, BESTEGRAAD; "REAL" K, DEL, BESTEVAR;
  "ARRAY" HNU[1:N], SIGMA[1:M-1], FF[1:M1], AUX[2:5],
  COEF[1:M-1,1:M-1], A[1:M1,1:M];

  K:= 8.617065**5;
  OUTPUT(71, "(/,("HOUSEHOLDER ORTHOGONALISATIE"),/");
  "FOR" I:= 1 "STEP" 1 "UNTIL" N "DO"
  INPUT(70, "(/,+5D+3D)", HNU[I]);
  "FOR" I:= 0 "STEP" 1 "UNTIL" M "DO" FF[I + 1]:= F(I/M);
  "FOR" I:= 0 "STEP" 1 "UNTIL" M "DO"
  "FOR" J:= 0 "STEP" 1 "UNTIL" M - 1 "DO"
  A[I + 1, J + 1]:= "IF" J = 0 "THEN" 1 "ELSE" "IF" I = 0 "THEN"
  0 "ELSE" (I/M) ** J;
  AUX[2]:= "-14; BESTEGRAAD:= 1; BESTEVAR:= "100;
  OUTPUT(71, "(/,("GRAAD VARIANTIE "),/");

```

```

"FOR" NN:= 1 "STEP" 1 "UNTIL" M = 1 "DO"
"BEGIN" "INTEGER" N1; "REAL" SIG;
"ARRAY" MAT[1:M1,1:NN + 1], B[1:M1], DIAG[1:NN+1];
N1:= NN + 1; OUTPUT(71, "(BZDBB)", NN);
DUPMAT(1, M1, 1, N1, MAT, A);
DUPVEC(1, M1, 0, B, FF);
LSQORTDECSOL(MAT, M1, N1, AUX, DIAG, B);
"IF" AUX[3] = N1 "THEN"
"BEGIN" DUPCOLVEC(1, N1, NN, COEF, B); DEL:= 0;
"FOR" I:= 0 "STEP" 1 "UNTIL" M "DO"
DEL:= DEL + (POL(NN, B, I/M) - FF[I + 1]) ** 2;
SIG:= SIGMA(NN):= DEL / (M - NN);
OUTPUT(71, "(B,4D"+3DB,/" )", SIG);
"IF" SIG < BESTEVAR "AND" ~(BESTEVAR < "-8") "THEN"
"BEGIN" BESTEGRAAD:= NN; BESTEVAR:= SIG "END"
"END" "ELSE"
"BEGIN" OUTPUT(71, "("(" SINGULAR ")",/" )");
"GOTO" EXIT
"END"
"END" LOOP;
EXIT: OUTPUT(71, "("//, "("DE BESTE GRAAD IS ")", 2ZDBB,
"("MET VARIANTIE ")", B,4D"+3DB,/" )", BESTEGRAAD, BESTEVAR);
OUTPUT(71, "("("DE COEFFICIENTEN ZIJN ")",/" )");
"FOR" I:= 0 "STEP" 1 "UNTIL" BESTEGRAAD "DO"
OUTPUT(71, "("2ZDB,B+,14D"+3DB,/" )", I, COEF[I+1,BESTEGRAAD])
"END"
"END"
"EQP"

```

HOUSEHOLDER ORTHOGONALISATIE

GRAAD VARIANTIE

1	.1899"+003
2	.8737"+002
3	.2875"+002
4	.6672"+001
5	.1072"+001
6	.1163"+000
7	.8234"-002
8	.3642"-003
9	.9475"-005
10	.1331"-006
11	.8848"-009
12	.2195"-011
13	.1147"-014
14	.3760"-022
15	.2106"-022
16	.5524"-023
17	.1150"-023
18	.2109"-024
19	.2143"-024
20	.1540"-024
21	SINGULAR

DE BESTE GRAAD IS 11 MET VARIANTIE .8848"-009

DE COEFFICIENTEN ZIJN

0	-.10155109781812"-004
1	+.10936783418512"-001
2	-.51852659376703"+000
3	+.92733459962192"+001
4	-.85687861503618"+002
5	+.46830052193930"+003
6	-.16222954168652"+004
7	+.36837434798592"+004
8	-.55200421343648"+004
9	+.53403948773815"+004
10	-.31067080678311"+004
11	+.91148550670628"+003


```

"BEGIN" "COMMENT" PROGRAMMA VOOR POLYNOM FITTING MET
SINGULIERE WAARDEN DEKOMPOSITIE, VOORBEELDPROGRAMMA IN HET
KADER VAN HET COLLOQUIUM NUMERIEKE PROGRAMMATUUR,
760116, JBUS;

"PROCEDURE" DUPVEC(L,U,S,A,B); "CODE" 31030;
"PROCEDURE" DUPMAT(LR,UR,LC,UC,A,B); "CODE" 31035;
"PROCEDURE" DUPCOLVEC(L,U,I,A,B); "CODE" 31034;
"INTEGER" "PROCEDURE" SOLOVR(A,M,N,X,E); "CODE" 34281;

"INTEGER" N, M, M1;
N:= 15; M:= 32; M1:= M + 1;
"BEGIN"
  "REAL" "PROCEDURE" F(T); "VALUE" T; "REAL" T;
  "BEGIN" "REAL" LABDA, PROD; "INTEGER" I;
    "REAL" "PROCEDURE" SINH(X); "CODE" 35111;
    LABDA:= (T * 4 + 1) * K * 200;
    PROD:= 1; "FOR" I:= 1 "STEP" 1 "UNTIL" N "DO"
      PROD:= PROD / SINH(HNU[I]) / (LABDA * 2);
    F:= PROD / (LABDA * 2 ** N)
  "END" F;

  "REAL" "PROCEDURE" POL(NN, X, T); "VALUE" NN, T;
  "INTEGER" NN; "REAL" T; "ARRAY" X;
  "BEGIN" "INTEGER" I; "REAL" PROD;
    PROD:= X[NN + 1]; "FOR" I:= NN "STEP" -1 "UNTIL" 1 "DO"
      PROD:= PROD * T + X[I]; POL:= PROD
  "END" POL;

  "INTEGER" NN, I, J, BESTEGRAAD; "REAL" K, DEL, BESTEVAR;
  "ARRAY" HNU[1:M], SIGMA[1:M-1], FF[1:M1], AUX[0:7];
  COEF[1:M,1:M-1], A[1:M1,1:M];

  K:= 8.617065E-5;
  OUTPUT(71, "(/,("SINGULIERE WAARDEN ONTBINDING"),/");
  "FOR" I:= 1 "STEP" 1 "UNTIL" N "DO"
    INPUT(70, "(/,+.5D+3D)", HNU[I]);
  "FOR" I:= 0 "STEP" 1 "UNTIL" M "DO" FF[I + 1]:= F(I/M);
  "FOR" I:= 0 "STEP" 1 "UNTIL" M "DO"
  "FOR" J:= 0 "STEP" 1 "UNTIL" M - 1 "DO"
    A[I + 1, J + 1]:= "IF" J = 0 "THEN" 1 "ELSE" "IF" I = 0 "THEN"
    0 "ELSE" (I/M) ** J;
  BESTEGRAAD:= 1; BESTEVAR:= "100;
  AUX[0]:= "-14; AUX[2]:= "-12; AUX[4]:= 10 * M; AUX[6]:= "-10;
  OUTPUT(71, "(/,("GRAAD VARIANTIE "),/");

```

```

"FOR" NN:= 1 "STEP" 1 "UNTIL" M = 1 "DO"
"BEGIN" "INTEGER" N1; "REAL" SIG;
  "ARRAY" MAT[1:M1,1:NN + 1], B[1:M1];
  N1:= NN + 1; OUTPUT(71, "(BBZDBB)", NN);
  DUPMAT(1, M1, 1, N1, MAT, A);
  DUPVEC(1, M1, 0, B, FF);
  "IF" SOLOVR(MAT, M1, N1, B, AUX) = 0 "THEN"
    "BEGIN" DUPCOLVEC(1, N1, NN, COEF, B); DEL:= 0;
    "FOR" I:= 0 "STEP" 1 "UNTIL" M "DO"
      DEL:= DEL + (POL(NN, B, I/M) - FF[I + 1]) ** 2;
      SIG:= SIGMA[NN]:= DEL / (M - NN);
      OUTPUT(71, "(B.4D"+3DB,/" )", SIG);
      "IF" SIG < BESTEVAR "AND" BESTEVAR > "-8" "THEN"
        "BEGIN" BESTEGRAAD:= NN; BESTEVAR:= SIG "END"
      "END" "ELSE"
        "BEGIN" OUTPUT(71, "(" (" FAILED ") ,/" )");
        "GOTO" EXIT
      "END"
    "END" LOOP;
  EXIT: OUTPUT(71, "(" ("DE BESTE GRAAD IS ") ,2ZDBB,
    "("MET VARIANTIE ")", B.4D"+3DB,/" )", BESTEGRAAD, BESTEVAR);
  OUTPUT(71, "(" ("DE COEFFICIENTEN ZIJN ") ,/" )");
  "FOR" I:= 0 "STEP" 1 "UNTIL" BESTEGRAAD "DO"
    OUTPUT(71, "(2ZDB,B+,14D"+3DB,/" )", I, COEF[I+1,BESTEGRAAD])
  "END"
"END"
"EQP"

```

SINGULIERE WAARDEN ONTBINDING

GRAAD VARIANTIE

1	.1899"+003
2	.8737"+002
3	.2875"+002
4	.6672"+001
5	.1072"+001
6	.1163"+000
7	.8234"+002
8	.3642"+003
9	.9475"+005
10	.1331"+006
11	.1810"+006
12	.1414"+008
13	.1876"+010
14	.1290"+013
15	.2818"+013
16	.5267"+013
17	.5294"+011
18	.3054"+009
19	.6746"+012
20	.2923"+010
21	.1356"+010
22	.3835"+010
23	.1596"+009
24	.9124"+010
25	.4809"+010
26	.1403"+010
27	.2579"+010
28	.1389"+009
29	.1525"+009
30	.1382"+009
31	.9923"+009

DE BESTE GRAAD IS 12 MET VARIANTIE .1414"+008

DE COEFFICIENTEN ZIJN

0	+ .27812738886800"-004
1	- .38333024389270"-002
2	+ .31983173288792"-001
3	+ .90863504776289"+000
4	- .16176007065588"+002
5	+ .11009134964974"+003
6	- .40516073844303"+003
7	+ .88019192945630"+003
8	- .11206886139563"+004
9	+ .71403872026785"+003
10	+ .84944449137310"+001
11	- .30102335993254"+003
12	+ .20725213516816"+003

```

SUBROUTINE DUPVEC(L, U, A, B, N)
C   COPIEERT DE VECTOR IN ARRAY B(L .. U) NAAR DE VECTOR IN
C   ARRAY A(L .. U)
  INTEGER L, U
  REAL A(N), B(N)

  DO 10 I = L, U
    A(I) = B(I)
  10 RETURN
END

SUBROUTINE DUPCV(L, U, J, A, B, R, C)
C   COPIEERT DE VECTOR B(L .. U) NAAR DE KOLOM VECTOR IN A(L .. U, J)
  INTEGER L, U, J, R, C
  REAL A(R, C), B(R)

  DO 10 K = L, U
    A(K, J) = B(K)
  10 RETURN
END

SUBROUTINE DUPMAT(LR, UR, LC, UC, A, B, R, C)
C   COPIEERT DE MATRIX IN ARRAY B(LR .. UR, LC .. UC) NAAR DE MATRIX
C   IN ARRAY A(LR .. UR, LC .. UC).
  INTEGER LR, UR, LC, UC, R, C
  REAL A(R, C), B(R, C)

  INTEGER ROW, COL

  DO 10 ROW = LR, UR
    DO 10 COL = LC, UC
      A(ROW, COL) = B(ROW, COL)
    10 RETURN
  END

REAL FUNCTION F(T)
C   DE TE BENADEREN FUNCTIE.

COMMON M, N, K, HNU
REAL K, HNU
DIMENSION HNU(15)

REAL LABDA, PROD

REAL SINH
SINH(X) = (EXP(X) + EXP(-X)) * TANH(X) / 2

LABDA = 200 * K * (4 * T + 1)
PROD = 1.0
DO 10 I = 1, N
  PROD = PROD / SINH( HNU(I) / (2 * LABDA) )
10 F = PROD / ( 2 ** N * LABDA)
RETURN
END

```

```

SUBROUTINE INIA(A, M, M1)
C   DE VANDERMONDE MATRIX WORDT IN ARRAY A OPGESLAGEN.
REAL A(M1, M)

MMIN1 = M - 1
DO 10 I = 1, M1
  A(I, 1) = 1.0
  T = (I - 1) / FLOAT(M)
  DO 10 J = 1, MMIN1
    A(I, J + 1) = T ** J
  CONTINUE
10  RETURN
END

SUBROUTINE INIFF(FF, M1)
C   DE VECTOR VAN FUNCTIEWAARDEN IN DE DISCRETISERINGS-PUNTEN WORDT IN
C   ARRAY FF OPGEBOGEN.
REAL FF(M1)

COMMON M, N, K, HNU(15)
REAL K, HNU

DO 10 I = 1, M1
  FF(I) = F( (I - 1) / FLOAT(M) )
10  RETURN
END

REAL FUNCTION POL(N, X, T, M)
C   BEREKENT VOOR ARGUMENT T HET POLYNOOM VAN DE GRAAD N MET
C   COEFFICIENTEN IN ARRAY X.
REAL X(M)

P = X(N + 1)
DO 10 I = 1, N
  P = P * T + X(N + 1 - I)
10  POL = P
RETURN
END

```

```

PROGRAM POLFIT1(INPUT,OUTPUT)
C   FIT EEN PLOYNOOM MET EEN KLEINSTE KHADRATEN OPLOSSING VAN
C   1.3.11 MET BEHULP VAN SINGULIERE WAARDEN ONTBINDING DOOR AANROEP
C   VAN LLSQAR UIT IMSL.
C   POLFIT1 ROEPT DIRECT OF INDIRECT DE VOLGENDE SUBROUTINES OF
C   FUNCTIONS AAN :
C   DUPVEC, DUPCV, DUPMAT, F, INIA, INIFF, POL (ZIE VOORAFGAANDE),
C   GRAAD1, LSTSQ1 (ZIE VERVOLG),
C   LLSQAR (UIT IMSL).
C   HET PROGRAMMA VERWACHT DE GETALLEN HNU ALS INVOER.

COMMON M, N, K, HNU(15)

REAL A(33, 32), COEF(33, 33), SIGMA(32), HNU, K, FF(33)
INTEGER DEGREE, DEGREE1

EXTERNAL GRAAD1
INTEGER GRAAD1

M = 32 $ M1 = M + 1 $ N = 15
K = 8.617065E-5
DO 10 I = 1, N
10  READ *, HNU(I)
    CALL INIA(A, M, M1)
    CALL INIFF(FF, M1)
    DEGREE = GRAAD1(A, FF, SIGMA, COEF, M, M1)
    DEGREE1 = DEGREE + 1
    PRINT 100
    PRINT 120, DEGREE
    PRINT 130, SIGMA(DEGREE)
    PRINT 140
    DO 20 I = 1, DEGREE1
20      PRINT 150, COEF(I, DEGREE)
100  FORMAT("1POLYNOOM=FITTING, KLEINSTE KHADRATENOPLOSSING,",
C     "SINGULIERE WAARDEN ONTBINDING MET LLSQAR UIT IMSL.")
120  FORMAT("0GRAAD : ", I4, "/)
130  FORMAT(" VARIANTIE : ", E24.14, "/)
140  FORMAT(" COEFFICIENTEN : "/)
150  FORMAT(E24.14)
END

```

```

SUBROUTINE LSTSQ1(MAT, N, B, SIG, COEF, M, M1)
C   BIJ GEGEVEN GRAAD WORDT EEN KLEINSTE KWADRATENOPLOSSING MET
C   LLSGAR BEREKEND, EN DE BIJBEHORENDE VARIANTIE.
REAL MAT(M1, M), B(M1), SIG(M), COEF(M1, M1)

REAL A(33, 32), FF(33), WKAREA(1300)

N1 = N + 1
CALL DUPMAT(1, M1, 1, N1, A, MAT, M1, M)
CALL DUPVEC(1, M1, FF, B, M1)
CALL LLSGAR(A, FF, M1, N1, 1, M1, M1, 14, WKAREA, IER)
CALL DUPCV(1, N1, N, COEF, FF, M1, M1)
DEL = 0.0
DO 10 I = 1, M1
    T = (I - 1) / FLOAT(M)
    DEL = DEL + ( POL(N, FF, T, M) - B(I) ) ** 2
10 SIG(N) = DEL / ( M - N )
RETURN
END

INTEGER FUNCTION GRAAD1(MAT, B, SIG, COEF, M, M1)
C   BEPAALT DE BESTE GRAAD.
REAL MAT(M1, M), B(M1), SIG(M), COEF(M1, M1)

MMIN1 = M - 1
DO 10 NN = 1, MMIN1
    CALL LSTSQ1(MAT, NN, B, SIG, COEF, M, M1)
    IF ( NN .EQ. 1 ) GOTO 10
    IF ( SIG(NN) .LT. SIG(NN - 1) ) GOTO 100
    GRAAD1 = NN - 1
    RETURN
100 IF ( SIG(NN) .GT. 1E-8 ) GOTO 10
    GRAAD1 = NN
    RETURN
10 CONTINUE
    GRAAD = MMIN1
RETURN
END

```

POLYNOM-FITTING, KLEINSTE KWADRATENOPLOSSING, SINGULIERE WAARDEN
ONTBINDING MET LLSQAR UIT IMSL.

GRAAD : 11

VARIANTIE : .88489571586134E-09

COEFFICIENTEN :

```

      =.10155166581505E+04
      .10936788593793E+01
      =.51852668796986E+00
      .92733465701235E+01
      =.85687862303937E+02
      .46830051658639E+03
      =.16222953894616E+04
      .36837434240242E+04
      =.55200420734602E+04
      .53403948433599E+04
      =.31067080594829E+04
      .91148550654053E+03

```

```

C      PROGRAM POLFIT2(INPUT,OUTPUT)
C      FIT EEN POLYNOM MET EEN KLEINSTE KWADRATENOPLOSSING VAN
C      1.3.11 MET BEHULP VAN F04AMF UIT NAG.
C      POLFIT2 ROEPT DIRECT OF INDIRECT DE VOLGENDE SUBROUTINES OF
C      FUNCTIONS AAN:
C      DUPCV, F, INIA, INIFF, POL (ZIE VOORAFGAANDE),
C      LSTSQ2, GRAAD2 (ZIE VERVOLG),
C      F04AMF (UIT NAG).
C      HET PROGRAMMA VERWACHT DE GETALLEN HNU ALS INVOER.
COMMON M, N, K, HNU(15)

```

```

REAL A(33, 32), COEF(33, 33), SIGMA(32), HNU, K, FF(33)
INTEGER M, N, I, DEGREE, DEGREE1

```

```

EXTERNAL GRAAD2
INTEGER GRAAD2

```

```

      M = 32 $ M1 = M + 1 $ N = 15
      K = 8.617065E-5
      DO 10 I = 1, N
10      READ *, HNU(I)
      CALL INIA(A, M, M1)
      CALL INIFF(FF, M1)
      DEGREE = GRAAD2(A, FF, SIGMA, COEF, M, M1)
      DEGREE1 = DEGREE + 1
      PRINT 100
      PRINT 120, DEGREE
      PRINT 130, SIGMA(DEGREE)
      PRINT 140
      DO 20 I = 1, DEGREE1
20      PRINT 150, COEF(I, DEGREE)
100  FORMAT("1POLYNOM-FITTING, KLEINSTE KWADRATENOPLOSSING.",
C      " F04AMF UIT NAG.")
120  FORMAT("0GRAAD2 : ", I4, /)
130  FORMAT(" VARIANTIE :", E24, I4, /)
140  FORMAT(" COEFFICIENTEN : "/)
150  FORMAT(E24, I4)
      END

```



```

LOGICAL FUNCTION LSTSQ2(MAT, N, B, SIG, COEF, M, M1)
REAL MAT(M1, M), B(M), SIG(M), COEF(M1, M1)

REAL A(33, 32), ALPHA(32), E(32), Y(32), Z(32), R(32), FF(33)
INTEGER IPIV(32)

ETA = 2.0 ** (-47)
IP = IFAIL = 1      3      NI = N + 1
CALL F04AMF(MAT, M1, FF, M1, B, M1, M1, NI, IP, ETA, A, M1,
C   ALPHA, E, Y, Z, R, IPIV, IFAIL)
IF ( IFAIL .EQ. 1 ) GOTO 100
IF ( IFAIL .EQ. 2 ) GOTO 200

C   IFAIL .EQ. 0 :
CALL DUPCV(1, NI, N, COEF, FF, M1, M1)
DEL = 0.0
DO 10 I = 1, M1
    T = (I - 1) / FLOAT(M)
    DEL = DEL + ( POL(N, FF, T, M) - B(I) ) ** 2
10  SIG(N) = DEL / (M - N)
LSTSQ2 = .TRUE.
RETURN

C   IFAIL .EQ. 1 :
100  PRINT *, "SINGULIER VOOR GRAAD2 : ", N
LSTSQ2 = .FALSE.
RETURN

C   IFAIL .EQ. 2 :
200  PRINT *, "GEEN POGING OPLOSSING TE VINDEN. GRAAD : ", N
LSTSQ2 = .FALSE.
RETURN
END

INTEGER FUNCTION GRAAD2(MAT, B, SIG, COEF, M, M1)
REAL MAT(M1, M), B(M1), SIG(M), COEF(M1, M1)

EXTERNAL LSTSQ2
LOGICAL VAROK, LSTSQ2

MMIN1 = M - 1
DO 10 NN = 1, MMIN1
    IF ( LSTSQ2(MAT, NN, B, SIG, COEF, M, M1) ) GOTO 100
200  GRAAD2 = NN - 1
    RETURN
250  GRAAD2 = NN
    RETURN
100  IF ( NN .EQ. 1 ) GOTO 10
    IF ( SIG(NN) .GE. SIG(NN-1) ) GOTO 200
    IF ( SIG(NN) .LE. 1E-8 ) GOTO 250
10  CONTINUE
GRAAD2 = MMIN1
RETURN
END

```

POLYNOOM-FITTING, KLEINSTE KWADRATENOPLOSSING, F04AMF UIT NAG.

GRAAD2 : 11

VARIANTIE : .88478836046671E-09

COEFFICIENTEN :

•,10155114131025E-04
•,10936779934852E-01
•,51852648136585E+00
•,92733445522349E+01
•,85687851639230E+02
•,46830048145521E+03
•,16222953109401E+04
•,36837432988473E+04
•,55200419331245E+04
•,53403947371247E+04
•,31067080121878E+04
•,91148549712100E+03

```

PROGRAM POLFIT3(INPUT,OUTPUT)
C   FIT EEN POLYNOM DOOR DE NORMAALVERGELIJKING 1.3.8 MET
C   CHOLESKY'S METHODE OP TE LOSSEN MET BEHULP VAN LEQT2P UIT IMSL.
C   POLFIT3 ROEPT DIRECT OF INDIRECT DE VOLGENDE SUBROUTINES OF
C   FUNCTIONS AAN:
C   DUPCV, DUPVEC, INIA, INIFF, F, POL (ZIE VOORAFGAANDE),
C   GRAAD3, CHLSKY3, INIATF (ZIE VERVOLG),
C   LEQT2P, VTPROF (UIT IMSL).
C   HET PROGRAMMA VERWACHT DE GETALLEN HNU ALS INVOER.
COMMON M, N, K, HNU(15)

REAL A(33, 32), ATA(528), ATF(32), COEF(32, 32), SIGMA(32),
C   HNU, K, FF(33)
INTEGER DEGREE, DEGREE1, UB

EXTERNAL GRAAD3
INTEGER GRAAD3

M = 32 $ M1 = M + 1 $ N = 15
UB = M * (M + 1) / 2
K = 8.617065E-5
DO 10 I = 1, N
10  READ *, HNU(I)
    CALL INIA(A, M, M1)
    CALL INIFF(FF, M1)
    CALL VTPROF(A, M1, M, M1, ATA)
    CALL INIATF(A, FF, ATF, M, M1)
    DEGREE = GRAAD3(ATA, ATF, SIGMA, COEF, M, M1, FF, UB)
    DEGREE1 = DEGREE + 1
    PRINT 100
    PRINT 120, DEGREE
    PRINT 130, SIGMA(DEGREE)
    PRINT 140
    DO 20 I = 1, DEGREE1
20  PRINT 150, COEF(I, DEGREE1)
100  FORMAT("1POLYNOM-FITTING, NORMAALVERGELIJKING EN CHOLESKY",
C   " ONTBINDING, LEQT2P UIT IMSL.", /)
120  FORMAT("0GRAAD3 ; ", I4, /)
130  FORMAT(" VARIANTIE ; ", E24.14, /)
140  FORMAT(" COEFFICIENTEN ; "/)
150  FORMAT(E24.14)
END

SUBROUTINE INIATF(A, FF, ATF, M, M1)
REAL A(M1, M), FF(M1), ATF(M)

DOUBLE PRECISION SUM
DO 10 I = 1, M
    SUM = 0.0D1
    DO 20 J = 1, M1
20  SUM = SUM + DBLE( A(J,I) ) * DBLE( FF(J) )
10  ATF(I) = SUM
RETURN
END

```

```

LOGICAL FUNCTION CHLSKY3(MAT, N, ATF, SIG, COEF, M, M1, FF, UB)
INTEGER UB
REAL MAT(UB), ATF(M), SIG(M), COEF(M, M), FF(M1)

REAL BB(32), WKAREA(592)
INTEGER IDGT, IER, I, N1
LOGICAL OK

N1 = N + 1
CALL DUPVEC(1, N1, BB, ATF, M)
CALL LEQT2P(MAT, 1, N1, M, BB, IDGT, D1, D2, WKAREA, IER)
CHLSKY3 = OK = ( IER .NE. 129 ) .AND. ( IER .NE. 130 )
IF ( .NOT. OK ) RETURN
CALL DUPCV(1, N1, N, COEF, BB, M, M)
DEL = 0.0
DO 10 I = 1, M1
    T = (I - 1) / FLOAT(M)
    DEL = DEL + ( POL( N, BB, T, M) * FF(I) ) ** 2
10 SIG(N) = DEL / (M - N)
RETURN
END

INTEGER FUNCTION GRAAD3(MAT, B, SIG, COEF, M, M1, FF, UB)
INTEGER M, M1, UB
REAL MAT(UB), B(M), SIG(M), COEF(M,M), FF(M1)

EXTERNAL CHLSKY3
LOGICAL CHLSKY3

INTEGER NN, MMIN1
LOGICAL VAROK

MMIN1 = M - 1
DO 10 NN = 1, MMIN1
    IF ( CHLSKY3(MAT, NN, B, SIG, COEF, M, M1, FF, UB) ) GOTO 100
200 GRAAD3 = NN - 1
    RETURN
250 GRAAD3 = NN
    RETURN
100 IF ( NN .EQ. 1 ) GOTO 10
    IF ( SIG(NN) .GE. SIG(NN-1) ) GOTO 200
    IF ( SIG(NN) .LE. 1E-8 ) GOTO 250
10 CONTINUE
GRAAD3 = MMIN1
RETURN
END

```

POLYNOOM-FITTING, NORMAALVERGELIJKING EN CHOLESKY ONTBINDING, LEQT2P
UIT IMSL.

GRAAD3 : 11

VARIANTIE : .55365521999326E+08

COEFFICIENTEN :

.43820332073484E+04
-.15652772869211E+01
.48992303401633E+00
-.53987976113787E+01
.24898356789310E+02
-.23290338480592E+02
-.24760564350372E+03
.11973184247179E+04
-.26148523440469E+04
.32232572878527E+04
-.22317281120634E+04
.75488348328084E+03

```

PROGRAM POLFIT4(INPUT,OUTPUT)
C   FIT EEN POLYNOM DOOR DE NORMAALVERGELIJKING 1.3.8 MET
C   CHOLESKY'S METHODE OP TE LOSSEN MET BEHULP VAN F04ASF UIT NAG.
C   POLFIT4 ROEPT DIRECT OF INDIRECT DE VOLGENDE SUBROUTINES OF
C   FUNCTIONS AAN:
C   DUPCV, INIA, INIFF, POL (ZIE VOORAFGAANDE),
C   CHLSKY4, GRAAD4, INIATF (ZIE VERVOLG),
C   F01CJF, F01CKF, F04ASF (UIT NAG).
C   HET PROGRAMMA VERWACHT DE GETALLEN HNU ALS INVOER.
COMMON M, N, K, HNU(15)

REAL A(32, 32), ATA(32, 32), ATF(32), COEF(32, 32), SIGMA(32),
C   HNU, K, FF(33)
INTEGER DEGREE, DEGREE1

EXTERNAL GRAAD4
INTEGER GRAAD4

M = 32 $ M1 = M + 1 $ N = 15
K = 8.617065E-5
DO 10 I = 1, N
10  READ *, HNU(I)
CALL INIA(A, M, M1)
CALL INIFF(FF, M1)
CALL INIATF(A, ATA, ATF, FF, M, M1)
DEGREE = GRAAD4(ATA, ATF, SIGMA, COEF, M, M1, FF)
DEGREE1 = DEGREE + 1
PRINT 100
PRINT 120, DEGREE
PRINT 130, SIGMA(DEGREE)
PRINT 140
DO 20 I = 1, DEGREE1
20  PRINT 150, COEF(I, DEGREE)
100  FORMAT("1POLYNOM-FITTING, NORMAALVERGELIJKING EN CHOLESKY",
C   " ONTBINDING, F04ASF UIT NAG.")
120  FORMAT("0GRAAD4 : ", I4, "/)
130  FORMAT(" VARIANTIE : ", E24.14, "/)
140  FORMAT(" COEFFICIENTEN : ")
150  FORMAT(E24.14)
END

SUBROUTINE INIATF(A, ATA, ATF, FF, M, M1)
REAL A(M1, M1), ATA(M, M), ATF(M), FF(M1)

REAL AT(32, 33), Z(1)

IFAIL = 0
CALL F01CJF(AT, A, M, M1, 0, IFAIL)
CALL F01CKF(ATA, AT, A, M, M, M1, Z, 1, 1, IFAIL)
CALL F01CKF(ATF, AT, FF, M, 1, M1, Z, 1, 1, IFAIL)
RETURN
END

```

```

LOGICAL FUNCTION CHLSKY4(MAT, N, B, SIG, COEF, M, M1, FF)
REAL MAT(M, M), B(M), SIG(M), COEF(M, M), FF(M1)

REAL SOL(32), WK1(32), WK2(32), DEL, T

N1 = N + 1
IFAIL = 1
CALL F04ASF(MAT, M, B, N1, SOL, WK1, WK2, IFAIL)
IF ( IFAIL = 1 ) 300, 200, 100

C   IFAIL .EQ. 2 :
100 PRINT *, "MATRIX TE SLECHT GECONDITONEERD. GRAAD :", N
    CHLSKY4 = .FALSE.
    RETURN

C   IFAIL .EQ. 1 :
200 PRINT *, "MATRIX NIET POSITIEF DEFINIET. GRAAD :", N
    CHLSKY4 = .FALSE.
    RETURN

C   IFAIL .EQ. 0: AANROEP WAS SUCCESVOL.
300 CHLSKY4 = .TRUE.
    CALL DUPCV(1, N1, N, COEF, SOL, M, M)
    DEL = 0.0
    DO 10 I = 1, M1
        T = (I - 1) / FLOAT(M)
        DEL = DEL + ( POL( N, SOL, T, M) - FF(I) ) ** 2
10   SIG(N) = DEL / (M - N)
    RETURN
END

INTEGER FUNCTION GRAAD4(MAT, B, SIG, COEF, M, M1, FF)
INTEGER M, M1
REAL MAT(M,M), B(M), SIG(M), COEF(M,M), FF(M1)

EXTERNAL CHLSKY4
LOGICAL CHLSKY4

INTEGER NN, MMIN1

MMIN1 = M - 1
DO 10 NN = 1, MMIN1
    IF ( CHLSKY4(MAT, NN, B, SIG, COEF, M, M1, FF) ) GOTO 100
200   GRAAD4 = NN - 1
    RETURN
250   GRAAD4 = NN
    RETURN
100   IF ( NN .EQ. 1 ) GOTO 10
    IF ( SIG(NN) .GE. SIG(NN-1) ) GOTO 200
    IF ( SIG(NN) .LE. 1E-8 ) GOTO 250
10   CONTINUE
    GRAAD4 = MMIN1
    RETURN
END

```

POLYNOM-FITTING. NORMAALVERGELIJKING EN CHOLESKY ONTBINDING. F04ASF
UIT NAG.

GRAAD4 : 11

VARIANTIE : .55365522163548E-08

COEFFICIENTEN :

.43820332073484E+04
-.15652772869211E+01
.48992303401633E+00
-.53987976113787E+01
.24898356789310E+02
-.23290338480592E+02
-.24760564350372E+03
.11973184247179E+04
-.26148523440469E+04
.32232572878527E+04
-.22317281120634E+04
.75488348328084E+03

1. LINEAIRE ALGEBRA

1.2. Het eigenwaardenprobleem en de singuliere waarden ontbinding

door D.T. Winter
(Mathematisch Centrum)

1.2.1. Inleiding

Evenals voor het onderwerp lineaire stelsels bestaan er ook voor het eigenwaardenprobleem en de singuliere waarden ontbinding goed geanalyseerde algoritmen. We zullen bekijken wat de programmatheken ACCULIB (ALGOL 60 en FORTRAN), IMSL (FORTRAN), NAG (ALGOL 60 en FORTRAN) en NUMAL (ALGOL 60) ons op dit gebied te bieden hebben. Tevens zullen we, om meer inzicht in de singuliere waarden ontbinding te verkrijgen, het probleem aangeroerd bij het onderwerp lineaire stelsels met deze ontbinding trachten op te lossen.

Ter verduidelijking is bij alle programmatuur uit ACCULIB met een A (ALGOL 60) of een F (FORTRAN) aangegeven voor welke taal de betreffende routine geschikt is. In de NAG programmatheek komt iedere routine twee maal voor, voor beide programmeertalen eenmaal, dit is aangegeven door een A of een F aan het eind van de routinenaam. Wij hebben deze routines overal samengenomen door de laatste letter te vervangen door A/F. Zo staat F02AXA/F voor de twee routines F02AXA (ALGOL 60) en F02AXF (FORTRAN).

1.2.2. Overzicht beschikbare programmatuur voor het eigenwaardenprobleem

We beschouwen het (gegeneraliseerde) eigenwaardenprobleem

$$(1.2.2.1) \quad Ax = \lambda Bx,$$

waarbij A en B gegeven n bij n matrices zijn, x een n-vector is (een eigen-vector) en λ een scalar is (een eigenwaarde). Het is bekend dat vergelijking (1.2.2.1) n eigenwaarden heeft, die echter niet noodzakelijk verschillend zijn. Heeft deze vergelijking verder n lineair onafhankelijke eigenvectoren, dan noemen we de vergelijking niet-defect. In het defecte geval heeft de vergelijking dus minder dan n lineair onafhankelijke eigenvectoren en is in feite incompleet.

Het eigenwaardenprobleem is het probleem één of meerdere eigenwaarden en/of eigenvectoren van (1.2.2.1) te berekenen.

Aangezien er geen programmatuur beschikbaar is voor defecte vergelijkingen beperken we ons tot de niet-defecte vergelijkingen. In de volgende gevallen is van te voren bekend dat de vergelijking niet-defect is, in andere gevallen is dat niet of moeilijk te bepalen:

- a) A reëel symmetrisch, B reëel symmetrisch en niet singulier;
- b) A complex hermitisch, B complex hermitisch en niet singulier;

(B mag dus in beide gevallen de eenheidsmatrix zijn).

We gaan nu het probleem uitsplitsen in het gewone eigenwaardenprobleem, waarbij B de eenheidsmatrix is.

$$(1.2.2.2) \quad Ax = \lambda x$$

en het gegeneraliseerde eigenwaardenprobleem, met B ongelijk aan de eenheidsmatrix.

1.2.2.1. Het gewone eigenwaardenprobleem

We hebben de beschikbare programmatuur ondergebracht in een aantal tabellen. Tabel 1 bevat een ruwe indeling van het type matrix (A) en verwijst naar tabellen 2 tot 5. We hebben speciale vormen van A (zoals tridia-gonaalvorm etc.) weggelaten omdat de meeste routines er vanuit gaan dat die speciale vorm bereikt is met andere routines uit dezelfde programmatheek.

TABEL 1	
A reëel, symmetrisch	zie Tabel 2
A reëel, niet-symmetrisch	zie Tabel 3
A complex, hermitisch	zie Tabel 4
A complex, niet-hermitisch	zie Tabel 5

TABEL 2

Alleen eigenwaarden	ACCULIB	disktri + tq12(F)	1)
	IMSL	EIGRS	2)
	NAG	F02AAA/F	
	NUMAL	grivalsym1 grivalsym2	
Eigenwaarden + eigenvectoren	ACCULIB	jacob (A/F)	
		disktri + tq12 + treigv (F)	1)
		tred2 + tq12 (A/F)	
	IMSL	EIGRS	2)
	NAG	F02ABA/F	
Beperkt aantal eigenwaarden	NUMAL	grisym	
	NUMAL	eigvalsym1 eigvalsym2	
	NAG	F02AGA/F	
Beperkt aantal eigenwaarden + eigenvectoren	NUMAL	eigsym1 eigsym 2	

1) Speciaal geschikt voor zeer grote matrices.

2) Berekent naar wens de eigenvectoren.

TABEL 3

Alleen eigenwaarden	IMSL	EIGRF	1)
	NAG	F02AFA/F	
	NUMAL	reaeigval comeigval	2)
Eigenwaarden + eigenvectoren	ACCULIB	eigen (A/F)	3)
	IMSL	EIGRF	1)
	NAG	F02AGA/F	
	NUMAL	reaeig1 reaeig3 comeig1	2) 2)
	NAG	F02AGA/F	
Beperkt aantal eigenwaarden + eigenvectoren			

1) Berekent naar wens de eigenvectoren.

2) Alleen te gebruiken als van te voren bekend is dat alle eigenwaarden reëel zijn.

3) Berekent ook de eigenrijen (d.i. de oplossing van $x^T A = \lambda x^T$).

TABEL 4

Alleen eigenwaarden	IMSL	EIGCH	1)
	NAG	F02AWA/F	
	NUMAL	qrivalhrm	
Eigenwaarden + eigenvectoren	IMSL	EIGCH	1)
	NAG	F02AXA/F	
	NUMAL	qrhrm	
Beperkt aantal eigenwaarden	NUMAL	eigvalhrm	
Beperkt aantal eigenwaarden + eigenvectoren	NUMAL	eighrm	

1) Berekent naar wens de eigenvectoren.

TABEL 5

Alleen eigenwaarden	IMSL	EIGCC	1)
	NAG	F02AJA/F	
	NUMAL	eigvalcom	
Eigenwaarden + eigenvectoren	ACCULIB	equil + nordig + renorm	1)
	IMSL	EIGCC	
	NAG	F02AKA/F	
Beperkt aantal eigenwaarden + eigenvectoren	NUMAL	eigcom	
	NAG	F02ALA/F	

1) Berekent naar wens de eigenvectoren.

1.2.2.2. Het gegeneraliseerde eigenwaardenprobleem

Er is geen programmatuur beschikbaar voor complexe matrices. Het reële geval kunnen we onderverdelen in:

- 1) A is symmetrisch, B positief definitief zie tabel 6;
- 2) Aan 1) is niet voldaan zie tabel 7.

In geval 2) moeten we er rekening mee houden dat eigenwaarden oneindig kunnen zijn, en zelfs ongedefinieerd (als $Ax = Bx = 0$).

TABEL 6

Alleen eigenwaarden	NAG	F02ADA/F
Eigenwaarden + eigenvectoren	NAG	F02AEA/F

TABEL 7

Alleen eigenwaarden	IMSL	EIGZF	1)
	NUMAL	qzival	
Eigenwaarden + eigenvectoren	IMSL	EIGZF	1)
	NUMAL	qzi	

1) Berekent naar wens de eigenvectoren.

1.2.2.3. Gebruik van eigenwaarden bij het berekenen van nulpunten van polynomen

Met behulp van de eigenwaardenroutines voor symmetrische matrices kan men de nulpunten van orthogonale polynomen berekenen. Hiervoor is nog slechts één routine voorgesteld (in NUMAL). Wel is er in NUMAL een routine (polzeros) die met behulp van de routines voor berekening van eigenwaarden de nulpunten van een reëel polynoom berekenen. De zo berekende nulpunten zijn niet erg nauwkeurig, ze kunnen echter goed gebruikt worden als beginschattingen voor andere routines.

1.2.3. Programmatuur voor de singuliere waarden ontbinding

De singuliere waarden ontbinding van een n bij m matrix A wordt gedefinieerd door

$$(1.2.3.1) \quad A = U \Sigma V^H$$

met U en V unitaire matrices en Σ een diagonaal matrix. De elementen op de diagonaal van Σ dienen positief of 0 te zijn, en heten singuliere waarden.

We kunnen de singuliere waarden ontbinding, onder andere, in de volgende gevallen gebruiken:

- a. Bepaling van de rang van A. De rang is gelijk aan het aantal singuliere waarden ongelijk aan 0. Als we numeriek te werk gaan zullen we natuurlijk singuliere waarden kleiner dan een bepaald (klein) getal als nul beschouwen.
- b. Bepaling van de pseudo-inverse van A (voor definitie zie hoofdstuk 1.1.). De pseudo-inverse van A wordt bepaald door

$$(1.2.3.2) \quad A^+ = U \Sigma^+ V^H$$

waarbij Σ^+ ook een diagonaal matrix is, met nullen op de diagonaal waar Σ ook nullen heeft, en verder de inversen van de singuliere waarden (zie ook de opmerking bij a.).

- c. Oplossing van een kleinste-kwadratenprobleem. Laat gegeven zijn het stelsel

$$(1.2.3.3) \quad Ax = b$$

met de vraag x zodanig te bepalen dat de lengte van de vector $r = Ax - b$ minimaal is. In dit geval is

$$(1.2.3.4) \quad x = A^+ b.$$

een oplossing, en wel, indien er meerdere oplossingen zijn, de oplossing van minimale lengte.

- d. Bepaling eigenwaarden en eigenvectoren van $A^H A$. De eigenwaarden zijn gelijk aan de kwadraten van de singuliere waarden van A, en de eigenvectoren staan in matrix V (want $A^H A = V \Sigma^H \Sigma V^H$). De singuliere waarden ontbinding is nauwkeuriger dan wanneer we eerst $A^H A$ berekenen en daarna hiervan het eigenwaardenprobleem oplossen.
- e. Bepaling van de inverse van $A^H A$. De inverse is eenvoudig $V \Sigma^{-1} (\Sigma^H)^{-1} V^H$. Ook hier is weer de singuliere waarden ontbinding stabiel.
- f. In het algemeen de oplossing van stelsels $Ax = b$. Vaak is oplossing met behulp van de singuliere waarden ontbinding stabiel dan met de andere methoden (vgl. hoofdstuk 1.1.). Dit geldt vooral als A een slechte konditie heeft.

In de volgende tabel kunnen we aflezen welke routines voor de singuliere waarden ontbinding beschikbaar zijn (er zijn geen routines voor complexe matrices).

TABEL 8

Alleen singuliere waarden	NUMAL	grisngval	
Volledige ontbinding	IMSL	LSVALR	
	NAG	F01BGA/F	1)
		F01BHA/F	
	NUMAL	grisngvaldec	

- 1) Berekent niet de ontbinding $U\Sigma V^T$, maar Σ , V en bij een gegeven matrix B : $U^T B$, dit is een deel van de berekening van $A^+ B$.

1.2.4. Gebruik van de singuliere waarden ontbinding

In het probleem, vermeld in hoofdstuk 1.1.3. komen we uiteindelijk tot de volgende wiskundige formulering:

Bepaal een polynoom $P_N(t) = x_0 + x_1 t + \dots + x_N t^N$ van graad N zodanig dat

$$(1.1.3.6) \quad \phi_N(x_0, \dots, x_N) = \sum_{i=0}^m (f(t_i) - P_N(t_i))^2$$

minimaal is, waarbij m , f en t_i gedefinieerd zijn als in hoofdstuk 1.1.3. Noteren we voor zekere $N \geq 1$.

$$F = (f(t_0), f(t_1), \dots, f(t_m))^T$$

en

$$x = (x_0, \dots, x_N)^T;$$

en verder nog de zg. Vandermonde matrix:

$$V = \begin{pmatrix} 1 & t_0 & \dots & t_0^N \\ \cdot & \cdot & & \cdot \\ \cdot & \cdot & & \cdot \\ \cdot & \cdot & & \cdot \\ 1 & t_m & & t_m^N \end{pmatrix}$$

dan wordt dus gevraagd de lengte van de vector $Vx-F$ te minimaliseren, en dat is precies het kleinste-kwadratenprobleem uit voorbeeld 1.2.3.c.

Verder willen we natuurlijk dat het polynoom $P_N(t)$ van zo laag mogelijke graad is. Om dit te verwezenlijken laten we N lopen vanaf 1 en bepalen de rang (numeriek) van matrix V . Aangezien het aantal rijen van V groter is dan het aantal kolommen ($N+1$) is de rang dus maximaal $N + 1$. Geldt nu vanaf zekere N_0 dat de rang niet maximaal is, dan had toevoeging van de (N_0+1) ste kolom geen zin, en kunnen we stoppen. Voor het uitgewerkte voorbeeld zie men het bijgevoegde programma.

Ter bepaling van de numerieke rang werd de routine `grisngvaldec` uit de NUMAL programmatheek gebruikt; en om uiteindelijk de vector x te berekenen werd de routine `solsvdovr` uit NUMAL gebruikt.

1.2.5. Aanvullende notities

1.2.5.1. De "performance indicator" in de IMSL programmatheek

De "performance indicator" wordt gebruikt in verscheidene routines. Hij geeft aan hoe goed het proces verlopen is. Een waarde groter dan 100 betekent slecht verloop, waardeloze resultaten, een waarde kleiner dan 1 betekent een gunstig verloop. Dit laatste wil zeggen dat, gegeven een matrix A , een vector x en een scalar λ , er kleine verstoringen ΔA , Δx en $\Delta \lambda$ zijn opdat $(A+\Delta A)(x+\Delta x) = (\lambda+\Delta \lambda)(x+\Delta x)$. Dit betekent dat λ dicht bij een echte eigenwaarde van A ligt, echter geenszins dat x dichtbij een eigenvector van A ligt.

1.2.5.2. De routines `reaeigval`, `reaeig1` en `reaeig3` uit NUMAL

Deze routines werken alleen maar correct als alle eigenwaarden reëel zijn. Zijn niet alle eigenwaarden reëel dan leveren de routines de reële delen van de eigenwaarden af en eigenvectoren die nergens op slaan. Uiteraard kan men altijd `comeigval` en `comeig1` gebruiken, en deze routines zijn vaak sneller, óók als alle eigenwaarden reëel zijn!

1.2.5.3. Structuur van de routines

Alle routines transformeren de invoermatrix (matrices) eerst naar een speciale vorm, waarbij eigenwaarden c.q. singuliere waarden behouden blijven. Deze speciale vorm kunnen we aflezen uit de volgende tabel:

TABEL 9

probleem	speciale vorm
$Ax = \lambda x$, A reëel symmetrisch of complex hermitisch	tridiagonaal reëel symmetrisch
$Ax = \lambda x$, andere gevallen	hessenberg
$Ax = \lambda Bx$	A→hessenberg, B→driehoeksvorm
$A = U\Sigma V^T$	bidiagonaal

Hierna wordt het iteratieve proces losgelaten op de speciale vorm.

Is de matrix al in speciale vorm, dan kunnen we de transformatiefase overslaan; dit is echter niet nodig omdat direct ontdekt wordt dat deze fase leeg is. Bovendien als we deze fase overslaan en we willen eigenvectoren of de volledige singuliere waarden ontbinding berekenen, dan dienen we speciale kunstgrepen toe te passen.

1.2.5.4. Berekenen van eigenrijen

Alleen de routine eigen uit ACCULIB berekent eigenrijen. Willen we deze berekenen met één van de andere routines, dan dienen we het getransponeerde probleem in te voeren, immers de eigen vectoren van A^T zijn de eigenrijen van A etc.

1.2.5.5. Singuliere waarden ontbinding van matrices met meer kolommen dan rijen

Alle routines voor de singuliere waarden verwachten dat het aantal rijen groter is dan of gelijk is aan het aantal kolommen. Is dit niet het geval, dan voeren we de getransponeerde matrix in.

1.2.5.6. Vierkante matrix U bij de singuliere waarden ontbinding

Soms bestaat er behoefte aan een vierkante matrix U terwijl de invoermatrix niet vierkant is. We lossen dit op door de invoermatrix met een aantal aanvullende nulkolommen vierkant te maken.

Literatuur

BOYLE, J.M., B.S. GARBOW, Y. IKEBE, V.C. KLEMA, C.B. MOLER & B.T. SMITH
[1974], *Matrix Eigensystem Routines - EISPACK Guide*, Lecture
Notes in Computer Science, Springer-Verlag, Berlin.

WILKINSON, J.H. [1965], *The algebraic eigenvalue problem*, Clarendon Press,
Oxford.

WILKINSON, J.H. & C. REINSCH [1971], *Linear Algebra*, Handbook for auto-
matic computation II, Springer-Verlag, Berlin.

Bijlagen

```

"BEGIN" "COMMENT" PROGRAMMA VOOR POLYNOM FITTING MET SINGULIERE
WAARDEN ONTBINDING, VOORBEELDPROGRAMMA VOOR GEBRUIK IN HET
KADER VAN HET COLLOQUIUM NUMERIEKE PROGRAMMATUUR, DWINTER;

"PROCEDURE" DUPVEC(L,U,SHIFT,A,B); "CODE" 31030;
"PROCEDURE" DUPMAT(LR,UR,LC,UC,A,B); "CODE" 31035;
"INTEGER" "PROCEDURE" DRISNGVALDEC(A,M,N,VAL,V,EM); "CODE" 34273;
"PROCEDURE" SOLSDOVR(U,VAL,V,M,N,X,EM); "CODE" 34280;

"INTEGER" N, M, M1;
N:= 15; M:= 32; M1:= 33;
"BEGIN"
  "REAL" "PROCEDURE" F(T); "VALUE" T; "REAL" T;
  "BEGIN" "REAL" LABDA, PROD; "INTEGER" I;
    "REAL" "PROCEDURE" SINH(X); "CODE" 35111;
    LABDA:= (T * 4 + 1) * K * 200;
    PROD:= 1; "FOR" I:= 1 "STEP" 1 "UNTIL" N "DO"
      PROD:= PROD / SINH(HNU[I]) / (LABDA * 2);
    F:= PROD / (LABDA * 2 ** N)
  "END" F;

  "REAL" "PROCEDURE" POL(NN, X, T); "VALUE" NN, T;
  "INTEGER" NN; "REAL" T; "ARRAY" X;
  "BEGIN" "INTEGER" I; "REAL" PROD;
    PROD:= X(NN + 1); "FOR" I:= NN "STEP" - 1 "UNTIL" 1 "DO"
      PROD:= PROD * T + X[I]; POL:= PROD
  "END" POL;

  "PROCEDURE" OUT(BG, BV, COEF); "INTEGER" BG; "REAL" BV;
  "ARRAY" COEF;
  "BEGIN" "INTEGER" I;
    OUTPUT(61, "(/, ("DE BESTE GRAAD IS ")", 2ZDBB,
      " ("MET VARIANTIE ")", 8,4D"+3D, //)", BG, BV);
    OUTPUT(61, " ("("DE COEFFICIENTEN ZIJN")", //");
    "FOR" I:= 0 "STEP" 1 "UNTIL" BG "DO"
      OUTPUT(61, " ("2ZD2B, +.14D"+3D, //)", I, COEF[I + 1])
  "END" OUT;

  "INTEGER" NN, I, J, BESTEGRAAD;
  "REAL" NRM, K, MIN;
  "ARRAY" HNU[1:N], COEF, FF[1:M1], EM[0:7],
  VAL, VVAL[1:M], A, AA, UU[1:M1,1:M], V,VV[1:M,1:M];

  K:= 8,617065"-5;
  OUTPUT(61, "(/, ("INVOER VOOR HNU")", //");
  "FOR" I:= 1 "STEP" 1 "UNTIL" N "DO"
    "BEGIN" INPUT(60, "(/, +.5D"+3D)", HNU[I]);
    OUTPUT(61, "(/, +.5D"+3D)", HNU[I])
  "END";
  "FOR" I:= 0 "STEP" 1 "UNTIL" M "DO" FF[I + 1]:= F(I / M);
  "FOR" I:= 0 "STEP" 1 "UNTIL" M "DO"
    "FOR" J:= 0 "STEP" 1 "UNTIL" M - 1 "DO"
      A[I + 1,J + 1]:= "IF" J = 0 "THEN" 1 "ELSE" "IF" I = 0 "THEN"
        0 "ELSE" (I / M) ** J;
    EM[0]:= "-14; EM[2]:= "-12; EM[4]:= 100; EM[6]:= "-9;
  OUTPUT(61, "(/, ("GRAAD RANG MIN,SING,WAARDE")", //");

```

```

"FOR" NN:= 1 "STEP" 1 "UNTIL" M = 1 "DO"
"BEGIN" DUPMAT(1, M1, 1, NN + 1, AA, A);
I:= GRISNGVALDEC(AA, M1, NN + 1, VAL, V, EM);
"IF" I = 0 "THEN"
"BEGIN" OUTPUT(61, ("//, ("GRISNGVALDEC NIET GEREED")"));
"GOTO" EXIT1
"END";
MIN:= VAL(NN + 1);
"FOR" I:= 1 "STEP" 1 "UNTIL" NN "DO"
"IF" VAL[I] < MIN "THEN" MIN:= VAL[I];
OUTPUT(61, ("2(3ZD3B), N, /"), NN, EM[7], MIN);
"IF" EM[7] <= NN "THEN" "GOTO" EXIT;
DUPMAT(1, M1, 1, NN + 1, UU, AA);
DUPMAT(1, NN + 1, 1, NN + 1, VV, V);
DUPVEC(1, NN + 1, 0, VVAL, VAL);
BESTEGRAAD:= NN
"END" LOOP;
EXIT: DUPVEC(1, M1, 0, COEF, FF);
SOLSVDOVR(UU, VVAL, VV, M1, BESTEGRAAD + 1, COEF, EM);
NRM:= 0;
"FOR" I:= 0 "STEP" 1 "UNTIL" M "DO"
NRM:= NRM + (POL(BESTEGRAAD, COEF, I / M) = FF[I + 1]) ** 2;
OUTPUT(61, ("//, ("DE RESULTATEN ZIJN")", //"));
OUT(BESTEGRAAD, NRM / (M = BESTEGRAAD), COEF);
EXIT1:
"END"
"END"

```

INVDER VOOR HNU

+.95900"-001
 +.79560"-001
 +.79560"-001
 +.11640"+000
 +.11640"+000
 +.11640"+000
 +.76100"-001
 +.76100"-001
 +.76100"-001
 +.65100"-001
 +.65100"-001
 +.65100"-001
 +.43000"-001
 +.43000"-001
 +.43000"-001

GRAAD	RANG	MIN.SING.WAARDE
1	2	+1.5175459824350"+000
2	3	+3.1593009565087"-001
3	4	+6.1617328496584"-002
4	5	+1.1646779571785"-002
5	6	+2.1575621543764"-003
6	7	+3.9354133330154"-004
7	8	+7.0821297825273"-005
8	9	+1.2583790371458"-005
9	10	+2.2077835158088"-006
10	11	+3.8232548502205"-007
11	12	+7.8775102798944"-009
12	13	+5.6549357271770"-009
13	13	+7.6550889206484"-011

DE RESULTATEN ZIJN

DE BESTE GRAAD IS 12 MET VARIANTIE .1414"-008

DE COEFFICIENTEN ZIJN

0 +.27812738886800"-004
 1 -.38333024389270"-002
 2 +.31983173288792"-001
 3 +.90863504778289"+000
 4 -.16176007065588"+002
 5 +.11009134964974"+003
 6 -.40516073844303"+003
 7 +.88019192945630"+003
 8 -.11206886139563"+004
 9 +.71403872026785"+003
 10 +.84944449137310"+001
 11 -.30102335993254"+003
 12 +.20725213816816"+003

2. BEGINWAARDE- en BEGIN-RANDWAARDEPROBLEMEN

2.1. Beginwaardeproblemen voor stelsels gewone differentiaalvergelijkingen

door P.A. Beentjes
(Mathematisch Centrum)

2.1.1. Inleiding; Inventarisatie programmatuur

Veel verschijnselen en problemen zijn wiskundig te beschrijven door middel van een stelsel gewone differentiaalvergelijkingen, waarvan de oplossing in een bepaald punt gegeven is

$$y' = f(x, y),$$

$$y(x_0) = y_0, \quad f \text{ en } y \text{ mogelijk vectoren.}$$

Dikwijls zal men van deze beginwaardeproblemen de oplossing in één of meerdere punten willen weten. Als deze oplossing moeilijk of in het geheel niet analytisch te bepalen is (wat meestal het geval is), dan zal men zijn toevlucht moeten nemen tot numerieke methoden. In totaal zijn hiervoor in de te bespreken programmatheken (ACCULIB, IMSL, NAG en NUMAL) zo'n 30 procedures (subroutines) beschikbaar.

Een overzicht van deze programmatuur wordt gegeven in tabel 1. Voor eventuele verwijzingen zijn de procedures (met welke naam voor het gemak ook subroutines bedoeld kunnen zijn) van een nummer, met toevoeging A (ALGOL procedure) en/of F (FORTRAN subroutine), voorzien.

Na deze inleiding zullen allereerst de belangrijkste (stuur)parameters, die men bij een procedure voor het oplossen van beginwaardeproblemen kan tegenkomen, worden besproken. Vervolgens zullen, afhankelijk van probleem-eigenschappen en specifieke wensen van de gebruiker, adviezen worden gegeven ten aanzien van de te gebruiken procedure(s).

Tenslotte zal, door middel van een tweetal voorbeelden, de praktijk van het oplossen, in de vorm van programma's, worden bekeken.

TABEL 1

Inventarisatie van de beschikbare programmatuur.

Programmatheek	Procedurenaam	Nummer	Algoritme
ACCULIB	DIFFSYS	1A	Bulirsch-Stoer
IMSL	DASCRU	2F	Merson
	DCSLDE	3F	
	DREBS	4F	Bulirsch-Stoer
	DVOGER	5F	Gear
NAG	D02 ^{AA} (F)	6AF	Merson
	^{BA} (F)	7AF	Gear
	D02AEA(F)	8AF	Krogh
NUMAL	D02AHA(F)	9A	Gear
	MULTISTEP	10A	
	IMPEX	11A	Liniger-Willoughby
	LINIGER1VS	12A	Runge-Kutta
	RKE	13A	Runge-Kutta
	RK4NA	14A	Runge-Kutta
	RK5NA	15A	Runge-Kutta
	RK2N	16A	Runge-Kutta
	RK3N	17A	Taylor
	EXP.F.TAYLOR	18A	Runge-Kutta
	EFERK	19A	Runge-Kutta
	EFSIRK	20A	Multistep
	GMS	21A	Bulirsch-Stoer
	DIFFSYS	22A	Taylor
	MODIFIED TAYLOR	23A	Runge-Kutta
	EFRK	24A	Liniger-Willoughby
	LINIGER 2	25A	Runge-Kutta
	ARK		

2.1.2. Belangrijke (stuur)parameters

Zoals bij de meeste procedures het geval is, onderscheiden we ook bij procedures voor beginwaardeproblemen input (i-), output (o-) en input/output (io-) parameters. Voor de naamgeving van de hieronder te bespreken parameters is getracht een zo goed mogelijke "doorsnee" benaming te nemen.

- n - i-parameter.
 Het aantal componenten van y . Sommige procedures hebben een analogon voor scalarvergelijkingen (1A, 12A - 16A).

- x - io-parameter.
 De onafhankelijk variabele waarin meestal de beginwaarde x_0 moet worden meegegeven.

- b - i-parameter.
 Eindpunt van het integratieproces. De beschrijvingen van 2F, 12A, 15A en 16A maken duidelijk dat ook $b < x_0$ mag zijn. Bij sommige procedures (13A en 14A) mag b een oplossingsafhankelijke expressie zijn.
 Als een gebruiker geïnteresseerd is in een rij waarden $\{y(x_i)\}_{i=1}^N$ dan moet hij in de regel (uitzonderingen: 5F, 9A, 10A) de door hem gebruikte procedure N-maal aanroepen.

- y - io-parameter.
 De afhankelijk variabele, meestal een array ter lengte n , waarin bij aanroep de beginwaarden gegeven moeten zijn.

- der - Een procedure, door de gebruiker te schrijven, waarin de afgeleide wordt berekend.
 Soms wordt deze procedure componentsgewijs aangeroepen (3F, 13A - 16A).

- jac - Een procedure, wéér door de gebruiker te schrijven, waarin de jacobiaan - dat is de matrix met elementen $\partial f_i / \partial y_j$ - wordt berekend. In vele gevallen zal men dit liever numeriek willen doen. Als de hoofdprocedure hiervoor geen optie heeft, kan men in iedere programmatheek wel een geschikte hulpprocedure voor de jacobiaanberekening vinden.

- rp,ap - i-parameters.
 Relatieve en absolute precisie waarmee de *naauwkeurigheid van het integratieproces* wordt gestuurd. De verkregen *naauwkeurigheid in de oplossing* zal in de regel toenemen bij kleinere waarden van deze stuurparameters.
 Dikwijls zijn rp en ap arrays.
 De procedures 4F - 8AF willen van de gebruiker een indicatie omtrent de te voeren stuurprecisie (relatief, absoluut of beide).
- e - o-parameter.
 Geschatte fout (mogelijk componentsgewijs) in de oplossing.
 Over het algemeen zal e slechts de grootte-orde van de werkelijke fout benaderen. Men mag dan ook geen al te groot belang toekennen aan deze foutschatting.
- h,hmin,hmax - io-parameters.
 Respectievelijke begin-, minimale- en maximale stap voor het integratieproces. De waarde hmin zal in de regel slechts gebruikt worden als er zich moeilijkheden voordoen tijdens integratie; om deze mogelijke knelpunten het hoofd te bieden verdient het aanbeveling om hmin een veilige (= behoorlijk kleine) waarde te geven.
 Voor integratie met een door de gebruiker voorgeschreven stap, kan men terecht bij de procedures 1A - 6AF, 23A en 24A.
 De éénstapsprocedures 1A, 4F en 5F geven na iedere stap een suggestie voor de grootte van de volgende stap.
 Ook bij veel andere dan de genoemde procedures kan men de stap, door middel van hmin = hmax, zelf regelen.
- sigma - i-parameter.
 Een schatting van de spectraalradius of dominante eigenwaarde(n) van de jacobiaan. Deze parameter komt alleen voor in de specialistische NUMAL procedures 11A, 17A - 20A en 22A - 25A.
- out - o-procedure.
 Bij sommige procedures zijn de resultaten hierdoor na iedere integratiestap beschikbaar.

foutmeldingen - De meeste procedures zijn beperkt in hun mogelijkheden tot het signaleren van fouten. Het afbreken van het integratieproces door het gedwongen gebruik van een te kleine integratiestaplengthte (mogelijke oorzaak: h_{min} te groot) geeft de meest voorkomende foutmelding.

2.1.3. Aanbevolen procedures

Tabel 2 geeft via een boomstructuur de aanbevolen procedures voor het oplossen van beginwaardeproblemen voor gewone differentiaalvergelijkingen. Deze aanbevelingen kunnen worden gedaan op grond van

- a. de resultaten beschreven in de testrapporten van HULL et al. [1972], CRANE & FOX [1969] en KROGH [1973];
- b. specifieke kenmerken van het op te lossen probleem, zoals stijfheid en grootte;
- c. de door de gebruiker gewenste nauwkeurigheid van de oplossing.

De punten b. en c. zullen we nader bespreken aan de hand van de ingangen van tabel 2.

n klein/n groot

De tak - *n groot* - slaat op problemen waarvan

- (i) het aantal componenten, n , moeilijkheden geeft met betrekking tot de geheugencapaciteit, ofwel
- (ii) het aantal componenten, n , het gebruik van bepaalde procedures praktisch onmogelijk maakt op grond van daarin optredende $O(n^3)$ en/of $O(n^2)$ processen (bijvoorbeeld LU-decomposities en matrixvermenigvuldigingen).

De overige problemen worden gedefinieerd door *n klein*. De problemen met *n groot* komen meestal uit de hoek van de (gediscretiseerde) partiële differentiaalvergelijkingen.

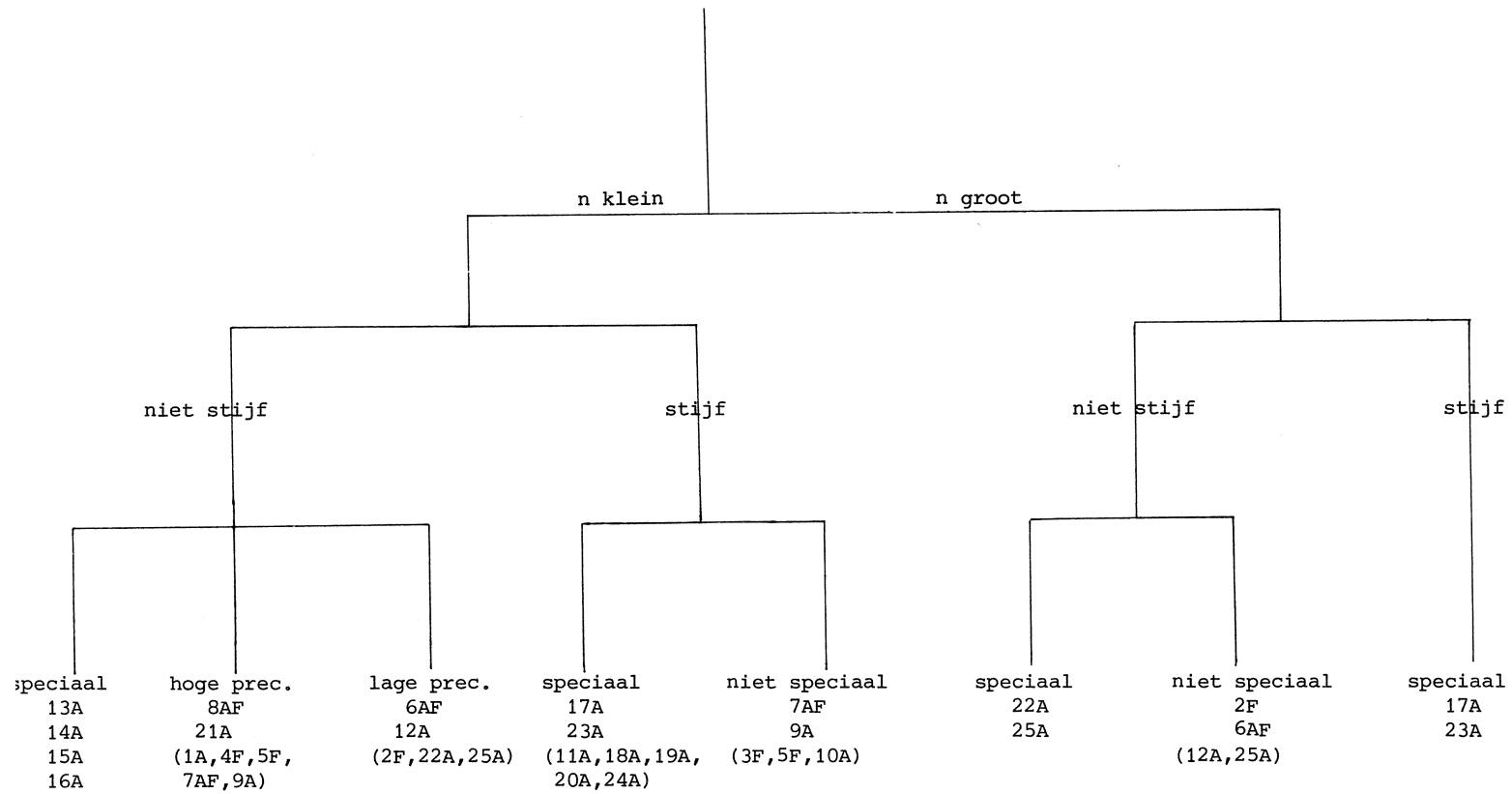
niet stijf/stijf

Stijve problemen worden gekenmerkt door zeer snel variërende componenten in de oplossing (samenhangend met een speciaal eigensysteem van de jacobiaan). De indeling *niet-stijf/stijf* is zinvol omdat stijve problemen praktisch niet op te lossen zijn met "niet-stijve" procedures.

TABEL 2

Aanbevolen programmatuur

beginwaardeprobleem



niet speciaal/speciaal

De kwalificatie *speciaal* slaat enerzijds op de procedures die speciale informatie over het spectrum van de jacobiaan vragen en anderzijds op procedures die speciale eigenschappen bezitten, zoals het kunnen integreren tot het nulpunt van een expressie (13A en 14A) of het direct kunnen oplossen van tweede orde differentiaalvergelijkingen (15A en 16A).

hoge precisie/lage precisie

Omdat de verhouding (afgeleverde precisie) : (hoeveelheid rekenwerk) niet constant is voor een willekeurige procedure en een willekeurig probleem, is het belangrijk om het onderscheid *hoge precisie/lage precisie* te kunnen maken.

Opmerkingen en aanwijzingen

1. Gebruik een kleine h_{min} , en een h_{max} , die niet groter is dan de minimale afstand tussen twee punten waarin u de oplossing wilt weten.
2. Gebruik voor een stijf probleem géén procedure waarvan de beschrijving niet expliciet vermeldt dat die procedure voor stijve problemen geschikt is. Omgekeerd kunt u wel "stijve" procedures op niet-stijve problemen loslaten (b.v. 5F, 7AF en 9A).
3. Als u geen idee heeft van de grootte-orde van de oplossing, dan doet u er verstandig aan om het integratieproces - zo mogelijk - met een relatieve en absolute precisie te sturen.
4. Kies de stuurprecisies niet te groot, maar ook niet onredelijk klein. Een goede stelregel is: niet groter dan 10^{-3} en niet kleiner dan 10^{-10} . De meeste procedures lopen "lekker" bij stuurprecisies in de buurt van 10^{-4} - 10^{-5} .
5. De nauwkeurigheid van de oplossing kunt u controleren door òfwel het probleem enige malen met dezelfde procedure, met verschillende stuurprecisies, op te lossen, òfwel door het probleem met verschillende procedures op te lossen.

2.1.4. VoorbeeldenProbleem 1.

In FRAZHO [1974] worden, door middel van een aantal differentiaalvergelijkingen, simulatiemodellen gegeven voor de groei van twee algensoorten ("groene" en "blauwgroene") onder invloed van anorganische stikstof en

fosfor, de intensiteit van het zonlicht en de watertemperatuur van het meer waarin het proces zich heet af te spelen. Het model dat hier als voorbeeld wordt gebruikt, ziet er uit als volgt:

$$\frac{dA_g}{dt} = [\mu_g(T) f_1(P) f_2(N) + c_1] A_g,$$

$$\frac{dA_{bg}}{dt} = [\mu_{bg}(T) f_1(P) f_3(N) + c_2] A_{bg},$$

(2.1.4.1)

$$\frac{dP}{dt} = P_I - c_3 P - c_4 f_1(P) [\mu_g(T) f_2(N) A_g + \mu_{bg}(T) f_3(N) A_{bg}],$$

$$\frac{dN}{dt} = N_I - c_3 N - c_4 f_1(P) f_2(N) [\mu_g(T) A_g + \mu_{bg}(T) A_{bg}].$$

Hierin zijn:

- A_g , A_{bg} , N en P de concentraties van respectievelijk groene algen, blauw-groene algen, stikstof en fosfor;
- P_I en N_I : fosfor en stikstof toevoer;
 P_I en N_I zijn als (experimentele?) functies van de tijd, t , gegeven in de vorm van grafieken;
- μ_g en μ_{bg} : groeisnelheden van de algen.
 Deze functies van de temperatuur T zijn ook in grafiek-vorm gegeven evenals de afhankelijkheid van T met betrekking tot t (seizoenen!).

In het artikel worden verder de overige functies en constanten van (2.1.4.1), alsook de beginvoorwaarden gegeven.

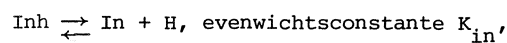
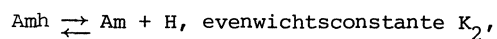
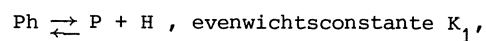
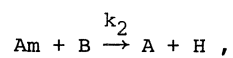
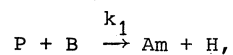
De vraag is hoe de algenconcentraties er over een tijdvak van 8 maanden (1 maart - 1 november) uit zullen zien.

De oplossing is een kromme met een groeiexplosie (voor de groene algen) omstreeks begin juni. In de bijlage staat een programma dat deze kromme als output geeft. Het probleem is niet stijf, maar wel moeilijk te integreren voor een aantal procedures.

Probleem 2.

Om ook een "stijve" methode te illustreren, beschouwen we een chemische reactie met protoneringsevenwichten (de meer chemische kanten

en achtergronden zijn te vinden in BORKENT [1976].



met

P een diamine,

B een bezoylchloride,

Am een tussenprodukt,

A het nuttig produkt,

In een indikator,

Ph, Amh, Inh, geprotoneerde vormen van respectievelijk,

P, Am en In.

De bovenstaande reacties zijn te beschrijven door een beginwaarde-probleem van 9 afhankelijke differentiaalvergelijkingen. Het stelsel is dan ook te herleiden tot het kleinere stelsel (met een bepaalde stof wordt nu de concentratie van die stof bedoeld)

$$\frac{dP}{dt} = -r_1 + r_3,$$

$$\frac{dB}{dt} = -r_1 + r_2,$$

$$(2.1.4.2) \quad \frac{dAm}{dt} = r_1 - r_2 + r_4,$$

$$\frac{dH}{dt} = r_1 + r_2 + r_3 + r_4 + r_5,$$

$$\frac{dA}{dt} = r_2,$$

met

$$\begin{aligned}
r_1 &= k_1 PB, \\
r_2 &= k_2 AmB, \\
r_3 &= k_3 (Ph - PH/K_1), \\
r_4 &= k_4 (Amh - AmH/K_2), \\
r_5 &= k_5 (Inh - InH/K_{in}), \quad k_3, k_4, k_5 \gg k_1, k_2, \\
In + Inh &= In_0, \\
P + Am + A + Ph + Amh &= P_0, \\
B + Am + 2A + Amh &= B_0, \\
Ph + H + Inh &= Am + 2A,
\end{aligned}$$

en, op $t = 0$, P_0 , B_0 en In_0 gegeven.

Het vrijwel direct op evenwicht liggen van de laatste 3 reacties van (2.1.4.2) is kenmerkend voor de stijfheid van dit probleem.

De probleemstellers zijn geïnteresseerd in de concentraties van de verschillende stoffen op $t = i/20$, $i = 1(1)20$. In de bijlage geven we een programma wat de concentraties aan protonen op deze tijdstippen berekent.

Literatuur

- HULL, T.E. et al. [1972], *Comparing numerical methods for ordinary differential equations*, SIAM J. Numer. Anal. 9, 603-637.
- CRANE, P.C. & P.A. FOX [1969], *A comparative study of computer programs for integrating differential equations*, Numerical Mathematics Program Library Project, Bell Telephone Lab..
- KROGH, F.T. [1973], *On testing a subroutine for the numerical integration of ordinary differential equations*, JACM 20, 545-562.
- FRAZHO, D.B. et al. [1974], *Numerical integration aspects of a nutrient utilization ecological problem*, Lecture notes in mathematics 362, 167-182.
- BORKENT, G. et al. [1976], *Kinetics of reactions of aromatic amines and acid chlorides in hexamethylphosphoric acid triamide*, to be published in Rec. Trav. Chim..

Bijlagen

```

PROGRAM ALG(OUTPUT, INALG, TAPE4=INALG)
C   OPLOSSING MILIEUPROBLEEM H.B.V. DASCUR(IMSL)
INTEGER ISYM(100)
REAL X(4),WK(16)
COMMON /DATA/ RBG, RKN, SMALLN, TAU, W, RG, RKP, BIGY
+   /MUBG/ XMUBG(18), FMUBG(18) /MUG/ XMUG(23), FMUG(23)
+   /TEMP/ XTEMP(15), FTEMP(15) /NI/ XNI(18), FNI(18)
+   /PI/ XPI(15), FPI(15)
EXTERNAL F
DATA ISYM, RBG, RKN, SMALLN, TAU, W, RG, RKP, BIGY
+ / 100*1H*, .5, .25, .25, .5, 12., 2., .03, .01/
READ(4, *) (XMUBG(I), I= 1, 18), (FMUBG(I), I= 1, 18),
+ (XMUG(I), I= 1, 23), (FMUG(I), I= 1, 23),
+ (XTEMP(I), I= 1, 15), (FTEMP(I), I= 1, 15),
+ (XNI(I), I= 1, 18), (FNI(I), I= 1, 18),
+ (XPI(I), I= 1, 15), (FPI(I), I= 1, 15)
A= .0 $ B= .125 $ H= 1E+5 $ N= 4
X(1)= X(2)= .5 $ X(3)= .05 $ X(4)= 1.
DO 2 J= 1, 64
CALL DASCUR(F, A, B, H, N, X, WK, IER)
IPOS= IFIX(X(1) * S + .5)
PRINT 1, (ISYM(I), I= 1, IPOS)
1  FORMAT(1X, 100A1)
A= B
2  B= B + .125
END

SUBROUTINE F(X, T, N, XP)
REAL XP(4), X(4)
COMMON /DATA/ RBG, RKN, SMALLN, TAU, W, RG, RKP, BIGY
V1= X(3) / (RKP + X(3)) $ V2= X(4) / (RKN + X(4)) $ V4= FXMUG(T)
V5= FXMUBG(T) $ V6= V4 * X(1) * V2 $ V7= V5 * X(2)
V3= (X(4) + SMALLN) / (RKN + X(4) + SMALLN)
XP(1)= (V4 * V1 * V2 + TAU + RG) * X(1)
XP(2)= (V5 * V1 * V3 + TAU + RBG) * X(2)
XP(3)= PI(T) = X(3) * TAU + BIGY * V1 * (V6 + V7 * V3)
XP(4)= FXNI(T) = X(4) * TAU + V1 * (V6 + V7 * V2) / W
RETURN
END

REAL FUNCTION FXMUBG(X)
COMMON /MUBG/ XMUBG(18), FMUBG(18)
X1= TEMP(X)
IF (X1 .LT. 5.) X1= 5.
IF (X1 .GT. 25.) X1= 25.
DO 1 I= 2, 18
IF (X1 .LE. XMUBG(I)) GO TO 2
1  CONTINUE
2  FXMUBG= ((X1 - XMUBG(I=1)) * FMUBG(I) + (X1 - XMUBG(I))
+ * FMUBG(I=1)) / (XMUBG(I) - XMUBG(I=1))
RETURN
END

```

```

      REAL FUNCTION FXMUG(X)
      COMMON /MUG/ XMUG(23), FMUG(23)
      X1= TEMP(X)
      IF (X1 .LT. 5.) X1= 5.
      IF (X1 .GT. 25.) X1= 25.
      DO 1 I= 2, 23
      IF (X1 .LE. XMUG(I)) GO TO 2
1      CONTINUE
2      FXMUG= ((X1 + XMUG(I-1)) * FMUG(I) + (X1 - XMUG(I))
+          * FMUG(I-1)) / (XMUG(I) + XMUG(I-1))
      RETURN
      END

      REAL FUNCTION TEMP(X)
      COMMON /TEMP/ XTEMP(15), FTEMP(15)
      DO 1 I= 2, 15
      IF (X .LE. XTEMP(I)) GO TO 2
1      CONTINUE
2      TEMP= ((X + XTEMP(I-1)) * FTEMP(I) + (X - XTEMP(I))
+          * FTEMP(I-1)) / (XTEMP(I) + XTEMP(I-1))
      RETURN
      END

      REAL FUNCTION FXNI(X)
      COMMON /NI/ XNI(18), FNI(18)
      DO 1 I= 2, 18
      IF (X .LE. XNI(I)) GO TO 2
1      CONTINUE
2      FXNI= ((X + XNI(I-1)) * FNI(I) + (X - XNI(I)) * FNI(I-1)) /
+          (XNI(I) + XNI(I-1))
      RETURN
      END

      REAL FUNCTION PI(X)
      COMMON /PI/ XPI(15), FPI(15)
      DO 1 I= 2, 15
      IF (X .LE. XPI(I)) GO TO 2
1      CONTINUE
2      PI= ((X + XPI(I-1)) * FPI(I) + (X - XPI(I)) * FPI(I-1)) /
+          (XPI(I) + XPI(I-1))
      RETURN
      END

```



```

"BEGIN" "COMMENT" OPLOSSING CHEMISCHE REACTIES M.B.V. MULTISTEP(NUMAL);
  "INTEGER" I, NFE;
  "REAL" K1, K2, K3, K4, K5, KK1, KK2, KKIN, X, XE,
    R1, R2, R3, R4, R5, P, B, AM, H, A, PH, AMH, INH, IN,
    P0, B0, IN0;
  "ARRAY" Y[1 : 30], SAVE[=38 : 30], JAC[1 : 5, 1 : 5], YMAX[1 : 5];
  "BOOLEAN" FI;

  "PROCEDURE" DER(DY); "ARRAY" DY;
  "BEGIN" P:= Y[1]; B:= Y[2]; AM:= Y[3]; H:= Y[4]; A:= Y[5];
    AMH:= 2 * A + B0 - AM - B; PH:= P0 - P - AM - A - AMH;
    INH:= 2 * A + AM - PH - H; IN:= IN0 - INH;
    R1:=K1 * P * B; R2:= K2 * AM * B; R3:= (-P * H /KK1 + PH) * K3;
    R4:=(-AM * H / KK2 + AMH) * K4; R5:=(-IN * H / KKIN + INH)* K5;
    DY[1]:= R3 - R1; DY[2]:= - R1 - R2; DY[3]:= R1 - R2 + R4;
    DY[4]:= R1 + R2 + R3 + R4 + R5; DY[5]:= R2; NFE:= NFE + 1;
  "END" DER;

  "PROCEDURE" OUT(H, K); "VALUE" H, K; "REAL" H; "INTEGER" K;
  "IF" SAVE[= 1] "= 0" "THEN"
  "BEGIN" OUTPUT(61, "("("SERIOUS TROUBLES ENCOUNTERED AT X ="),
    ZD,3D, /"), X); "GOTO" ESC
  "END";

  "PROCEDURE" MULTISTEP(PARS); "CODE" 33080;
  P0:= .0175; B0:= .0152; IN0:= "=5;
  I:= 1; "FOR" H:= P0, B0, 0, 0, 0 "DO"
  "BEGIN" Y[I]:= H; YMAX[I]:= 1; I:= I + 1 "END";
  K1:= 5000; K2:= 2060; KK1:= .244"-4; KK2:= .358"-4; KKIN:=.3437"-3;
  K3:= K4:= K5:= "6;
  X:= 0; NFE:= 0;
  OUTPUT(61, "("(" TIME CONCENTR. H+"), /"), X);
  "FOR" XE:= .05, XE + .05 "WHILE" XE <= 1.01 "DO"
  "BEGIN" FI:= XE = .05;
    MULTISTEP(X, XE, Y, "=8, .05, YMAX, "=6, FI, SAVE,
      DER, "FALSE", JAC, "TRUE", 5, OUT);
    OUTPUT(61, "(" 2ZD,3D, 4B, =D,3D"+D, /"), X, Y[4])
  "END";
  OUTPUT(61, "("(/, "(" NUMBER OF FUNCTION EVALUATIONS :", 3ZD, /,
    "(" LOCAL ERROR BOUND EXCEEDED :", 3ZD, "(" TIMES"), /"),
    NFE, SAVE[=2]);
  "END";
  "END";

```

TIME	CONCENTR, H+
0.050	8.653" ⁻⁵
0.100	1.749" ⁻⁴
0.150	2.642" ⁻⁴
0.200	3.504" ⁻⁴
0.250	4.309" ⁻⁴
0.300	5.044" ⁻⁴
0.350	5.710" ⁻⁴
0.400	6.310" ⁻⁴
0.450	6.852" ⁻⁴
0.500	7.342" ⁻⁴
0.550	7.786" ⁻⁴
0.600	8.191" ⁻⁴
0.650	8.560" ⁻⁴
0.700	8.899" ⁻⁴
0.750	9.210" ⁻⁴
0.800	9.496" ⁻⁴
0.850	9.761" ⁻⁴
0.900	1.001" ⁻³
0.950	1.023" ⁻³
1.000	1.044" ⁻³

NUMBER OF FUNCTION EVALUATIONS ; 464
LOCAL ERROR BOUND EXCEEDED ; 0 TIMES

2. BEGINWAARDE- EN BEGIN-RANDWAARDEPROBLEMEN

2.2. Begin-randwaardeproblemen voor partiële differentiaalvergelijkingen

door P.J. van der Houwen
(Mathematisch Centrum)

2.2.1 Inleiding

De numerieke oplossing van begin-randwaardeproblemen voor partiële differentiaalvergelijkingen is een zeer gevarieerd onderwerp dat nog volop in ontwikkeling is. Er zijn tientallen oplossingsstechnieken ontwikkeld en dit aantal groeit nog steeds. Uiteraard is het onmogelijk om hier een overzicht van al deze algoritmen te geven, te meer daar deze algoritmen veelal voor precies één probleem ontwikkeld zijn. Numerieke programmatuur voor partiële differentiaalvergelijkingen is dan ook (nog) vrij zeldzaam; het is weinig zinvol voor één enkel probleem een algoritme in een programmatheek op te nemen en uitvoerig te documenteren, tenzij het probleem in kwestie van voldoende importantie is, dat wil zeggen dat anderen dan alleen de auteur van het algoritme, hetzelfde probleem, met bijvoorbeeld andere begin- en randvoorwaarden, ook willen oplossen. In het algemeen echter zou men een algoritme pas dan in een programmatheek willen opnemen wanneer een voldoende grote klasse van begin-randwaardeproblemen hiermee opgelost kan worden; maar hoe groter de toepasbaarheid, hoe geringer de efficiëntie en daarmee desto groter de neiging van de gebruiker om of het zelf maar te programmeren of naar een numericus te stappen om hem de zaak te laten opknappen. Hoe het ook zij, geen van de vier programmatheken waaraan dit colloquium gewijd is, hebben programmatuur waarmee *rechtstreeks* begin-randwaardeproblemen opgelost kunnen worden. (Voor de volledigheid willen we hier nog wel wijzen op enkele programmatuurpakketten die geen deel uitmaken van een grotere programmatheek en speciaal ontwikkeld zijn voor bepaalde klassen van partiële differentiaalvergelijkingen; het betreft de pakketten van MORRIS en SCHIESSER [1968], CANDENAS en KARPLUS [1970], ZELLNER [1970], SINCOVEC en MADSEN [1975] en van COHEN en GROSSMAN [1975].) Het ontbreken van partiële differentiaalvergelijkingen-programmatuur in een programmatheek wil niet zeggen dat dit soort problemen dan maar apart geprogrammeerd moet worden. In deze voordracht zullen we een methode bespreken waarmee een begin-randwaardeprobleem tot een beginwaardeprobleem voor gewone differentiaalvergelijkingen gereduceerd kan worden, zodat we dan alleen nog maar een programmatheek met goede "gewone differentiaalvergelijkingen-integratoren" nodig hebben.

2.2.2 Concrete praktijkproblemen

Aan de hand van een drietal praktijkproblemen willen we laten zien hoe men toch met behulp van de programmatheken ACCULIB, IMSL, NAG en NUMAL niet-triviale problemen kan oplossen wanneer we zelf ook een "klein beetje

werk willen verzetten". In deze paragraaf wordt een korte bespreking gegeven van de gekozen praktijkproblemen. Het eerste probleem betreft een niet-lineaire warmte-diffusie in een staaf waarin aanvankelijk een temperatuursprong voorkomt. Dit probleem is afkomstig van het FOM-laboratorium en is op het MC uitvoerig bestudeerd. Het tweede probleem is ontleend aan HOUGHTON en KASAHARA [1968], genoemd in SINCOVEC en MADSEN [1975], en beschrijft de niet-lineaire stroming over een geïsoleerde barrière in een rivierbedding. Het derde probleem, de voorspelling van de waterstanden op de Noordzee, is in het kader van de Delta-commissie ingesteld na de stormramp van 1953, diepgaand onderzocht op het MC, zowel wat de analytische als de numerieke aspecten betreft.

2.2.2.1 Niet-lineaire diffusie met discontinue beginvoorwaarden

Gegeven de één-dimensionale, parabolische differentiaalvergelijking

$$(2.2.2.1) \quad \frac{\partial T}{\partial t} = (\alpha T + \beta) \left[\frac{\partial^2}{\partial x^2} + \frac{1}{x} \frac{\partial}{\partial x} \right] T$$

voor alle niet-negatieve waarden van de plaatsvariabele x en de tijdsvariabele t , met de randvoorwaarden

$$(2.2.2.2) \quad \frac{\partial T}{\partial x}(t, 0) = 0$$

$$, 0 \leq t \leq \infty$$

$$T(t, \infty) = 0$$

en de beginvoorwaarde

$$(2.2.2.3) \quad T(0, x) = \begin{cases} 1 & \text{voor } 0 \leq x \leq 1 \\ 0 & \text{voor } x > 1 \end{cases}.$$

Gevraagd de oplossing van (2.2.2.1) - (2.2.2.3) met een nauwkeurigheid van 1% voor een reeks waarden van $\alpha < 0$ en $\beta > 0$ voor $0 \leq x \leq 2$ en tot het tijdstip waarop $T(t, 0) \cong 2 T(t, 2)$.

2.2.2.2 Niet-lineaire stroming over een parabolische drempel

Gegeven het ééndimensionale stelsel van hyperbolische differentiaalvergelijkingen

$$(2.2.2.4) \quad \begin{aligned} \frac{\partial u}{\partial t} &= -u \frac{\partial u}{\partial x} - g \frac{\partial}{\partial x}(h+b) \\ , 0 \leq t \leq 1.83, \quad |x| &\leq 400 \\ \frac{\partial h}{\partial t} &= -\frac{\partial}{\partial x}(hu) \end{aligned}$$

waarin u de horizontale snelheid, h de diepte, b de bedding, x de coördinaat langs de rivier, t de tijd en g de versnelling van de zwaartekracht ($g = 980 \text{ cm/sec}^2$) voorstelt (zie SINCOVEC en MADSEN [1975]); de functie b wordt gegeven door

$$(2.2.2.5) \quad b(x) = \max \left(0, 10 - 10 \left(\frac{x}{40} \right)^2 \right),$$

de beginvoorwaarden door

$$(2.2.2.6) \quad u(0, x) = 40, \quad h(0, x) = 20 - b(x)$$

en de randvoorwaarden door

$$(2.2.2.7) \quad u(t, -400) = u(t, 400) = 40, \quad h(t, -400) = h(t, 400) = 20.$$

Gevraagd de oplossing van (2.2.2.4) - (2.2.2.7) in de rechthoek $|x| \leq 400, 0 \leq t \leq 1.83$ met een nauwkeurigheid van 1%.

2.2.2.3 Gelineariseerd Noordzeemodel

Gegeven het stelsel 2-dimensionale, hyperbolische vergelijkingen

$$(2.2.2.8) \quad \begin{aligned} \frac{\partial u}{\partial t} &= -\lambda u + \omega v - g \frac{\partial}{\partial x} z + f_x, \\ \frac{\partial v}{\partial t} &= -\omega u - \lambda v - g \frac{\partial}{\partial y} z + f_y, \\ \frac{\partial z}{\partial t} &= -h \frac{\partial}{\partial x} u - h \frac{\partial}{\partial y} v, \end{aligned}$$

waarin z en h respectivelijk de verhoging en de diepte van de zee in rust, u en v de horizontale snelheidscomponenten, λ de bodemwrijvingscoëfficiënt ($\lambda = 25 \cdot 10^{-6}/\text{sec}$), ω de Coriolisparameter ($\omega = 125 \cdot 10^{-6}/\text{sec}$), g de versnelling van de zwaartekracht ($g = 9.8 \text{ m/sec}^2$), f_x en f_y de horizontale componenten van de door de wind uitgeoefende schuifkracht, x en y de plaatscoördinaten en t de tijdsvariabele voorstellen; de randvoorwaarden zijn

$$\begin{aligned} z(t, x, 8 \cdot 10^5) &= 0 \\ v(t, x, 0) &= 0 \quad \text{voor } 0 \leq x \leq 4 \cdot 10^5 \\ (2.2.2.9) \quad u(t, 0, y) &= u(t, 4 \cdot 10^5, y) = 0 \quad \text{voor } 0 \leq y \leq 8 \cdot 10^5 \end{aligned}$$

en de beginsvoorwaarden

$$(2.2.2.10) \quad u(0, x, y) = v(0, x, y) = z(0, x, y) = 0.$$

Gevraagd de oplossing van (2.2.2.8) - (2.2.2.10) in het gebied $0 \leq x \leq 4 \cdot 10^5$, $0 \leq y \leq 8 \cdot 10^5$, $0 \leq t \leq 36 \cdot 10^3$ voor het windveld

$$(2.2.2.11) \quad f_x = 0, \quad f_y = \frac{10^{-4}}{h}$$

en de dieptefunctie

$$(2.2.2.12) \quad h = \left[40 - \frac{15x}{2 \cdot 10^5} \right] \cdot \left[1 + \left(\frac{y}{8 \cdot 10^5} \right)^2 \right].$$

Gevraagde nauwkeurigheid 10%.

2.2.3. Semi-discretisatie

Onder *semi-discretisatie* (ook wel *partiële discretisatie* of de *methode der lijnen* genoemd) verstaat men de vervanging van het door de plaatsvariabelen doorlopen gebied door een rooster met roosterpunten \vec{x}_j , de vervanging van de afhankelijke variabelen door op de roosterpunten \vec{x}_j gedefinieerde roosterfuncties, en tenslotte de vervanging van alle differentiaties naar plaatsvariabelen door op het rooster gedefinieerde differentiaalquotienten. Bijvoorbeeld wanneer men in het (x, y) -vlak de roosterpunten

$$(2.2.3.1) \quad \vec{x}_j = (x_k, y_\ell) = (k\Delta x, \ell\Delta y), \quad j = (k, \ell),$$

waarin k en ℓ gehele getallen, Δx en Δy gegeven roosterpunt-afstanden zijn, definieert dan zou men $\partial/\partial x$ en $\partial/\partial y$ kunnen vervangen door differentie-operatoren $[\partial/\partial x]$ en $[\partial/\partial y]$ gedefinieerd door

$$(2.2.3.2) \quad \left[\frac{\partial}{\partial x} \right] f(x_k, y_\ell) = \frac{f(x_k + \Delta x, y_\ell) - f(x_k - \Delta x, y_\ell)}{2\Delta x},$$

en iets analoogs voor $[\partial/\partial y]$.

Op deze wijze kan een begin-randwaardeprobleem voor een *partiële* differentiaalvergelijking in een beginwaardeprobleem voor een stelsel *gewone* differentiaalvergelijkingen omgezet worden. We zullen dit uitvoeren voor de drie in de vorige paragraaf genoemde problemen.

2.2.3.1 Het diffusie-probleem

In de oorspronkelijke behandeling van dit probleem werd de partiële differentiaalvergelijking eerst getransformeerd met behulp van de transformatiefunctie

$$(2.2.3.3) \quad \begin{aligned} z &= 3x - \frac{2}{5\pi} \sin\left(5\pi\left(x - \frac{4}{5}\right)\right) - \frac{8}{5} \quad \text{voor } |x-1| \leq \frac{1}{5}, \\ z &= x \quad \text{voor } x \leq \frac{4}{5}, \\ z &= x + \frac{4}{5} \quad \text{voor } x \geq \frac{6}{5}, \end{aligned}$$

tot de vergelijking

$$(2.2.3.4) \quad \frac{\partial T}{\partial t} = (\alpha T + \beta) \left[\left(\frac{dz}{dx} \right)^2 \frac{\partial^2}{\partial z^2} + \left(\frac{d^2 z}{dx^2} + \frac{1}{x} \frac{dz}{dx} \right) \frac{\partial}{\partial z} \right] T.$$

Hiermee wordt bereikt dat een equidistant rooster op de z -as correspondeert met een zeer fijn rooster in de buurt het kritische punt $x = 1$ op de x -as. Verder zullen we in de buurt van het kritische punt $z = 7/5$ (i.e. $x = 1$) de beginvoorwaarde vervangen door

$$(2.2.3.5) \quad T(0, x(z)) = \frac{1}{2} \left[1 + \cos\left(\frac{5z-6}{2}\pi\right) \right], \quad \frac{6}{5} \leq z \leq \frac{8}{5}.$$

We zijn nu zover om de semi-discretisatie uit te voeren: we vervangen de continue variabele z door de discrete variabele $j \Delta z$, waarin Δz de roosterpunt-afstand is. Verder schrijven we kortheidshalve

$$\begin{aligned} \left(\frac{dz}{dx}\right)^2 &= a(z), \quad a(j\Delta z) = a_j, \\ (2.2.3.6) \quad \frac{d^2 z}{dx^2} + \frac{1}{x} \frac{dz}{dx} &= b(z), \quad b(j\Delta z) = b_j, \\ T(t, x(j\Delta z)) &= T_j(t) \end{aligned}$$

en benaderen we in $j \Delta z$, $\partial T / \partial z$ en $\partial^2 T / \partial z^2$ door respectievelijk

$$(2.2.3.7) \quad \frac{T_{j+1} - T_{j-1}}{2\Delta z} \text{ en } \frac{T_{j+1} - 2T_j + T_{j-1}}{(\Delta z)^2}.$$

We vinden dan het volgende stelsel gewone differentiaalvergelijkingen:

$$\begin{aligned} \frac{dT_0}{dt} &= \frac{4}{(\Delta z)^2} (\alpha T_0 + \beta) a_0 (T_1 - T_0), \\ \frac{dT_j}{dt} &= \frac{1}{(\Delta z)^2} (\alpha T_j + \beta) [a_j - \frac{1}{2} \Delta z b_j] T_{j-1} - 2a_j T_j + (a_j + \frac{1}{2} \Delta z b_j) T_{j+1}, \quad j = 1, 2, \dots \end{aligned}$$

Dit is een oneindig groot stelsel; in de praktijk integreert men uiteraard alleen de relevante vergelijkingen, dat wil zeggen wanneer j zo groot is ($j\Delta z$ zo groot) dat T_j beneden een bepaalde drempel gezakt, worden geen verdere differentiaalvergelijkingen meer beschouwd. In het begin van het integratieproces is het aantal vergelijkingen nog gering (nl. $8/5\Delta z$) maar wordt groter naarmate de warmte zich naar rechts uitbreidt.

2.2.3.2 Het drempel-probleem

Kiezen we een uniform rooster met roosterpunten $j \Delta x$ langs de rivier, dan kan (2.2.2.4) gediscretiseerd worden tot het stelsel

$$\frac{du_{-j_0}}{dt} = - \frac{u_{-j_0}}{2\Delta x} (u_{-j_0+1}^{-40}) - \frac{g}{2\Delta x} (h_{-j_0-1} + b_{-j_0+1}^{-20-b_{-j_0-1}}),$$

$$\frac{dh_{-j_0}}{dt} = - \frac{1}{2\Delta x} (h_{-j_0+1} u_{-j_0+1}^{-800}),$$

$$\frac{du_j}{dt} = - \frac{u_j}{2\Delta x} (u_{j+1} - u_{j-1}) - \frac{g}{2\Delta x} (h_{j+1} + b_{j+1} - h_{j-1} - b_{j-1}),$$

(2.2.3.9)

$$\frac{dh_j}{dt} = - \frac{1}{2\Delta x} (h_{j+1} u_{j+1} - h_{j-1} u_{j-1}),$$

$$\frac{du_{j_0}}{dt} = - \frac{u_{j_0}}{2\Delta x} (40 - u_{j_0-1}) - \frac{g}{2\Delta x} (20 + b_{j_0+1} - h_{j_0-1} - b_{j_0-1}),$$

$$\frac{dh_{j_0}}{dt} = - \frac{1}{2\Delta x} (800 - h_{j_0-1} u_{j_0-1}).$$

Hierin is $j_0 = \frac{400 - \Delta x}{\Delta x}$ en loopt j van $-j_0 + 1$ tot en met $j_0 - 1$.

2.2.3.3 Het Noordzee-probleem

Kies in het (x, y) -vlak een rooster met vierkante maten van Δx by Δx meter; om de notatie wat compacter te maken definiëren we de getallen

$$K = \frac{4 \cdot 10^5}{\Delta x}, \quad L = \frac{8 \cdot 10^5}{\Delta x}$$

en de schuif-operatoren X_{\pm} en Y_{\pm} gedefinieerd door

$$X_{\pm} u_{k,l} = u_{k\pm 1, l}$$

$$Y_{\pm} u_{k,l} = u_{k, l\pm 1}$$

waarin u de numerieke benadering voor $u(k\Delta x, l\Delta x)$ voorstelt.

Het begin-randwaardeprobleem (2.2.2.8) - (2.2.2.10) kan nu benaderd worden door het stelsel differentiaalvergelijkingen:

$$(2.2.3.10a) \text{ Interne punten } \quad \frac{du}{dt} = -\lambda u + \omega v - \frac{g}{2\Delta x} (X_+ - X_-)z + f_x,$$

$$\begin{aligned} (k=1,2,\dots,K-1, \quad \frac{dv}{dt} &= -\omega u - \lambda v - \frac{g}{2\Delta x} (Y_+ - Y_-) z + f_y, \\ \ell=1,2,\dots,L-1) \quad \frac{dz}{dt} &= -\frac{h}{2\Delta x} ((X_+ - X_-) u + (Y_+ - Y_-) v); \end{aligned}$$

(2.2.3.10b) *Hoekpunten* $\frac{du}{dt} = \frac{dv_{0,0}}{dt} = \frac{dv_{K,0}}{dt} = 0, \quad \frac{dv_{0,L}}{dt} \text{ en } \frac{dv_{K,L}}{dt} \text{ analoog}$
aan de West- en Oostkust formules,

$$(k=0, K, \quad \frac{dz_{0,0}}{dt} = -\frac{h_{0,0}}{\Delta x} (u_{1,0} + v_{0,1}),$$

$$\ell=0, L) \quad \frac{dz_{K,0}}{dt} = -\frac{h_{K,0}}{\Delta x} (-u_{K-1,0} + v_{K,1}),$$

$$\frac{dz_{0,L}}{dt} = \frac{dz_{K,L}}{dt} = 0;$$

(2.2.3.10c) *Zuidkust* $\frac{du}{dt} = -\lambda u - \frac{g}{2\Delta x} (X_+ - X_-) z + f_x,$

$$(k=1,\dots,K-1, \quad \frac{dv}{dt} = 0,$$

$$\ell=0) \quad \frac{dz}{dt} = -\frac{h}{2\Delta x} ((X_+ - X_-) u + 2Y_+ v);$$

(2.2.3.10d) *Westkust* $\frac{du}{dt} = 0,$

$$(k=0, \quad \frac{dv}{dt} = -\lambda v - \frac{g}{2\Delta x} (Y_+ - Y_-) z + f_y,$$

$$\ell=1,\dots,L-1) \quad \frac{dz}{dt} = -\frac{h}{2\Delta x} (2X_+ u + (Y_+ - Y_-) v);$$

(2.2.3.10e) *Oostkust* $\frac{du}{dt} = 0,$

$$(k = K, \quad \frac{dv}{dt} = -\lambda v - \frac{g}{2\Delta x} (Y_+ - Y_-) z + f_y,$$

$$\ell=1,\dots,L-1) \quad \frac{dz}{dt} = -\frac{h}{2\Delta x} (-2X_- u + (Y_+ - Y_-) v);$$

(2.2.3.10f) *Oceaan-punten* $\frac{du}{dt} = -\lambda u + \omega v - \frac{g}{2\Delta x} (X_+ - X_-) z + f_x,$

$$(k=1,\dots,K-1, \quad \frac{dv}{dt} = -\omega u - \lambda v + \frac{g}{2\Delta x} Y_- z + f_y,$$

$$\ell=L) \quad \frac{dz}{dt} = 0.$$

2.2.4. Kenmerken van door semi-discretisatie verkregen stelsels

Een gemeenschappelijk kenmerk van de stelsels (2.2.3.8), (2.2.3.9) en (2.2.3.10) is het relatief grote aantal vergelijkingen. In het *diffusie-probleem* zal bij een maaswijdte van $\Delta z = 1/10$ (dan wordt de beginvoorwaarde in het kritische interval $6/5 \leq z \leq 8/5$ door 5 punten gepresenteerd), het aantal differentiaalvergelijkingen minimaal 16 bedragen en kan oplopen tot 100 vergelijkingen. In het *drempel-probleem* krijgen we voor $\Delta x = 1$ een stelsel van 797 differentiaalvergelijkingen en het Noordzee-probleem telt voor mazen van 10 bij 10 km, $3(K+1)(L+1) = 9963$ differentiaalvergelijkingen. Een tweede kenmerk is dat het spectrum van de Jacobiaan van door partiële discretisatie verkregen stelsels meestal òf in een strook langs de negatieve as (parabolische vergelijkingen) òf in een strook langs de imaginaire as (hyperbolische vergelijkingen) ligt. We zullen dit nagaan voor de stelsels (2.2.3.8) en (2.2.3.9); voor het stelsel (2.2.3.10) verwijzen we naar FISCHER [1959].

2.2.4.1. Het diffusie-probleem

De matrix van partiële afgeleiden van het rechterlid van 2.2.3.8 (de Jacobiaan van het stelsel) is van de vorm:

$$(2.2.4.1.) \frac{1}{(\Delta z)^2} \begin{pmatrix} -4a_0(d_0 + \alpha(T_0 - T_1)) & 4a_0d_0 & 0 & 0 & 0 & \dots \\ d_1c_1^- & -2a_1d_1 + e_1 & d_1c_1^+ & 0 & 0 & \dots \\ 0 & d_2c_2^- & -2a_2d_2 + e_2 & d_2c_2^+ & 0 & \dots \\ 0 & 0 & \ddots & \ddots & \ddots & \ddots \end{pmatrix},$$

waarin

$$c_j^\pm = a_j \pm \frac{1}{2} \Delta z b_j,$$

$$d_j = \alpha T_j + \beta,$$

$$e_j = \alpha(c_j^- T_{j-1} - 2a_j T_j + c_j^+ T_{j+1}).$$

We hebben te maken met een tridiagonale matrix; hiervan is bekend dat de

eigenwaarden reëel zijn wanneer de neven-diagonaalelementen allen hetzelfde teken hebben (zie e.g. Wilkinson [1968, p. 333]). Aangezien de diffusie-coëfficiënt d_j positief verondersteld mag worden gaan we na hoe c_j^\pm zich gedraagt; volgens de definitie van c_j^\pm geldt in elk geval dat alle c_j^\pm positief zijn als $\Delta z \rightarrow 0$ ($a = (\partial z / \partial x)^2$), zodat het voor de hand ligt om de voorwaarde

$$(2.2.4.2) \quad \Delta z < 2 \frac{a_j}{|b_j|}, \quad j = 0, 1, 2, \dots,$$

te stellen. Het is eenvoudig na te gaan dat in het geval (2.2.3.3) aan (2.2.4.2) zeker voldaan is als $\Delta z \leq 1/10$; zodat conditie (2.2.4.2) slechts een geringe beperking voor het rooster vormt.

Een verdere analyse van de Jacobiaan (2.2.4.1) leert dat de diagonaalelementen als negatieve getallen beschouwd kunnen worden omdat $T_0 - T_1$ en de termen e_j verwaarloosd kunnen worden ten op zichte van $4 a_0 d_0$ en $2 a_j d_j$. Toepassing van de stelling van Gerschgorin leert dan dat de eigenwaarden van (2.2.4.1) ongeveer in het interval

$$(2.2.4.3) \quad \left[-4 \frac{\max\{2d_0 a_0, d_j a_j\}}{(\Delta z)^2}, 0 \right]$$

liggen. Substitutie van a_j en d_j geeft het "veilige" eigenwaarde-interval

$$(2.2.4.3') \quad \left[-\frac{16\beta}{(\Delta z)^2}, 0 \right].$$

2.2.4.2. Het drempelprobleem

Uit (2.2.3.9) volgt direct

$$(2.2.4.4) \quad J = -\frac{1}{2\Delta x} \begin{pmatrix} J_{11} & J_{12} \\ J_{21} & J_{22} \end{pmatrix},$$

waarin

$$J_{11} = \begin{pmatrix} u_{1-j_0}^{-40} & u_{-j_0} & 0 & \dots & 0 \\ -u_{1-j_0} & u_{2-j_0} & -u_{-j_0} & u_{1-j_0} & \dots & 0 \\ & & \dots & & & \\ 0 & \dots & -u_{j_0-1} & u_{j_0} & -u_{j_0-2} & u_{j_0-1} \\ 0 & \dots & 0 & -u_{j_0} & & 40-u_{j_0-1} \end{pmatrix}$$

$$J_{12} = \begin{pmatrix} 0 & g & 0 & \dots & 0 \\ -g & 0 & g & \dots & 0 \\ & & \dots & & \\ 0 & \dots & -g & 0 & g \\ 0 & \dots & 0 & -g & 0 \end{pmatrix},$$

$$J_{21} = \begin{pmatrix} 0 & h_{1-j_0} & 0 & \dots & 0 \\ -h_{-j_0} & 0 & h_{2-j_0} & \dots & 0 \\ & & \dots & & \\ 0 & \dots & -h_{j_0-2} & 0 & h_{j_0-2} \\ 0 & \dots & 0 & -h_{j_0-1} & 0 \end{pmatrix},$$

en waarin J_{22} uit J_{21} afgeleid kan worden door h door u te vervangen.

Omdat de roosterfuncties u_j en h_j als langzaam met j variërende functies beschouwd kunnen worden (uiteraard voor een voldoende fijn rooster) zijn de matrices J_{rk} "bijna" scheefsymmetrisch. Men kan aantonen dat voor *constante roosterfuncties* u_j en h_j de eigenwaarden van dit type matrices *zuiver imaginair* zijn (methode van constante coëfficiënten van VON NEUMANN (zie RICHTMYER-MORTON [1967])); de eigenwaarden van J blijken namelijk voor u_j en h_j constant dezelfde te zijn als die van de matrix

$$- \frac{i \sin(\gamma \Delta x)}{\Delta x} \begin{pmatrix} u & g \\ h & u \end{pmatrix},$$

waarin γ de waarden $\pm 1, \pm 2, \dots$ doorloopt. We vinden voor de eigenwaarden δ :

$$(2.2.4.5) \quad \delta = - \frac{u \pm \sqrt{gh}}{\Delta x} i \sin(\gamma \Delta x),$$

waaruit het imaginaire eigenwaarde-interval

$$(2.2.4.6) \quad \left[-\frac{|u|+\sqrt{gh}}{\Delta x} i, \frac{|u|+\sqrt{gh}}{\Delta x} i \right]$$

volgt. Voor niet-constante roosterfuncties neemt men aan dat de eigenwaarden van J "ongeveer" in het grootste van de door de methode der constante coëfficiënten verkregen intervallen liggen.

2.2.4.3. Het Noordzee-probleem

Op dezelfde wijze als voor het drempel-probleem kan men afleiden dat de eigenwaarden bij het Noordzee-probleem (2.2.3.10) "ongeveer" liggen in het grootste van de lokale intervallen (vergelijk FISCHER [1959])

$$(2.2.4.7) \quad \left[-\frac{1}{2} \lambda - \frac{\sqrt{2gh+(\omega^2-\frac{1}{4}\lambda^2)\Delta^2x}}{\Delta x} i, \frac{1}{2} \lambda + \frac{\sqrt{2gh+(\omega^2-\frac{1}{4}\lambda^2)\Delta^2x}}{\Delta x} i \right].$$

2.2.5. Numerieke integratie van de stelsels differentiaalvergelijkingen

Bij de keuze van een routine uit de bibliotheken ACCU, IMSL, NAG en NUMAL voor de integratie van de drie gestelde problemen zijn de voornaamste richtlijnen:

1. het betreft *grote* tot *zeer grote* stelsels
2. de gevraagde nauwkeurigheid is *niet meer dan 1%*.

Hiermee vallen in principe alle *impliciete* of *semi-impliciete* en alle *hoge orde* methoden af. Uit de documentatie van de genoemde programmatheken blijkt dan dat overblijven de in onderstaande tabel genoemde routines.

TABEL 1

Routines beschikbaar voor de integratie van de stelsels
(2.2.3.8), (2.2.3.9) en (2.2.3.10)

Programmatheek	Routine	Geheugen	Geschikte problemen
IMSL	DASCRU = 2F	5n	Diffusie; Drempel
NAG	D02A AA(F) = 6 AF BA(F)	8n	Diffusie; Drempel
NUMAL	EXP.FIT.TAY. = 17A	3n	
	MOD.TAY. = 22A	2n	
	EFRK = 23A	2n	
	ARK(MAT) = 25A	3n	Diffusie; Drempel; Zee

Deze routines komen overeen met degenen die in de ochtendbijeenkomst genoemd werden (in de routine-kolom is de codering uit hoofdstuk 2.1 aan de routinenaam toegevoegd). We zullen deze routines afzonderlijk nader toelichten.

2.2.5.1. De routine DASCRU

DASCRU is gebaseerd op de *Merson-algorithme*, een 4^e orde Runge-Kuttamethode met ingebedde foutenformule. Hiervoor zijn 5 rechterlid-evaluaties per stap nodig; de algorithme is vrij optimaal geïmplementeerd en vraagt slechts ruimte voor 5n plaatsen (n is het aantal differentiaal-vergelijkingen) plus nog wat werkruimte. Het diffusie- en het drempel-probleem met respectievelijk minder dan 100 en ongeveer 800 vergelijkingen kan zonder moeite geïntegreerd worden. Omdat DASCRU niet geschreven is voor stelsels afkomstig van partiele differentiaalvergelijkingen is de routine wel een wat dure integratiemethode voor problemen als het diffusie- en drempelprobleem; zo is de stapkeuze-strategie, gebaseerd op een referentie-oplossing, wat luxe voor ons bijzondere geval en zou een stapkeuze op grond van het stabiliteitsgebied van de algorithme veel tijd uitsparen. Ook de orde 4 is rijkelijk hoog voor een gevraagde nauwkeurigheid van 1%. In tabel 2.2.2 zijn wat numerieke resultaten opgenomen; deze zijn ontleend aan experimenten uitgevoerd door J. Petiet op de CYBER van SARA. Wat het Noordzeeprobleem met zijn ongeveer 10.000 vergelijkingen betreft, wij

hebben de voorkeur gegeven dit probleem met een meer op partiële differentiaalvergelijkingen gerichte routine te integreren (zie paragraaf 2.2.5.4).

2.2.5.2. De routine D02AAA(F)/BA(F)

Dit viertal routines (2 in FORTRAN en 2 in ALGOL 60) is ook gebaseerd op de *Merson-algorithme*. De FORTRAN-implementaties vragen een geheugenruimte van de orde $8n$, de ALGOL 60-versies zouden zelfs $22n$ plaatsen vragen, althans volgens de betreffende documentatie. Voor het overige gelden dezelfde opmerkingen als gemaakt voor DASCURU. Numerieke resultaten weer ontleend aan experimenten gedaan door J. Petiet vindt men in tabel 2.

2.2.5.3. De routines EXP.FIT.TAY, MOD.TAY en EFRK

Deze routines zijn weliswaar gebaseerd op algorithmen speciaal ontworpen voor grote stelsels, maar minder geschikt voor de beschouwde problemen. EXP.FIT.TAY. en MOD.TAY. omdat ze behalve de rechterlid-functie ook haar afgeleiden nodig heeft, en EFRK omdat deze procedures pas tot z^n recht komt bij eigenwaarden-spectra waarin de eigenwaarden in clusters gegroepeerd zijn.

2.2.5.4. De routine ARK

Deze routine is speciaal ontworpen voor de integratie van *niet-lineaire partiële differentiaalvergelijkingen*. Het geheugengebruik is verhoudingsgewijs gering, de orde van de methode is 1, 2 of 3 en kan door de gebruiker gekozen worden, en het stabiliteitsgedrag kan afgestemd worden op de te integreren vergelijking door het kiezen van het zogenaamde stabiliteitspolynoom en het opgeven van de spectrale radius van de Jacobiaan. Dit is dan tevens ook het nadeel van deze Adaptieve-Runge-Kutta-methode: *men moet het spectrum van de Jacobiaan onderzoeken en daarbij de coëfficiënten van een geschikt stabiliteitspolynoom (het array data [1:m]) opgeven*. Voor verdere details en literatuur-verwijzingen raadplege men de NUMAL-manual. Hier volstaan we met een tweetal voorbeelden van stabiliteitspolynomen:

$$(2.2.5.1) \quad 1 + z + \frac{1}{2} z^2 + \frac{1}{16} z^3$$

induceert een 2^e orde methode, geschikt voor *parabolische* vergelijkingen (*negatieve eigenwaarden*),

(2.2.5.2) $1 + z + \frac{1}{2} z^2 + \frac{1}{4} z^3$ induceert een 2^e orde methode,
geschikt voor *hyperbolische* vergelijkingen (*imaginaire* eigenwaarden)

Het eerste polynoom is gebruikt voor de integratie van het diffusieprobleem, het tweede polynoom voor het drempelprobleem; resultaten van J. Petiet vindt men in tabel 2.

2.2.5.5. De routine ARKMAT

ARKMAT is een 2-dimensionale versie van ARK, dat wil zeggen de differentiaalvergelijking kan aangeboden worden in de vorm

$$\frac{dY}{dt} = F(t, Y),$$

waarin Y een (rechthoekige) matrix is en F een matrix-functie van t en Y is. Voor de integratie van stelsels afkomstig van 2-dimensionale partiële differentiaalvergelijkingen is zo'n matrix-versie handig, anders zouden de 2-dimensionale roosterfuncties in een één-dimensionaal array opgeslagen moeten worden, hetgeen een bron van vergissingen kan worden.

Met ARKMAT en het polynoom (2.2.5.2) zijn de Noordzeevergelijkingen (2.2.3.10) geïntegreerd door H.G.J. Rozenhart; de resultaten vindt men in tabel 3. Hierbij moet wel opgemerkt worden dat de integratie van omvangrijke problemen als het Noordzeeprobleem, het verantwoord maken "ad hoc" methoden te ontwikkelen die dan veel efficiënter kunnen zijn dan ARKMAT. Anderzijds werden onderstaande resultaten binnen 2 weken verkregen, terwijl b.v. een "special purpose" methode zoals die van LEENDERTSE [1967] vele maanden heeft gevergd.

Literatuur

CARDENAS, A.F. & W.Y. KARPLUS [1970], *PDEL - a language for partial differential equations*, Comm. ACM 13, 184-191.

COHEN, J. & P. GROSSMAN [1975], *Compilation of linear partial differential equations into finite-difference programs*, BIT 15, 373-380.

- FISCHER, G. [1959], *Ein numerisches Verfahren zur Errechnung von Windstau und Gezeiten in Randmeeren*, Tellus 11, 60-76.
- HOUGHTON, D.D. & A. KASAHARA [1968], *Nonlinear shallow fluid flow over an isolated ridge*, Comm. Pure Appl. Math. 21, 1-28.
- MORRIS, S.M. & W.E. SCHIESSER [1968], *SALEM - a programming system for the simulation of systems described by partial differential equations*, In Proc. AFIPS 1968 Fall Joint Computer Conf., 33, 353-357.
- RICHTMYER, R.D. & K.W. MORTON [1967], *Difference Methods for Initial value problems*, 2nd ed., Interscience.
- SINCOVEC, R.F. & N.K. MADSEN [1975], *Software for nonlinear partial differential equations*, ACM Transactions on Mathematical Software, 1, 232-260.
- ZELLNER, M.G. [1970], *DDS - distributed systems simulator*, Ph.D. Diss. Lehigh U., Bethlehem, Pa. .

TABEL 2

Numerieke resultaten verkregen voor het diffusie- en het drempel-probleem

DASCRU	tijd	x = 0	x = 0.8	x = 0.959	x = 1.041	x = 1.2	x = 2.0	f.ev
diffusie probl. $\Delta Z = 0.1$ $\alpha = -0.263, \beta = 0.291$	0.63 4.0	1.00 0.69	0.84 0.52	0.62 0.45	0.51 0.41	0.32 0.34	0.03 0.16	1400 9690
D02A								
diffusie probl. $\Delta Z = 0.1$ $\alpha, \beta \rightarrow$ DASCRU	0.63 4.0	1.00 0.69	0.84 0.52	0.62 0.45	0.51 0.41	0.32 0.34	0.03 0.16	932 1178
ARK								
diffusie probl. $\Delta Z = 0.1$ $\alpha, \beta \rightarrow$ DASCRU	0.63 4.0	1.00 0.69	0.84 0.52	0.62 0.45	0.51 0.41	0.32 0.34	0.03 0.16	946 4371
DASCRU	tijd	x = -40	x = -20	x = 0	x = 20	x = 40	x = 60	
drempel probl. $\Delta x = 1$	0.5 1.0	22.1 21.7	21.5 20.5	19.7 17.8	18.2 10.3	19.9 19.8	18.9 19.8	510 1060
		bij t = 1.5 een TIME LIMIT						
D02A	tijd	x = -40	x = -20	x = 0	x = 20	x = 40	x = 60	
drempel probl. $\Delta x = 1$	0.5 1.0	22.09 21.7	21.5 20.5	19.7 17.8	18.2 10.3	19.9 19.8	18.9 19.8	250 525
		bij t = 1.5 een foutmelding (D02AF WITH ERROR 1)						
ARK	tijd							
drempel probl. $\Delta x = 1$	0.5 1.0	22.1 21.7	21.5 20.5	19.7 17.9	18.2 10.4	19.9 19.8	18.9 19.7	154 305
		bij t = 1.5 arithmetic overflow.						

TABEL 3

Numerieke resultaten verkregen voor het Noordzeeprobleem met ARKMAT en ΔX resp. 40, 20 en 10 km

tijd in uren	waterstanden zuidkust in m								waterstanden oostkust in m							
01	-01.42	-01.44	-01.45		-01.46	-01.48		-00.60	+00.16		+00.18	+00.20	+00.22	+00.22	+00.23	
02	-04.18	-04.33	-04.49		-04.69	-04.76		-01.76	+00.77		+01.08	+01.29	+01.35	+01.37	+01.38	
03	-06.08	-06.52	-06.90		-07.68	-07.66		-03.10	+01.15		+02.49	+03.32	+03.55	+03.59	+03.61	
04	-06.97	-07.60	-07.79		-09.42	-08.79		-04.79	+00.22		+03.45	+05.47	+06.32	+06.38	+06.40	
05	-08.07	-08.74	-07.91		-10.22	-08.50		-06.76	-02.17		+02.99	+06.47	+08.82	+09.02	+09.11	
06	-09.68	-10.55	-08.34		-10.74	-08.17		-08.51	-04.87		+00.94	+05.52	+10.33	+10.97	+11.30	
07	-11.13	-12.45	-09.37		-11.36	-08.68		-09.49	-06.46		-01.83	+02.91	+10.35	+11.87	+12.76	
08	-12.39	-13.95	-10.73		-12.30	-09.83		-09.84	-06.68		-04.06	-00.08	+08.79	+11.49	+13.25	
01	-02.25	-02.34	-02.43	-02.47	-02.52	-02.62	-02.64	+00.15	+00.38	+00.38	+00.39	+00.40	+00.41	+00.41	+00.42	
02	-04.17	-04.54	-04.99	-05.25	-05.56	-06.23	-06.21	-00.60	+01.84	+02.04	+02.18	+02.22	+02.24	+02.24	+02.24	
03	-05.83	-06.13	-06.53	-06.62	-07.04	-07.48	-07.01	-03.62	+02.12	+03.47	+04.38	+04.80	+04.83	+04.81	+04.78	
04	-07.41	-07.84	-08.37	-08.11	-08.64	-08.44	-08.01	-05.49	-00.58	+02.45	+04.76	+06.94	+07.47	+07.44	+07.38	
05	-09.01	-08.80	-08.85	-08.44	-09.07	-09.66	-09.50	-05.53	-02.97	-00.32	+02.34	+07.36	+10.07	+10.13	+10.08	
06	-10.75	-10.15	-09.60	-09.03	-09.59	-10.18	-07.47	-06.88	-03.00	-01.95	-00.31	+05.01	+11.93	+12.53	+12.58	
07	-12.06	-11.18	-10.62	-09.86	-10.54	-10.63	-09.86	-07.91	-03.80	-02.23	-00.79	+02.01	+11.59	+13.79	+14.47	
08	-13.58	-12.86	-12.32	-11.22	-11.72	-11.52	-10.91	-07.74	-05.31	-03.20	-01.35	+01.12	+08.66	+12.85	+15.09	
01	-02.22	-02.42	-02.66	-02.81	-02.97	-03.34	-03.54	+00.48	+00.64	+00.64	+00.64	+00.65	+00.65	+00.65	+00.65	
02	-04.25	-04.59	-04.95	-05.14	-05.34	-05.55	-05.41	-01.15	+02.31	+02.50	+02.53	+02.53	+02.52	+02.50	+02.48	
03	-05.95	-06.37	-06.80	-06.99	-07.10	-07.22	-07.46	-03.26	+01.72	+03.95	+04.81	+05.06	+05.05	+05.02	+04.98	
04	-07.49	-07.76	-08.02	-08.07	-08.16	-08.54	-08.64	-04.89	-00.89	+01.52	+04.62	+07.54	+07.81	+07.77	+07.70	
05	-09.15	-08.74	-08.55	-08.72	-08.95	-09.28	-09.38	-05.51	-01.75	+00.24	+01.70	+07.37	+10.56	+10.52	+10.44	
06	-10.48	-09.72	-09.36	-09.32	-09.42	-09.85	-10.19	-06.75	-02.97	-01.40	+01.01	+04.14	+12.61	+13.02	+12.96	
07	-11.83	-11.07	-10.51	-10.38	-10.23	-10.29	-10.53	-07.11	-03.93	-01.91	-00.61	+03.33	+11.53	+14.54	+15.08	
08	-13.43	-12.63	-12.03	-11.75	-11.51	-11.30	-11.25	-07.58	-04.35	-03.04	-01.38	+01.51	+07.98	+12.67	+15.74	

3. RANDWAARDEPROBLEMEN

3.1. Oplossen van tweepunts randwaardeproblemen

door P.W. Hemker

(Mathematisch Centrum)

en

J.P. Roos

(Corporate Research, Akzo Arnhem)

3.1.1. Inleiding

Voor tweepunts randwaardeproblemen bestaat weinig programmatuur die eenvoudig toegankelijk is. In de programmatheken ACCULIB en IMSL vinden we geen programma's die direkt in staat zijn een tweepunts randwaardeprobleem op te lossen. In de NAG-programmatheek vinden we 2 routines en in de NUMAL vinden we 4 routines voor bepaalde klassen van tweepunts randwaardeproblemen. Bovendien vinden we in NUMAL een routine voor het schatten van onbekende parameters, die ook voor tweepunts randwaardeproblemen gebruikt kan worden.

De oorzaak van dit gebrek aan algemene routines voor randwaardeproblemen kan wellicht gevonden worden in het feit dat programma's voor deze problemen praktisch altijd efficiënter worden wanneer ze zich beperken tot een deelklasse van problemen. Dit houdt in dat men snel geneigd zal zijn voor ieder probleem afzonderlijk een programma te schrijven dat juist dat éne probleem efficiënt oplost. We vinden dan ook, naast de routines die speciaal bestemd zijn voor randwaardeproblemen, in de meeste programmatheken een arsenaal van routines voor het oplossen van ijle lineaire stelsels. Deze routines maken het mogelijk om randwaardeproblemen op te lossen nadat de gebruiker ze zelf heeft gediscrètiseerd. Voor de tweepunts randwaardeproblemen zijn hier vooral nuttig de routines die lineaire stelsels oplossen waarvan de matrix een bandstructuur heeft.

Deze noodzaak tot het schrijven van ad hoc programma's zal echter verdwijnen als er toch voldoende efficiënte programma's voor algemene problemen gemaakt worden. Naast de programmatuur die in de programmatheken beschikbaar is, zijn er op verschillende plaatsen programma's in voorbereiding. We willen hier in het bijzonder vermelden een programma van Bulirsch en Stoer, gebaseerd op de multiple-shooting techniek (de definitieve publicatie is voralsnog onbekend) en programma's door Keller en Pereyra die gebaseerd zijn op een discrètiserings-methode.

3.1.2. Oplossings methoden

Vele studies zijn verricht op het gebied van het numeriek oplossen van tweepunts randwaardeproblemen en nog steeds worden nieuwe en betere algoritmen ontwikkeld. Hoewel het onmogelijk is hier een overzicht te geven van de bestaande theorieën en methoden, is het toch van belang de

belangrijkste principes kort uiteen te zetten.

Een tweepunts randwaardeprobleem bestaat uit een (stelsel) differentiaalvergelijking(en) die gedefinieerd is (zijn) op een interval $[a,b]$; bovendien zijn condities van de functie gegeven in a en b . Voor het numeriek oplossen van deze problemen onderscheiden we twee klassen van methoden: de *schietmethoden* en de *discretiseringsmethoden*. Voor de beide basisprincipes zijn veel varianten mogelijk.

Schietmethoden

Schietmethoden reduceren het probleem tot een serie beginwaardeproblemen. De differentiaalvergelijking wordt geschreven als een stelsel van n eerste orde vergelijkingen en aan de rand (zeg $x=a$) wordt een aantal beginwaarden gekozen die in overeenstemming zijn met de randcondities voor $x=a$. De ontbrekende beginvoorwaarden bij $x=a$ worden geïntroduceerd als onbekende parameters.

Met verschillende waarden voor deze parameters wordt het beginwaardeprobleem geïntegreerd van a naar b . Aan de hand van de verkregen oplossing in b worden de parameters, in een iteratief proces, zodanig bepaald dat het beginwaardeprobleem aan de condities van het randwaardeprobleem voldoet. Verschillende varianten op deze schietmethode zijn mogelijk:

1. integratie van het beginwaardeprobleem van b naar a i.p.v. van a naar b .
2. integratie van a naar r , $a < r < b$, en van b naar r . In deze variant worden aan beide randen onbekende parameters geïntroduceerd. Deze parameters worden nu zo bepaald dat de oplossingen op de intervallen (a,r) en (r,b) op elkaar aansluiten in $x=r$ (continuïteit van de oplossing).
3. multiple-shooting.

Hierbij wordt het interval $[a,b]$ verdeeld in meer deelintervallen

$$[x_{i-1}, x_i], \quad a = x_0 < x_1 < \dots < x_N = b.$$

Op ieder deelinterval wordt een beginwaardeprobleem opgelost. De parameters voor de onbekende beginvoorwaarden worden nu zodanig bepaald dat de uiteindelijke oplossing continu is in alle punten x_i , $1 \leq i \leq N-1$, en zodat aan de randvoorwaarden wordt voldaan.

De belangrijkste moeilijkheid bij het oplossen van tweepunts randwaardeproblemen met een schietmethode is de mogelijk grote instabiliteit van een probleem. We illustreren dit met het volgende, eenvoudige probleem

$$y'' - (p+q)y' + pq y = s, \quad a \leq x \leq b,$$

$$y(a) = \alpha, \quad y(b) = \beta.$$

Dit probleem is stabiel wanneer $pq < 0$; d.w.z. als $pq < 0$ dan veroorzaakt een kleine verstoring in de gegevens s, α of β ook een kleine storing in de oplossing y . Het beginwaardeprobleem dat wordt opgelost wanneer een schietmethode wordt toegepast heeft een Jacobiaan met eigenwaarden p en q wanneer het in voorwaartse richting wordt geïntegreerd of met eigenwaarden $-p$ en $-q$ als het in achterwaartse richting wordt geïntegreerd. Voor een stabiel tweepunts randwaardeprobleem verschillen p en q van teken. Het beginwaardeprobleem is instabiel. Als voor een eigenwaarde (zeg p) bovendien $|p|$ groot is, dan is het beginwaardeprobleem stijf ($p < 0$) of sterk instabiel ($p > 0$). In beide gevallen is het berekenen van de onbekende parameters een slecht geconditioneerd probleem.

Discretiseringsmethoden

Discretiseringsmethoden gaan uit van een partitie van het interval $[a, b]$, d.i. een (groot) aantal punten x_i zodat $a = x_0 < x_1 < \dots < x_n = b$. De oplossing wordt nu berekend voor deze van te voren gegeven x -waarden. Hiertoe worden de differentiaaloperator en het rechterlid van de vergelijking gediscretiseerd. Voor discretisatie behoeft de vergelijking niet gereduceerd te worden tot een stelsel eerste orde vergelijkingen. De discretisering kan op vele verschillende manieren plaatsvinden. Het uiteindelijke resultaat is echter dat de differentiaalvergelijking en de randcondities worden teruggebracht tot een (groot) stelsel algebraïsche vergelijkingen. De oplossing van dit stelsel levert de waarden van de gevraagde functie op de te voren gegeven partitie.

De belangrijkste varianten van de discretiseringsmethoden zijn de differentiemethoden en de globale methoden.

Differentiemethoden zijn het eenvoudigst. Hierbij worden de differentiaaloperatoren direkt vervangen door differentieoperatoren. De differentiemethoden worden voornamelijk toegepast voor een lage orde van nauwkeurigheid en voor uniforme partities.

Globale methoden baseren de discretisering op de keuze van een eindig aantal basisfuncties $\{\phi_i\}$ in de lineaire ruimte van alle mogelijke oplossingsfuncties. Een numerieke oplossing

$$y_h(x) = \sum_{j=0}^M a_j \phi_j(x)$$

wordt nu bepaald zodat $y_h(x)$, aan de hand van zekere criteria, zo goed mogelijk aan de differentiaalvergelijking en aan de randcondities voldoet. Tot deze groep van methoden behoren o.a. de *collocatiemethoden*, de *Galerkinmethoden* en de *kleinste-kwadratenmethode*.

Globale methoden kunnen eenvoudig op een niet-uniforme partitie worden toegepast en de constructie van deze methoden met een hoge orde van nauwkeurigheid is eenvoudiger dan voor differentiemethoden.

3.1.3. Overzicht van de beschikbare programmatuur

In de programmatheken NAG en NUMAL zijn de volgende routines beschikbaar voor het oplossen van tweepunts randwaardeproblemen.

1. D02ADA/F (NAG)

Deze routine lost een tweepunts randwaardeprobleem op voor een stelsel gewone differentiaalvergelijkingen over een interval $[a,b]$

$$(3.1.3.1) \quad \frac{dy_i}{dx} = f_i(x, y_1, \dots, y_N), \quad i = 1, 2, \dots, N.$$

De procedure gebruikt de bovengenoemde variant no. 2 van de schietmethode. De gebruiker specificeert een getal r , $a < r < b$, waarna beginwaardeproblemen worden opgelost van a naar r en van b naar r . Naast de N vergelijkingen (3.1.3.1) moet de gebruiker N randwaarden opgeven, sommige voor $x = a$, de andere voor $x = b$. Bovendien moet de gebruiker een beginschatting geven voor de ontbrekende randwaarden van y .

De procedure levert na afloop de berekende waarden van y voor $x = a$ en $x = b$ en, als daarom gevraagd wordt, de berekende waarden van y op een equidistante partitie van $[a,b]$. De beginwaardeproblemen worden in D02ADA/F opgelost met een Runge-Kutta-Merson methode, de onbekende parameters worden bepaald met een vorm van Newton-iteratie.

2. D02AGA/F (NAG)

Deze routine heeft veel overeenkomst met D02ADA/F. Het randwaardeprobleem wordt weer opgelost met een schietmethode, variant 2 (met de

Runge-Kutta-Merson integratiemethode en Newton-iteratie). De routine is echter algemener in die zin, dat ook parameters die geen randwaarden zijn (eigenwaarden, coëfficiënten in de vergelijking etc.) bepaald kunnen worden. Het randwaardeprobleem dat kan worden opgelost luidt

$$(3.1.3.2) \left\{ \begin{array}{l} \frac{dy_i}{dx} = f_i(x, y_1, \dots, y_N, p_1, \dots, p_M), \quad a < x < b, \\ a = a(p_1, \dots, p_M), \quad b = b(p_1, \dots, p_M), \\ y(a) = y_a(p_1, \dots, p_M), \quad y(b) = y_b(p_1, \dots, p_M), \quad M \leq N. \end{array} \right.$$

De functies f_i , a , b , y_a en y_b moeten door de gebruiker worden gespecificeerd. Ook het punt r , $a < r < b$, waar de oplossingen van de beginwaardeproblemen aan elkaar gepast moeten worden, kan worden opgegeven afhankelijk van p_1, \dots, p_M . De procedure heeft een beginschatting voor \vec{p} nodig en levert een verbeterde waarde van \vec{p} af.

3. PEIDE (NUMAL)

Deze procedure berekent parameters p_1, \dots, p_M zodanig dat

$$(3.1.3.3) \quad \sum_{j=1}^J |y_i(x_j) - s_j|^2, \quad J \geq M,$$

geminimaliseerd wordt. Hierin is $\{(x_j, s_j)\}_{j=1}^J$ een gegeven verzameling punten ("observaties") en y_i is een component van de oplossing van het beginwaardeprobleem

$$(3.1.3.4) \left\{ \begin{array}{l} \frac{dy_i}{dx} = f_i(x, y_1, y_2, \dots, y_N, p_1, \dots, p_M), \quad i = 1, \dots, N \\ y(a) = y_a(p_1, \dots, p_M). \end{array} \right.$$

Zo bepaalt PEIDE parameters in de vergelijking en in de randvoorwaarden, zodanig dat de oplossing van de vergelijking een gegeven verzameling "observaties" zo dicht mogelijk passeert.

De routine gebruikt de multiple-shooting techniek waarbij punten x_j , $a < x_j < b$, gebruikt kunnen worden als partitiepunten. De beginwaardeproblemen worden opgelost met Gear's methode (geschikt voor stijve differ-

entiaalvergelijkingen). De minimalisering van het residu (3.1.3.3) gebeurt met de methode van Marquardt. Hierbij maakt de procedure gebruik van, door de gebruiker te specificeren, partiële afgeleiden:

$$\frac{\partial y_{a_i}}{\partial p_j}, \quad \frac{\partial f_i}{\partial y_k}, \quad \frac{\partial f_i}{\partial p_j} \quad i, k = 1, \dots, N; \quad j = 1, \dots, M.$$

De procedure PEIDE kan gebruikt worden voor het oplossen van het tweepuntsrandwaardeprobleem (3.1.3.1) door te nemen

$$(3.1.3.5) \quad \begin{aligned} y_i(a) &= y_a(p_1, p_2, \dots, p_M) \\ x_j &= b, \quad s_j = y_{i(j)}(b), \quad j = 1, 2, \dots, M. \end{aligned}$$

4. FEMLAG, FEMLAGSYM, FEMLAGSKEW (NUMAL)

Deze procedures lossen een probleem op van de vorm

$$(3.1.3.6) \quad \begin{aligned} -(p(x)y'(x))' + r(x)y(x) &= f(x), \quad a \leq x \leq b, \text{ of} \\ -y''(x) + q(x)y'(x) + r(x)y(x) &= f(x), \quad a \leq x \leq b, \end{aligned}$$

met de randvoorwaarden

$$\begin{aligned} c_1 y(a) + c_2 y'(a) &= c_3, \\ c_4 y(b) + c_5 y'(b) &= c_6. \end{aligned}$$

De oplossing wordt verkregen op een, van te voren gegeven, partitie $a = x_0 < x_1 < \dots < x_N = b$. Er zijn geen beginschattingen voor parameters nodig. Deze procedures gebruiken een Galerkin-methode en zijn zeer nauwkeurig. De orde van nauwkeurigheid kan worden opgegeven en is $O(h^2)$, $O(h^4)$ of $O(h^6)$, waarin h de maaswijdte van de partitie is. De coëfficiënt $p(x)$ moet positief zijn.

5. FEMHERMSYM (NUMAL).

Deze procedure lost een 4-de orde differentiaalvergelijking op van de vorm

$$(3.1.3.7) \quad (p(x) y''(x))' - (q(x) y'(x))' + r(x) y(x) = f(x), \quad a \leq x \leq b,$$

met de randvoorwaarden

$$\begin{aligned} y(a) &= c_1, \quad y'(a) = c_2, \\ y(b) &= c_3, \quad y'(b) = c_4. \end{aligned}$$

De waarden van $y(x)$ en $y'(x)$ op een van te voren gegeven partitie worden berekend met een Galerkin-methode. De orde van nauwkeurigheid is $O(h^4)$, $O(h^6)$ of $O(h^8)$.

3.1.4. Het gebruik van de programmatuur

In deze sectie lichten we het gebruik van de programmatuur toe aan de hand van een drietal problemen. Deze problemen zijn op verschillende manieren opgelost. De betreffende programmatuur en de bijbehorende numerieke resultaten kunnen worden gevonden in de bijlagen.

3.1.4.1. Een zuiver tweepunts randwaardeprobleem

We willen de hoek berekenen waaronder een projectiel afgeschoten moet worden om een bepaalde horizontale afstand af te leggen. De bewegingsvergelijkingen zijn voor $x(t)$ en $y(t)$

$$(3.1.4.1) \quad \begin{cases} x'' = -\alpha v^2 \sin \phi \\ y'' = -g - \alpha v^2 \cos \phi \end{cases}$$

waarin

$$\begin{aligned} v &= \sqrt{(x')^2 + (y')^2} \quad (\text{de snelheid van het projectiel}) \\ \phi &= \arctan(dy/dx) \quad (\text{de hoek met de horizontale richting}) \end{aligned}$$

zodat de baan van het projectiel beschreven wordt door het stelsel

$$(3.1.4.2) \quad \begin{cases} \frac{dy}{dx} = \tan \phi \\ \frac{dv}{dx} = g \tan(\phi)/v - \alpha v \cos(\phi) \\ \frac{d\phi}{dx} = -g/v^2 \end{cases}$$

Met de constanten $g = 9.80665$, $\alpha = 0.0007$ en de randvoorwaarden

$$\begin{aligned} y &= 0, v = 150 \text{ voor } x = 0, \\ y &= 0 \text{ voor } x = 1500, \end{aligned}$$

willen we $\phi(0)$ berekenen. We schatten de (overige) randwaarden als $\phi(0) = 1.15$; $\phi(1500) = -1.2$; $v(1500) = 135$.

3.1.4.2. Een parameter-schat probleem

Dit praktijkprobleem is ontleend aan de besliskunde. Om een curve $y(x)$ te berekenen die een optimale verkoopstrategie bepaalt, moeten we een parameter $p > 0$ bepalen, zodanig dat

$$y'(x) = 1 + p + \log(3) \exp(-n\ell y)$$

$$(3.1.4.3) \quad \times \left[y \sum_{j=0}^{n-2} \frac{1}{j!} (n\ell y)^j - \frac{1}{\ell} \sum_{j=0}^{n-1} \frac{1}{j!} (n\ell y)^j \right]$$

waarin $\ell = \ell(x) = \frac{1}{3x+0.01}$ en $n > 1$ een geheel getal.

Deze vergelijking geldt op het interval $[0,1]$; de randvoorwaarden zijn $y(0) = 0$, $y(1) = 2$. Omdat weliswaar $p > 0$, maar de orde van grootte p onbekend is, introduceren we de nieuwe parameter $P = \log(p)$. We bepalen de waarde van p voor $n = 10$ en $n = 20$.

3.1.4.3. Een niet-lineaire tweede orde vergelijking

We willen het volgende probleem oplossen met een schietmethode en met een globale methode

$$(3.1.4.4) \quad \begin{cases} y'' = e^y & \text{op } [0,1], \\ y(0) = y(1) = 0. \end{cases}$$

De analytische oplossing is bekend en luidt

$$y(x) = 2 \ln \left(\frac{c}{\cos(e(x-0.5))} \right) + \ln 2, \quad (3.1.4.5)$$

$$c \approx 0.6680278475.$$

Voor de schietmethode schrijven we het probleem als

$$(3.1.4.6) \quad \begin{cases} y' = v \\ v' = e^y \end{cases},$$

$$y(0) = y(1) = 0.$$

Om het probleem op te lossen met een globale methode gebruiken we de procedure FEMLAG. Deze procedure is alleen geschikt voor lineaire problemen en daarom construeren we het iteratieve Newton-proces

$$(3.1.4.7) \quad -y_{n+1}'' + [e^{y_n}]y_{n+1} = [e^{y_n}(y_n - 1)].$$

3.1.4.4. Een probleem dat niet opgelost kon worden met de beschikbare programmatuur

Vele tweepunts randwaardeproblemen leveren toch grote moeilijkheden op wanneer we alleen beschikken over de programmatuur die in sectie 3.1.3 genoemd is. Zo bleek het niet mogelijk om met een van de genoemde routines het volgende probleem op te lossen

$$(3.1.4.8) \quad \begin{cases} \epsilon p y'' = g(y-z) \\ p z'' = -g(y-z) \end{cases} \quad \text{op } [0,1]$$

$$y'(0) = 0, \quad z(0) = 0,$$

$$y(1) = 1, \quad z'(0) = 0,$$

waarin

$$g(x) = \exp\left(\frac{1}{3}\eta x\right) - \exp\left(-\frac{2}{3}\eta x\right)$$

$$(3.1.4.9) \quad \epsilon = 0.143, \quad p = 0.1743, \quad \eta = 17.19.$$

Dit probleem heeft zo een duidelijk stijf karakter. Ook echter met de parameters (waarmee het probleem minder stijf is)

$$\epsilon = 0.685, p = 4.028, \eta = 17.23$$

bleken de schietmethoden te falen. We wijten dit aan de sterke niet-lineariteit van het probleem die te grote moeilijkheden veroorzaakt voor de gebruikte integratiemethoden.

3.1.5. De algemene routines ontwikkeld door Pereyra en zijn medewerkers

Zoals in de inleiding tot dit hoofdstuk reeds werd aangegeven, bestaan er nauwelijks algemene routines voor het oplossen van tweepunts randwaardeproblemen.

Het is bekend, dat o.a. Keller en Pereyra, elk met hun medewerkers, actief zijn op dit gebied. PEREYRA [1974] is echter de enige die een algemeen bruikbare routine (SYSSOL) gepubliceerd heeft; bovendien heeft hij reeds de beschikking over een experimentele, verbeterde versie (PASVAR), waarmee ook niet-uniforme roosters behandeld kunnen worden.

Bij zijn ontwikkeling van algemeen bruikbare routines voor het oplossen van randwaardeproblemen heeft Pereyra de bedoeling .. *to achieve the quality and high standards of the general purpose software available for initial value problems*. En ons inziens is hij daarin vrijwel geslaagd.

We zullen ons beperken tot tweepunts randwaardeproblemen van het type:

$$\frac{dy}{dx} = f(x, y)$$

$$(3.1.5.1) \quad a \leq x \leq b$$

$$A_1 y(a) + B_1 y(b) = C,$$

met

y en f: M-dimensionale vektorfuncties,

A en B: konstante (M×M) matrices,

C: konstante M-vektor.

We nemen aan dat de gezochte oplossing y van (3.1.5.1) bestaat en geïsoleerd is. Het gestelde probleem is dan:

Bereken een oplossing y die over het gehele interval $[a,b]$ slechts met een bij voorbaat aangegeven tolerantie van de exakte oplossing y mag afwijken.

De door Pereyra behandelde voorbeelden en enkele toepassingen van ons lijken de konklusie te wettigen dat de routines SYSSOL en vooral PASVAR het betrekkelijk automatisch en simpel oplossen van problemen als (3.1.5.1) mogelijk maken.

De structuur van SYSSOL en PASVAR is globaal als volgt. De basis is een *discretiseringsmethode* (vgl. 3.1.2), waarbij gebruik gemaakt wordt van eindige differenties.

Dit betekent o.a. dat een bepaald rooster (partitie, mesh of grid) gegeven moet zijn. Bij een gegeven rooster leidt de discretisering tot een stelsel van eindig veel *niet-lineaire vergelijkingen*. De methode van Newton wordt toegepast om dit stelsel op te lossen, vgl. PEREYRA [1968, 1974, 1975], KELLER [1974]. Op een efficiënte wijze wordt door PEREYRA [1974] gebruik gemaakt van de bandstructuur.

Na de oplossing van dit stelsel vergelijkingen is dus een *benadering* van de exakte oplossing op het gegeven rooster bekend. Maar hoe goed is deze benadering?

PEREYRA [1968] past nu de techniek van *Iterated Deferred Corrections (IDC)* toe om op het gegeven rooster een schatting van de fout te bepalen en vervolgens de benaderde oplossing (iteratief) te verbeteren.

N.B. Pereyra claimt dat IDC efficiënter is dan een techniek als Richardson extrapolatie, die b.v. door KELLER [1974] wordt toegepast.

Wanneer verder verbetering niet mogelijk of zinnig lijkt, wordt het rooster *verfijnd*.

In de gepubliceerde routine SYSSOL is het slechts mogelijk met een uniform rooster te werken; dit rooster wordt door halvering verfijnd.

In de versie PASVAR kan met een niet-uniform rooster worden gestart; verfijning van het rooster is i.h.a. niet uniform. Er wordt naar een zodanig rooster gestreefd, dat de geschatte fout van de oplossing uniform over het interval verdeeld is (dus b.v. veel roosterpunten bij grotere gradiënten): het begrip "equidistribution" wordt hier gehanteerd.

De overgangen tussen de verschillende genoemde fasen worden via een aantal strategieën geregeld. De "tuning" van deze overgangen is deels op basis van experimenten bepaald.

Afgezien van de gevallen waarin de subroutine op een abnormale wijze beëindigd wordt (b.v. onjuiste invoergegevens), leveren beide subroutines op "automatische" wijze een berekende oplossing, die in het algemeen aan de *door de gebruiker opgegeven nauwkeurigheid* voldoet.

De deklaratie van de subroutine SYSSOL is als volgt:

SUBROUTINE SYSSOL (M,N,A,B,C,A1,B1,TOL,DELEPS,X,Y,ABT,FF,JACOB,JERROR).

De parameters M,A,B,C,A1,B1,X en Y hebben dezelfde betekenis als in (3.1.5.1). N is het aantal roosterpunten (inclusief de beide randpunten) waarmee wordt begonnen. FF en JACOB zijn de door de gebruiker te definiëren subroutines voor de berekening van de rechterleden f van (3.1.5.1) en van de jacobiaan ($\partial f / \partial y$) van f. TOL is de door de gebruiker op te geven absolute nauwkeurigheid.

Voor de betekenis van DELEPS en ABT en voor verdere details wordt verwezen naar PEREYRA [1974].

De subroutine is eenvoudig te gebruiken en snel uit de literatuur over te nemen.

Enkele voorbeelden

a. Een randwaardeprobleem uit de elektriciteitsleer.

$$\epsilon_p \frac{d^2 y}{dt^2} = g(y-z),$$

$$p \frac{d^2 z}{dt^2} = -g(y-z), \quad 0 \leq t \leq 1,$$

$$t = 0 : \frac{dy}{dt} = 0, \quad z = 0,$$

$$t = 1 : y = 1, \quad \frac{dz}{dt} = 0,$$

$$g(x) = \exp\left(\frac{1}{3}\eta x\right) - \exp\left(-\frac{2}{3}\eta x\right),$$

$$\epsilon = 0.143; \quad p = 0.1743; \quad \eta = 17.19.$$

De met PASVAR c.q. SYSSOL berekende oplossing is in de volgende tabel opgenomen.

t	y	z	$\frac{dt}{dy}$	$\frac{dz}{dt}$
0.000	0.033	0.000	0.000	0.899
0.125	0.103	0.102	0.762	0.790
0.250	0.201	0.201	0.786	0.787
0.375	0.299	0.299	0.787	0.787
0.500	0.397	0.397	0.787	0.787
0.625	0.496	0.496	0.787	0.787
0.750	0.594	0.594	0.793	0.786
0.875	0.700	0.691	0.987	0.758
1.000	1.000	0.761	6.287	0.000

De grenslaagstructuur bij $t = 0$, en vooral bij $t = 1$, is duidelijk te zien. Wanneer ε groter wordt gekozen gaan y en z meer uiteen; er ontstaat dan een minder uitgesproken grenslaagstructuur.

Dit probleem is met behulp van (elementair) schieten, vgl. (3.1.2) niet of nauwelijks oplosbaar.

Dit probleem is zowel met SYSSOL als met PASVAR opgelost. Bij SYSSOL was een uniforme verfijning nodig tot 156 intervallen.

Bij PASVAR met gelijke nauwkeurigheidseis, werd een niet-uniforme verfijning toegepast tot 84 intervallen, waarbij 16 kleine op het deelinterval $[\frac{15}{16}, 1]$; dit geeft aan dat het rooster aangepast werd aan het karakter van de oplossing.

Een wat eenvoudiger probleem behoort bij de parameterwaarden $\varepsilon = 0.685$; $p = 4.028$; $\eta = 17.23$. De oplossing is dan:

t	y	z	$\frac{dy}{dt}$	$\frac{dz}{dt}$
0.000	0.348	0.000	0.000	1.001
0.125	0.365	0.114	0.247	0.832
0.250	0.406	0.211	0.401	0.726
0.375	0.464	0.296	0.518	0.646
0.500	0.536	0.373	0.629	0.570
0.625	0.621	0.439	0.740	0.494
0.750	0.722	0.495	0.882	0.397
0.875	0.844	0.537	1.085	0.258
1.000	1.000	0.555	1.461	0.000

Reeds bij 29 intervallen werd hier de gewenste nauwkeurigheid (meer dan de gegeven cijfers) bereikt.

- b. Een probleem dat voortkomt uit de berekening van de warmte- en impuls-overdracht tussen een bewegende cylinder en een stilstaande omgeving

$$t \frac{d^3 y}{dt^3} - \left(\frac{dt}{dy} \right)^2 + (y-1) \left(\frac{d^2 y}{dt^2} - \frac{1}{t} \frac{dy}{dt} \right) = 0,$$

$$t \frac{d^2 z}{dt^2} + (py+1) \frac{dz}{dt} = 0, \quad t_0 \leq t \leq t_1,$$

$$t = t_0 : y = 0, \frac{dy}{dt} = t; z = 1,$$

$$t = t_1 : \frac{dy}{dt} = 0, z = 0,$$

$$t_0 = 0.005; t_1 = 20; p = 0.72.$$

De met PASVAR berekende oplossing is:

t	y	$\frac{dt}{dy}$	$\frac{d^2 y}{dt^2}$	z	$\frac{dz}{dt}$
0.005	0.000	0.005	0.835	1.000	-28.056
0.010	0.000	0.009	0.716	0.898	-13.600
0.020	0.000	0.015	0.607	0.805	- 7.002
0.102	0.003	0.052	0.342	0.576	- 1.368
0.210	0.010	0.082	0.230	0.476	- 0.666
0.06	0.124	0.163	0.032	0.254	- 0.125
2.11	0.303	0.171	-0.007	0.167	- 0.057
3.16	0.477	0.158	-0.015	0.121	- 0.034
4.21	0.635	0.141	-0.016	0.092	- 0.023
5.27	0.775	0.125	-0.015	0.072	- 0.016
20.0	1.536	0.000	-0.006	0.000	- 0.001

Dit probleem kon ook met schieten opgelost worden.

Het is interessant te zien dat PASVAR een duidelijk niet-uniform rooster genereert. In het uiteindelijke rooster: $h_{\min} = 0.0002125$ en $h_{\max} = 1.05237$, dus een verhouding $h_{\max}/h_{\min} = 4950$.

Diskussie

Wanneer we eenvoud van gebruik als een der belangrijke criteria zien, dan blijken deze routines van Pereyra zeer duidelijk gunstig uit te steken boven alternatieve aanpakken als schieten. De routines lossen "automatisch" het gestelde probleem op en bovendien doen ze dat efficiënt.

Literatuur

- LENTINI, M. & V. PEREYRA [1974], *A variable order finite difference method for nonlinear multipoint boundary value problems*, Math. Comp. 28, 981-1003.
- KELLER, H.B. [1974], *Accurate difference methods for nonlinear two-point boundary value problems*, SIAM J. Numer. Anal. 11, 305-320.
- PEREYRA, V. [1968], *Iterated deferred corrections for nonlinear boundary value problems*, Numer. Math. 11, 111-125.
- PEREYRA, V. & E.G. SEWELL [1975], *Mesh selection for discrete solution of boundary problems in ordinary differential equations*, Numer. Math. 23, 261-268.

Bijlagen

PROBLEEM 3.1.4.1
M.B.V. PEIDE (NUMAL)

```

"BEGIN" "INTEGER" M, NN, NOBS, HBP;
"ARRAY" PAR [1 : 1], RES [1 : 1], JTJINV [1 : 1, 1 : 1], IN [0 : 6],
      OUT [1 : 8]; "INTEGER" "ARRAY" BP [0 : 1];
"REAL" TIME, FA, G, D;

"PROCEDURE" PEIDE (N, M, NO, NB, P, R, BP, J, I, O, D, JDY, JDP, CY,
      DA, MO); "CODE" 34444;
"PROCEDURE" COMMUNICATION (P, F, M, N, NO, NP, PA, R, BP, J, I, O, W,
      NI); "CODE" 34445;

"BOOLEAN" "PROCEDURE" JAC DFDP (PAR, Y, X, FP);
"REAL" X; "ARRAY" PAR, Y, FP;
"BEGIN" FP [1, 1] := FP [2, 1] := FP [3, 1] := 0;
      JAC DFDP := "TRUE"
"END" JAC DFDP;

"PROCEDURE" DATA (NOBS, TOBS, OBS, COBS);
"VALUE" NOBS; "INTEGER" NOBS; "ARRAY" TOBS, OBS, COBS;
"BEGIN"
      TOBS [0] := 0; TOBS [1] := 1500; COBS [1] := 1; OBS [1] := 0
"END" DATA;

"PROCEDURE" CALL YSTART (PAR, Y, YMAX);
"ARRAY" PAR, Y, YMAX;
"BEGIN" Y [1] := 0; Y [2] := 150; Y [3] := PAR [1];
      YMAX [1] := 1000; YMAX [2] := 150; YMAX [3] := 1;
      Y [2] := 1
"END" CALL YSTART;

"BOOLEAN" "PROCEDURE" DERIV (PAR, Y, X, DF);
"REAL" X; "ARRAY" PAR, Y, DF;
"BEGIN" "REAL" C, S, V;
      C := COS (Y [3]);
      S := SIN (Y [3]);
      V := Y [2];
      DF [1] := S / C;
      DF [2] := -G * S / (C * V) - D * V / C;
      DF [3] := -G / (V * V);
      DERIV := C > 0
"END" DERIV;

"BOOLEAN" "PROCEDURE" JAC DFDY (PAR, Y, X, FY);
"REAL" X; "ARRAY" PAR, Y, FY;
"BEGIN" "INTEGER" I, J; "REAL" C, S, V;
      C := COS (Y [3]);
      S := SIN (Y [3]);
      V := Y [2];
      "FOR" I := 1 "STEP" 1 "UNTIL" 3 "DO"
      "FOR" J := 1 "STEP" 1 "UNTIL" 3 "DO" FY [I, J] := 0;

```

```

    FY (1, 3) := 1 / (C * C);
    FY (2, 2) := (G * S / (V * V) - D) / C;
    FY (2, 3) := (-G / V - D * V * S) / (C * C);
    FY (3, 2) := 2 * G / (V * V * V);
    JAC DFDY := C > 0
"END" JAC DFDY;

"PROCEDURE" MONITOR (POST, NCOL, NROW, PAR, RES, WEIGHT, NIS);
"VALUE" POST, NCOL, NROW, WEIGHT, NIS;
"INTEGER" POST, NCOL, NROW, WEIGHT, NIS; "ARRAY" PAR, RES;
OUTPUT (61, "("/5ZD, 5B, N/)", POST, PAR (1));

G := 9.80665; D := 0.00007;
PAR (1) := 1.15; NBP := 0;
IN (3) := "-6; IN (4) := "-6; IN (5) := 50; IN (6) := "-10;
IN (1) := "-4; IN (2) := "-6; FA := 0; IN (0) := "-14;
NN := 3; M := NOBS := 1; BP (0) := BP (1) := 0;
TIME := CLOCK;
COMMUNICATION (1, FA, NN, M, NOBS, NBP, PAR, RES, BP, JTJINV, IN,
    OUT, 0, 0);

PEIDE(NN, 1, 1, NBP, PAR, RES, BP, JTJINV, IN, OUT, DERIV, JAC DFDY,
    JAC DFDY, CALL YSTART, DATA, MONITOR);

TIME := CLOCK - TIME;
COMMUNICATION (2, FA, NN, M, NOBS, NBP, PAR, RES, BP, JTJINV, IN,
    OUT, 0, 0);
OUTPUT (61, "("/3/5B "("THE CALCULATION IN PEIDE CONSUMED")",
    BZZD.DDBB, "("SECONDS")",*,*)", TIME)
"END"

```

STARTING VALUES OF THE PARAMETERS
 $+1.150000 \times 10^1$

NUMBER OF EQUATIONS : 3
 NUMBER OF OBSERVATIONS: 1

MACHINE PRECISION	10^{-13}
RELATIVE LOCAL ERROR BOUND FOR INTEGRATION	10^{-5}
RELATIVE TOLERANCE FOR RESIDUE	10^{-5}
ABSOLUTE TOLERANCE FOR RESIDUE	10^{-5}
MAXIMUM NUMBER OF INTEGRATIONS TO PERFORM	50
RELATIVE STARTING VALUE OF LAMBDA	10^{-9}
RELATIVE MINIMAL STEPLENGTH	10^{-3}

THERE ARE NO BREAK-POINTS

THE ALPHA-POINT OF THE F-DISTRIBUTION : 0.00

1	$+1.150000000000 \times 10^0$
2	$+1.150000000000 \times 10^0$
1	$+1.150000000000 \times 10^0$
1	$+1.1548127086472 \times 10^0$
1	$+1.1549991219896 \times 10^0$
1	$+1.1550107739228 \times 10^0$
1	$+1.1550115120783 \times 10^0$
1	$+1.1550115588797 \times 10^0$
1	$+1.1550115618472 \times 10^0$
1	$+1.1550115620353 \times 10^0$

NORMAL TERMINATION OF THE PROCESS

LAST INTEGRATION WAS PERFORMED WITHOUT BREAK-POINTS

EUCL. NORM OF THE LAST RESIDUAL VECTOR :.8609400" =7
 EUCL. NORM OF THE FIRST RESIDUAL VECTOR :.3300138" +2
 NUMBER OF INTEGRATIONS PERFORMED : 8
 LAST IMPROVEMENT OF THE EUCLIDEAN NORM :.1275210" =5
 CONDITON NUMBER OF J1*J :.1000000" +1
 LOCAL ERROR BOUND WAS EXCEEDED (MAXIM.): 0

THE LAST RESIDUAL VECTOR

I RES(I)
 1 +.8609" =7

THE CALCULATION IN PEIDE CONSUMED 43.77 SECONDS

C PROBLEM 3.1.4.1
 C M.B.V. D02ADF(NAG)
 C

```

PROGRAM MASTER (OUTPUT, TAPE 6 = OUTPUT)
EXTERNAL DERIV, OUT
DIMENSION U (3, 2), V (3, 2), E (3), Y (6, 3), G (3, 3), INT (3),
1 WSP (3, 5), WS (3), YO (3), EE (3), AA (3), BB (3), CC (3), DD (3)
U (1, 1) = 0.0
V (1, 1) = 0.0
U (1, 2) = 0.0
V (1, 2) = 0.0
U (2, 1) = 150.0
V (2, 1) = 0.0
U (2, 2) = 135.0
V (2, 2) = 1.0
U (3, 1) = 1.15
V (3, 1) = 1.0
U (3, 2) = -1.2
V (3, 2) = 1.0
R = 750
X = 0.0
X1 = 1500.0
E (1) = 1E-2
E (2) = 1E-2
E (3) = 5E-5
H = 0.01
N = 3
M1 = 6
M = 1
WRITE (6, 98)
98  FORMAT (28H1  CURRENT PARAMETER VALUES,
1 4X, 23HERRORS IN Y[I] AT X = R, 18X, 17HSUM (ERRORS ** 2))
CALL D02ADF (U, V, E, Y, H, X, X1, R, N, M1, DERIV, OUT, G,
1 INT, WSP, WS, YO, EE, AA, BB, CC, DD, M)
IF (M .GT. 0) GOTO 3
WRITE (6, 99)
99  FORMAT (16H0 FINAL SOLUTION)
DO 2 I = 1, 6
WRITE (6, 100) I, (Y (I, J), J = 1, 3)
100 FORMAT (1H, I2, 3F10.4)
2  CONTINUE
3  WRITE (6, 101) M
101 FORMAT (13H ERROR NUMBER, I3)
10  CONTINUE
STOP
END

```

```

SUBROUTINE DERIV (G, Z, X)
  DIMENSION G (3), Z (3)
  GG = 9.80665
  D = 0.00007
  G (1) = SIN (Z (3)) / COS (Z (3))
  G (2) = -GG * G (1) / Z (2) + D * Z (2) / COS (Z (3))
  G (3) = -GG / (Z (2) * Z (2))
  RETURN
END

```

```

SUBROUTINE OUT (A, B, F, R, N)
  DIMENSION A (N, 2), B (N, 2), F (N), W (3)
  J = 1
  DO 3 K = 1, 2
    DO 2 I = 1, N
      IF (B (I, K) .EQ. 0.0) GOTO 2
      W (J) = A (I, K)
      J = J + 1
2    CONTINUE
3    CONTINUE
  WRITE (6, 100) (W (J), J = 1, 3), (F (I), I = 1, 3), R
100  FORMAT (1H0, 3F9.4, 3E13.4, E15.4)
  RETURN
END

```

CURRENT PARAMETER VALUES			ERRORS IN Y[I] AT X = R			SUM (ERRORS ** 2)
1.1500	133.0000	-1.2000	-.2927E+02	-.2037E+01	.1334E+00	.8609E+03
1.1549	137.4487	-1.1905	-.5354E+00	-.6099E-01	.2766E-02	.2904E+00
1.1551	137.5017	-1.1902	-.9342E-01	.1467E-01	.3008E-03	.8942E-02
1.1550	137.5021	-1.1902	.2198E-02	-.3529E-03	-.3118E-04	.4957E-05

FINAL SOLUTION

1	0.0000	150.0000	1.1550
2	555.2828	100.8934	.9588
3	848.4029	63.4423	.4800
4	863.1451	59.9158	-.4053
5	586.3348	93.1578	-.9592
6	0.0000	137.5021	-1.1902

ERROR NUMBER 0

PROBLEEM 3.1.4.2
M.B.V. PEIDE (NUMAL)

```

"BEGIN" "INTEGER" I, J, M, NN, N, NOBS, NBP;
"ARRAY" PAR [1 : 1], RES [1 : 1], JTJINV [1 : 1, 1 : 1], IN [0 : 6],
      OUT [1 : 8]; "INTEGER" "ARRAY" BP [0 : 1], FAC [0 : 25];
"REAL" TIME, FA;

"PROCEDURE" PEIDE (N, M, NO, NB, P, R, BP, J, I, O, D, JDY, JDP, CY,
      DA, MO); "CODE" 34444;
"PROCEDURE" COMMUNICATION (P, F, M, N, NO, NP, PA, R, BP, J, I, O, W,
      NI); "CODE" 34445;

"REAL" "PROCEDURE" SUM (I, L, U, T); "VALUE" U;
"INTEGER" I, L, U; "REAL" T;
"BEGIN" "REAL" S; S:= 0;
      "FOR" I:= L "STEP" 1 "UNTIL" U "DO"
      S:= S + T; SUM:= S
"END" SUM;

"BOOLEAN" "PROCEDURE" JAC DFDP (PAR, Y, X, FP);
"REAL" X; "ARRAY" PAR, Y, FP;
"BEGIN" FP [1, 1]:= EXP (PAR [1]);
      JAC DFDP:= "TRUE"
"END" JAC DFDP;

"PROCEDURE" DATA (NOBS, TOBS, OBS, COBS);
"VALUE" NOBS; "INTEGER" NOBS; "ARRAY" TOBS, OBS, COBS;
"BEGIN"
      TOBS [0]:= 0; TOBS [1]:= 1; COBS [1]:= 1; OBS [1]:= 2
"END" DATA;

"PROCEDURE" CALL YSTART (PAR, Y, YMAX);
"ARRAY" PAR, Y, YMAX;
"BEGIN" Y [1]:= 0; YMAX [1]:= 4
"END" CALL YSTART;

"BOOLEAN" "PROCEDURE" DERIV (PAR, Y, X, DF);
"REAL" X; "ARRAY" PAR, Y, DF;
"BEGIN" "REAL" Y1, NLY, EMNLY;
      Y1:= Y [1]; NLY:= N * L (X) * Y1;
      EMNLY:= EXP (-NLY);
      DF [1]:= 1 + EXP (PAR [1])
      + LN (3) * (Y [1] * EMNLY * SUM (J, 0, N-2, NLY ** J / FAC [J])
      - EMNLY * SUM (J, 0, N-1, NLY ** J / FAC [J]) / L (X));
      DERIV:= "TRUE"
"END" DERIV;

"BOOLEAN" "PROCEDURE" JAC DFDY (PAR, Y, X, FY);
"REAL" X; "ARRAY" PAR, Y, FY;
"BEGIN" "REAL" Y1, NLY, EMNLY;
      Y1:= Y [1]; NLY:= N * L (X) * Y1;
      EMNLY:= EXP (-NLY);
      FY [1, 1]:= LN (3) * EMNLY * SUM (J, 0, N-1, NLY ** J / FAC [J]);
      JAC DFDY:= "TRUE"
"END" JAC DFDY;

```



```

"PROCEDURE" MONITOR (POST, NCOL, HROW, PAR, RES, WEIGHT, NIS);
"VALUE" POST, NCOL, HROW, WEIGHT, NIS;
"INTEGER" POST, NCOL, HROW, WEIGHT, NIS; "ARRAY" PAR, RES;
OUTPUT (61, "("/5ZD,5B,N/)", POST, PAR [1]);

```

```

"REAL" "PROCEDURE" L (X); "VALUE" X; "REAL" X;
L:= 1 / (3 * X + 0.01);

```

```

FAC [0]:= M:= 1;
"FOR" I:=1 "STEP" 1 "UNTIL" 25 "DO" FAC [I]:= M:= M * I;

```

```

N:= 10;
PAR [1]:= 0; NBP:= 0;
IN [3]:= "-7; IN [4]:= "-7; IN [5]:= 50; IN [6]:= "-3;
IN [1]:= "-4; IN [2]:= "-7; FA:= 0; IN [0]:= "-14;
NN:= M:= NOBS:= 1; BP [0]:= BP [1]:= 0;
TIME:= CLOCK;
COMMUNICATION (1, FA, NN, M, NOBS, NBP, PAR, RES, BP, JTJINV, IN,
OUT, 0, 0);

```

```

PEIDE(1, 1, 1, NBP, PAR, RES, BP, JTJINV, IN, OUT, DERIV, JAC DFDY,
JAC DFDY, CALL YSTART, DATA, MONITOR);

```

```

TIME:= CLOCK - TIME;
COMMUNICATION (2, FA, NN, M, NOBS, NBP, PAR, RES, BP, JTJINV, IN,
OUT, 0, 0);

```

```

OUTPUT (61, "("/3/5B "("THE CALCULATION IN PEIDE CONSUMED")",
BZZD.DDBB, "("SECONDS")",*"), TIME)

```

```

"END"

```

STARTING VALUES OF THE PARAMETERS
+ .00000000 + 0

NUMBER OF EQUATIONS : 1
NUMBER OF OBSERVATIONS: 1

```

MACHINE PRECISION                                ??.1"-13
RELATIVE LOCAL ERROR BOUND FOR INTEGRATION      ??.1"  -6
RELATIVE TOLERANCE FOR RESIDUE                  ??.10"  -6
ABSOLUTE TOLERANCE FOR RESIDUE                  ??.10"  -6
MAXIMUM NUMBER OF INTEGRATIONS TO PERFORM       1.50
RELATIVE STARTING VALUE OF LAMBDA                ??.10"  -2
RELATIVE MINIMAL STEPLENGTH                      ??.10"  -3

```

THERE ARE NO BREAK-POINTS

THE ALPHA-POINT OF THE F-DISTRIBUTION : 0.00

```

1      +0.0000000000000000"+000
2      +0.0000000000000000"+000
1      +0.0000000000000000"+000
1      +4.0853574590190"-001
1      +4.0522950596640"-001
1      +4.0486250266894"-001
1      +4.0482209170912"-001
1      +4.0481764823811"-001
1      +4.0481715984346"-001
1      +4.0481710617162"-001

```

NORMAL TERMINATION OF THE PROCESS

LAST INTEGRATION WAS PERFORMED WITHOUT BREAK-POINTS

EUCL. NORM OF THE LAST RESIDUAL VECTOR :.1590742" =7
 EUCL. NORM OF THE FIRST RESIDUAL VECTOR :.8490653" +0
 NUMBER OF INTEGRATIONS PERFORMED : 8
 LAST IMPROVEMENT OF THE EUCLIDEAN NORM :.1288565" =6
 CONDITON NUMBER OF J'*J :.1000000" +1
 LOCAL ERROR BOUND WAS EXCEEDED (MAXIM.): 0

THE LAST RESIDUAL VECTOR

I RES(I)
 1 +.1591" =7

THE CALCULATION IN PEIDE CONSUMED 15.31 SECONDS

C PROBLEEM 3.1.4.2
C M.B.V. D02AGF (NAG)
C

```

PROGRAM MASTER2 (OUTPUT, TAPE 6 = OUTPUT)
REAL MAT
DIMENSION PARAM (1), PARERR (1), ERROR (1), C (2, 1), MAT (1, 1),
1 COPY (1, 1), WSPACE (1, 9), G (1), G1 (1)
EXTERNAL AUX, PRSOL, RNAUX, BCAUX
PARAM(1)=0.0
N1=1
N=1
H=0.00001
ERROR(1)=1.0E-7
PARERR(1)=1.0E-7
M1=2
IFAIL=1
CALL D02AGF (H,ERROR,PARERR,PARAM,C,N,N1,M1,AUX,BCAUX,
1 RNAUX,PRSOL,MAT,COPY,WSPACE,G,G1,IFAIL)
WRITE(6,9002)IFAIL
9002 FORMAT(1H0,7HIFAIL= ,I3/17H0FINAL PARAMETERS)
WRITE(6,9003)(PARAM(I),I=1,N1)
9003 FORMAT(1H ,3E16.8)
WRITE(6,9004)
9004 FORMAT(1H0,14HFINAL SOLUTION/26H X=VALUE AND COMPONENTS OF,
19H SOLUTION)
CALL RNAUX(X,X1,R,PARAM)
H = X1 - X
DO 1 I = 1, 2
DUM=X+FLOAT(I-1)*H
WRITE(6,9005)DUM,(C(I,J),J=1,N)
9005 FORMAT(1H ,F10.3,3E15.6)
1 CONTINUE
STOP
END

```

```

SUBROUTINE PRSOL(PARAM,RESID,N1,ERR)
DIMENSION PARAM(N1),ERR(N1)
WRITE(6,9000)(PARAM(1),ERR(1))
9000 FORMAT(12H PARAMETER 1,E13.7,/,12H RESIDU 1,E11.3,/)
RETURN
END

```

```

SUBROUTINE AUX(F,Y,X,PARAM)
REAL L, NLY
DIMENSION F (1), Y (1), PARAM (1)
N = 10
L = 1 / (3 * X + 0.01)
YY = Y (1)
NLY = N * L * YY
JFAC = 1
SOM = 0.0
NN = N - 2
DO 1 J = 1, NN
JFAC = JFAC * J
SOM = SOM + NLY ** J / JFAC
1 CONTINUE
SOM1 = SOM + 1.0
SOM2 = SOM1 + NLY ** (N - 1) / (JFAC * (N - 1))
F (1) = 1.0 + EXP (PARAM (1)) + ALOG (3.0) * EXP (-NLY) *
1 (YY * SOM1 - SOM2 / L)
RETURN
END

SUBROUTINE RNAUX(X,X1,R,PARAM)
DIMENSION PARAM(1)
X = 0.0
X1 = 1.0
R = 1.0
RETURN
END

SUBROUTINE BCAUX(G,G1,PARAM)
DIMENSION G(1),G1(1),PARAM(1)
G (1) = 0.0
G1 (1) = 2.0
RETURN
END

```

PARAMETER : 10.
RESIDU : .849E+00

PARAMETER : .4779490E+00
RESIDU : -.179E+00

PARAMETER : .3771742E+00
RESIDU : .658E-01

PARAMETER : .4050347E+00
RESIDU : -.528E-03

PARAMETER : .4048113E+00
RESIDU : .838E-05

PARAMETER : .4048149E+00
RESIDU : -.133E-06

IFAIL= 0

FINAL PARAMETERS
.40481483E+00

FINAL SOLUTION
X=VALUE AND COMPONENTS OF SOLUTION
0.000 0.
1.000 .200000E+01

PROBLEEM 3.1.4.3
M.B.V. PEIDE (NUMAL)

```
"BEGIN" "INTEGER" M, NN, NOBS, NBP;
"ARRAY" PAR [1 : 1], RES [1 : 1], JTJINV [1 : 1, 1 : 1], IN [0 : 6],
      OUT [1 : 8]; "INTEGER" "ARRAY" BP [0 : 1];
"REAL" TIME, FA;

"PROCEDURE" PEIDE (N, M, NO, NB, P, R, BP, J, I, O, D, JDY, JDP, CY,
      DA, MO); "CODE" 34444;
"PROCEDURE" COMMUNICATION (P, F, M, N, NO, NP, PA, R, BP, J, I, O, W,
      NI); "CODE" 34445;

"BOOLEAN" "PROCEDURE" JAC DFDP (PAR, Y, X, FP);
"REAL" X; "ARRAY" PAR, Y, FP;
"BEGIN" FP [1, 1] := FP [2, 1] := 0;
      JAC DFDP := "TRUE"
"END" JAC DFDP;

"PROCEDURE" DATA (NOBS, TOBS, OBS, COBS);
"VALUE" NOBS; "INTEGER" NOBS; "ARRAY" TOBS, OBS, COBS;
"BEGIN"
      TOBS [0] := 0; TOBS [1] := 1; COBS [1] := 1; OBS [1] := 0
"END" DATA;

"PROCEDURE" CALL YSTART (PAR, Y, YMAX);
"ARRAY" PAR, Y, YMAX;
"BEGIN" Y [1] := 0; Y [2] := PAR [1];
      YMAX [1] := YMAX [2] := 1;
      Y [14] := 1
"END" CALL YSTART;

"BOOLEAN" "PROCEDURE" DERIV (PAR, Y, X, DF);
"REAL" X; "ARRAY" PAR, Y, DF;
"BEGIN"
      DF [1] := Y [2];
      DF [2] := EXP (Y [1]);
      DERIV := "TRUE"
"END" DERIV;

"BOOLEAN" "PROCEDURE" JAC DFDY (PAR, Y, X, FY);
"REAL" X; "ARRAY" PAR, Y, FY;
"BEGIN"
      FY [1, 1] := FY [2, 2] := 0;
      FY [1, 2] := 1; FY [2, 1] := EXP (Y [1]);
      JAC DFDY := "TRUE"
"END" JAC DFDY;

"PROCEDURE" MONITOR (POST, NCOL, NROW, PAR, RES, WEIGHT, NIS);
"VALUE" POST, NCOL, NROW, WEIGHT, NIS;
"INTEGER" POST, NCOL, NROW, WEIGHT, NIS; "ARRAY" PAR, RES;
OUTPUT (61, "("/SZD, 5B, N/)", POST, PAR [1]);

PAR [1] := 1; NBP := 0;
IN [3] := "-8; IN [4] := "-8; IN [5] := 50; IN [6] := "-10;
IN [1] := "-4; IN [2] := "-8; FA := 0; IN [0] := "-14;
NN := 2; M := NOBS := 1; BP [0] := BP [1] := 0;
TIME := CLOCK;
```

```

COMMUNICATION (1, FA, NN, M, NOBS, NBP, PAR, RES, BP, JTJINV, IN,
               OUT, 0, 0);

```

```

PEIDE(NN, 1, 1, NBP, PAR, RES, BP, JTJINV, IN, OUT, DERIV, JAC DFDY,
      JAC DFDY, CALL YSTART, DATA, MONITOR);

```

```

TIME:= CLOCK - TIME;

```

```

COMMUNICATION (2, FA, NN, M, NOBS, NBP, PAR, RES, BP, JTJINV, IN,
               OUT, 0, 0);

```

```

OUTPUT (61, ("3/5B ("THE CALCULATION IN PEIDE CONSUMED")",
             BZZD.DDBB, ("SECONDS"),*), TIME)

```

```

"END"

```


NORMAL TERMINATION OF THE PROCESS

LAST INTEGRATION WAS PERFORMED WITHOUT BREAK-POINTS

EUCL. NORM OF THE LAST RESIDUAL VECTOR :.5051082" =8
 EUCL. NORM OF THE FIRST RESIDUAL VECTOR :.1841818" +1
 NUMBER OF INTEGRATIONS PERFORMED : 8
 LAST IMPROVEMENT OF THE EUCLIDEAN NORM :.9030730" =7
 CONDITON NUMBER OF J'*J :.1000000" +1
 LOCAL ERROR BOUND WAS EXCEEDED (MAXIM,); 0

THE LAST RESIDUAL VECTOR

I RES(I)
 1 +.5051" =8

THE CALCULATION IN PEIDE CONSUMED 18.96 SECONDS

PROBLEEM 3.1.4.3
M.B.V. FEMLAG (NUMAL)

```
"BEGIN" "INTEGER" N, III; "REAL" XXX, YYY, C;
"ARRAY" E [1 : 6];

"PROCEDURE" FEMLAG (X, Y, N, R, F, ORDE, E); "CODE" 33301;

"FOR" N:= 5, 10, 20 "DO"
"BEGIN" "INTEGER" ORDE, I, IT; "REAL" NORM;
"ARRAY" XX, YY, YN [0 : N];

"REAL" "PROCEDURE" Y (X); "VALUE" X; "REAL" X;
"IF" X = XXX "THEN" Y:= YYY "ELSE"
"BEGIN" "INTEGER" I; "REAL" XXI, YYI;
"IF" X < XX [III] "THEN" I:= 0 "ELSE" I:= III;
"FOR" I:= I "WHILE" X > XX [I + 1] "DO" I:= I + 1;
XXX:= X; III:= I; XXI:= XX [I]; YYI:= YY [I];
YYY:= YYI + (YY [I + 1] - YYI) * (XXX - XXI) / (XX [I + 1] - XXI);
Y:= YYY
"END" Y;

"REAL" "PROCEDURE" R (X); "VALUE" X; "REAL" X;
R:= EXP (Y (X));

"REAL" "PROCEDURE" F (X); "VALUE" X; "REAL" X;
"BEGIN" "REAL" YX;
YX:= Y (X); F:= EXP (YX) * (YX - 1)
"END" F;

"REAL" "PROCEDURE" NORM 2 (X, Y); "ARRAY" X, Y;
"BEGIN" "INTEGER" I; "REAL" S;
S:= 0;
"FOR" I:= 0 "STEP" 1 "UNTIL" N "DO" S:= S + (X [I] - Y [I]) ** 2;
NORM 2:= S
"END" NORM 2;

ORDE:= 2; III:= 0; XXX:= "+300; C:= 0.66802784575;
E [1]:= E [4]:= 1; E [2]:= E [3]:= E [5]:= E [6]:= 0;

"FOR" I:= 0 "STEP" 1 "UNTIL" N "DO"
"BEGIN" XX [I]:= I / N; YN [I]:= 0 "END";

"FOR" IT:= 0, IT + 1 "WHILE" NORM > "-9, -4, -6 "DO"
"BEGIN" "IF" IT < 0 "THEN" ORDE:= -IT;
"FOR" I:= 0 "STEP" 1 "UNTIL" N "DO" YY [I]:= YN [I];
FEMLAG (XX, YN, N, R, F, ORDE, E);
NORM:= SQRT (NORM 2 (YY, YN));
OUTPUT (61, "("("VERSCHIL MET VORIG RESULTAAT ="), 2ZD.9D,
"(", ORDE V.D. METHODE = "), ZD, /"), NORM, ORDE)
"END";
OUTPUT (61, "("(/, 8B, "("X = WAARDE"), 9B, "("Y = WAARDE"),
9B, "("EXACTE OPLOSSING"), 2/"");
"FOR" I:= 0 "STEP" 1 "UNTIL" N "DO"
OUTPUT (61, "("5B, 3 (-2ZD.9D, 5B), /"), XX [I], YY [I],
2 * LN (C / COS (C * (XX [I] - 0.5))) + LN (2.0));
OUTPUT (61, "("*)")
"END"
"END"
```

```

VERSCHIL MET VORIG RESULTAAT = 0.184646567 ,ORDE V.D. METHODE = 2
VERSCHIL MET VORIG RESULTAAT = 0.000836337 ,ORDE V.D. METHODE = 2
VERSCHIL MET VORIG RESULTAAT = 0.000000016 ,ORDE V.D. METHODE = 2
VERSCHIL MET VORIG RESULTAAT = 0.000000000 ,ORDE V.D. METHODE = 2
VERSCHIL MET VORIG RESULTAAT = 0.000533397 ,ORDE V.D. METHODE = 4
VERSCHIL MET VORIG RESULTAAT = 0.000001004 ,ORDE V.D. METHODE = 6

```

X - WAARDE	Y - WAARDE	EXACTE OPLOSSING
0.000000000	0.000000000	=0.000000006
0.200000000	=0.073267595	=0.073268387
0.400000000	=0.109236582	=0.109237726
0.600000000	=0.109236582	=0.109237726
0.800000000	=0.073267595	=0.073268387
1.000000000	0.000000000	=0.000000006

```

VERSCHIL MET VORIG RESULTAAT = 0.261939722 ,ORDE V.D. METHODE = 2
VERSCHIL MET VORIG RESULTAAT = 0.001157893 ,ORDE V.D. METHODE = 2
VERSCHIL MET VORIG RESULTAAT = 0.000000022 ,ORDE V.D. METHODE = 2
VERSCHIL MET VORIG RESULTAAT = 0.000000000 ,ORDE V.D. METHODE = 2
VERSCHIL MET VORIG RESULTAAT = 0.000190826 ,ORDE V.D. METHODE = 4
VERSCHIL MET VORIG RESULTAAT = 0.000000091 ,ORDE V.D. METHODE = 6

```

X - WAARDE	Y - WAARDE	EXACTE OPLOSSING
0.000000000	0.000000000	=0.000000006
0.100000000	=0.041435594	=0.041435629
0.200000000	=0.073268332	=0.073268387
0.300000000	=0.095799784	=0.095799853
0.400000000	=0.109237649	=0.109237726
0.500000000	=0.113703582	=0.113703662
0.600000000	=0.109237649	=0.109237726
0.700000000	=0.095799784	=0.095799853
0.800000000	=0.073268332	=0.073268387
0.900000000	=0.041435594	=0.041435629
1.000000000	0.000000000	=0.000000006

VERSCHIL MET VORIG RESULTAAT = 0,370668240 ,ORDE V.D. METHODE = 2
 VERSCHIL MET VORIG RESULTAAT = 0,001629765 ,ORDE V.D. METHODE = 2
 VERSCHIL MET VORIG RESULTAAT = 0,000000030 ,ORDE V.D. METHODE = 2
 VERSCHIL MET VORIG RESULTAAT = 0,000000000 ,ORDE V.D. METHODE = 2
 VERSCHIL MET VORIG RESULTAAT = 0,000067653 ,ORDE V.D. METHODE = 4
 VERSCHIL MET VORIG RESULTAAT = 0,000000008 ,ORDE V.D. METHODE = 6

X = WAARDE	Y = WAARDE	EXACTE OPLOSSING
0,000000000	0,000000000	=0,000000006
0,050000000	=0,021940976	=0,021940983
0,100000000	=0,041435621	=0,041435629
0,150000000	=0,058531193	=0,058531201
0,200000000	=0,073268379	=0,073268387
0,250000000	=0,085681701	=0,085681709
0,300000000	=0,095799844	=0,095799853
0,350000000	=0,103645927	=0,103645936
0,400000000	=0,109237717	=0,109237726
0,450000000	=0,112587791	=0,112587801
0,500000000	=0,113703652	=0,113703662
0,550000000	=0,112587791	=0,112587801
0,600000000	=0,109237717	=0,109237726
0,650000000	=0,103645927	=0,103645936
0,700000000	=0,095799844	=0,095799853
0,750000000	=0,085681701	=0,085681709
0,800000000	=0,073268379	=0,073268387
0,850000000	=0,058531193	=0,058531201
0,900000000	=0,041435621	=0,041435629
0,950000000	=0,021940976	=0,021940983
1,000000000	0,000000000	=0,000000006

C PROBLEM 3.1.4.3
C M.B.V. D02ADF (NAG)
C

```

PROGRAM MASTER (OUTPUT, TAPE 6 = OUTPUT)
EXTERNAL DERIV, OUT
DIMENSION U (2, 2), V (2, 2), E (2), Y (11, 2), G (2, 3), INT (2),
1 WSP (2, 5), WS (2), YO (2), EE (2), AA (2), BB (2), CC (2), DD (2)
U (1, 1) = 0.0
V (1, 1) = 0.0
U (1, 2) = 0.0
V (1, 2) = 0.0
U (2, 1) = 1.0
V (2, 1) = 1.0
U (2, 2) = -1.0
V (2, 2) = 1.0
C = 0.6680278475
R = 0.5
X = 0.0
X1 = 1.0
E (1) = 1E-7
E (2) = 1E-7
H = 0.000001
N = 2
M1 = 11
IFAIL = 1
WRITE (6, 98)
98  FORMAT (28H1  CURRENT PARAMETER VALUES,
1 4X, 23HERRORS IN Y[I] AT X = R, 6X, 17HSUM (ERRORS ** 2))
CALL D02ADF (U, V, E, Y, H, X, X1, R, N, M1, DERIV, OUT, G,
1 INT, WSP, WS, YO, EE, AA, BB, CC, DD, IFAIL)
IF (M1.GT. 0) GOTO 3
WRITE (6, 99)
99  FORMAT (16H0 FINAL SOLUTION, 18X, 23H EXACT SOLUTION OF Y[I])
DO 2 I = 1, 11
X = (I - 1) / 10.0
YY = 2 * ALOG (C / COS (C * (X - 0.5))) + ALOG (2.0)
WRITE (6, 100) X, (Y (I, J), J = 1, 2), YY
100 FORMAT (1H, F4.1, 3F14.10)
2  CONTINUE
3  WRITE (6, 101) M
101 FORMAT (13H ERROR NUMBER, I3)
10  CONTINUE
STOP
END

```

```

SUBROUTINE DERIV (G, Z, X)
  DIMENSION G (2), Z (2)
  G (1) = Z (2)
  G (2) = EXP (Z (1))
  RETURN
END

```

```

SUBROUTINE OUT (A, B, F, R, N)
  DIMENSION A (N, 2), B (N, 2), F (N), W (2)
  J = 1
  DO 3 K = 1, 2
    DO 2 I = 1, N
      IF (B (I, K) .EQ. 0.0) GOTO 2
      W (J) = A (I, K)
      J = J + 1
2    CONTINUE
3    CONTINUE
  WRITE (6, 100) (W (J), J = 1, 2), (F (I), I = 1, 2), R
100  FORMAT (1H0, 2F14.10, 2E13.4, E15.4)
  RETURN
END

```

CURRENT PARAMETER VALUES		ERRORS IN Y[I] AT X = R		SUM (ERRORS ** 2)
1.0000000000	-1.0000000000	.1549E-08	-.3372E+01	.1137E+02
-.4081784020	.4123032897	-.2144E-02	-.1193E+00	.1423E+01
-.4600197170	.4602415240	-.1152E-03	-.7816E-02	.6111E+04
-.4633930821	.4634068291	-.7141E-05	-.5192E-03	.2696E+06
-.4636166786	.4636175736	-.4649E-06	-.3452E-04	.1192E+08
-.4636325931	.4636325931	-.1616E-12	-.9497E-11	.9023E-22
-.4636325931	.4636325931	0.	-.1554E-14	.2416E+29

FINAL SOLUTION		EXACT SOLUTION OF Y[I]	
0.0	0.0000000000	-.4636325931	.0000000002
.1	-.0414356219	.3657558958	-.0414356231
.2	-.0732683795	-.2713999484	-.0732683816
.3	-.0957998449	-.1795742504	-.0957998475
.4	-.1092377183	.0893852455	-.1092377212
.5	-.1137036534	.0000000009	-.1137036563
.6	-.1092377183	.0893852455	-.1092377212
.7	-.0957998449	.1795742504	-.0957998475
.8	-.0732683795	.2713999484	-.0732683816
.9	-.0414356219	.3657558958	-.0414356231
1.0	0.0000000000	.4636325931	.0000000002

ERROR NUMBER 0

3. RANDWAARDEPROBLEMEN

3.2. Elliptische randwaardeproblemen voor partiële differentiaalvergelijkingen

door M. Bakker en P.J. van der Houwen
(Mathematisch Centrum)

3.2.1. Inleiding

Evenals het geval is voor beginwaardeproblemen bestaat er voor randwaardeproblemen voor partiële differentiaalvergelijkingen geen algemeen toepasbare programmatuur. Zoals gebruikelijk is in de numerieke wiskunde vervangt men het probleem door een ander probleem waarvoor men de gereedschappen wel beschikbaar heeft; de oplossing van het nieuwe probleem moet natuurlijk wel een beetje lijken op de oplossing van het oorspronkelijke probleem. We zullen twee methoden bespreken om elliptische differentiaalvergelijkingen in een stelsel van lineaire vergelijkingen (als de elliptische vergelijking zelf lineair is) of niet-lineaire vergelijkingen over te voeren. De eerste methode, welke het langste toepassing vindt, is de *eindige-differentiemethode*, de tweede methode is de *eindige-elementenmethode* welke de laatste jaren zeer in de belangstelling staat. Beide methoden reduceren het randwaardeprobleem tot een in het algemeen zeer groot stelsel vergelijkingen met een "ijle" coëfficiëntenmatrix of, in het geval van niet-lineaire problemen, een "ijle" Jacobiaan (dit is de matrix van partiële afgeleiden). Met ijl wordt bedoeld dat de matrix overwegend elementen gelijk 0 heeft. De oplossing van dergelijke grote ijle stelsels van duizenden vergelijkingen vraagt een geheugenzuinige numerieke oplossingsmethode. We zullen twee oplossingsmethoden aan de orde stellen: de *methode van Richardson* en de *geconjugeerde-gradiëntenmethode*. Beide kunnen volstaan met een aantal geheugenplaatsen dat evenredig met het aantal vergelijkingen is.

Een en ander zal toegelicht worden aan de hand van het volgende elliptische randwaardeprobleem

$$\frac{\partial^2 u}{\partial x^2} + \frac{\partial^2 u}{\partial y^2} - 10 u = -1, \quad 0 \leq x, y \leq 1,$$

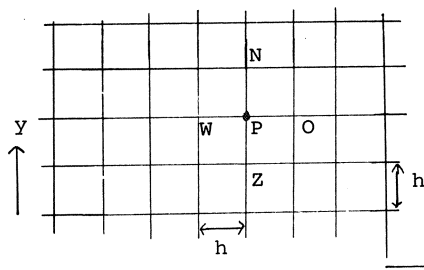
(3.2.1.1)

$$u(x,0) = u(x,1) = u(0,y) = u(1,y) = 0.$$

3.2.2. Discretisering door middel van eindige differenties

In de eindige-differentiemethode worden differentiaties door differentiequotienten vervangen. Dit proces wordt discretisering of discretisatie genoemd en is identiek aan de in paragraaf 2.2.3 beschreven semi-discreti-

satie van begin-randwaardeproblemen. In het bijzonder zullen we de discretisering van vergelijking (3.2.1.1) bespreken. Daartoe kiezen we in het (x,y) -vlak een uniform rooster met vierkante mazen met zijde h (zie figuur 3.2.1)



Figuur 3.2.1 Uniform rooster in het (x,y) -vlak

De eenvoudigste 2^e orde discretisering van $\partial^2 u / \partial x^2 + \partial^2 u / \partial y^2$ in een punt P wordt gegeven door (vierkante haken geeft discretisering aan)

$$(3.2.2.1) \quad \left[\frac{\partial^2 u}{\partial x^2} + \frac{\partial^2 u}{\partial y^2} \right] = \frac{U_W - 2U_P + U_O}{h^2} + \frac{U_N - 2U_P + U_Z}{h^2},$$

waarin $\partial^2 u / \partial x^2$ en $\partial^2 u / \partial y^2$ dus eenvoudig door centrale differentiequotienten zijn vervangen. Een handige notatie voor formules als (3.2.2.1) is de volgende:

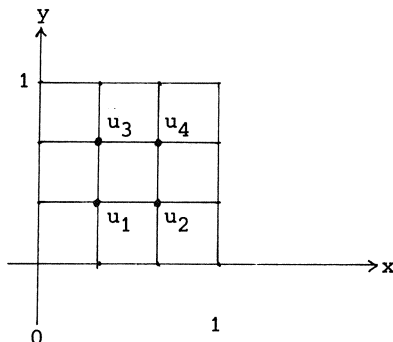
$$(3.2.2.1') \quad \left[\frac{\partial^2}{\partial x^2} + \frac{\partial^2}{\partial y^2} \right] = \frac{1}{h^2} \begin{bmatrix} 0 & 1 & 0 \\ 1 & -4 & 1 \\ 0 & 1 & 0 \end{bmatrix}$$

Hierin noteert men de gewichten die de functie U in de verschillende roosterpunten uit de differentieformule heeft, in een array en wel zodanig dat de plaatsen in dit array corresponderen met de plaats van de roosterpunten in het rooster. Voorstelling (3.2.2.1') wordt ook wel de *molecuulvoorstelling* genoemd.

Vervangt men in (3.2.1.1) de differentiaaloperator $\partial^2 / \partial x^2 + \partial^2 / \partial y^2$ door de differentieoperator (3.2.2.1'), dan gaat het randwaardeprobleem over in een lineair stelsel

$$(3.2.2.2) \quad A\vec{u} = \vec{f},$$

waarin \vec{u} de benadering van de oplossing $u(x,y)$ in de roosterpunten voorstelt en \vec{f} de inhomogene termen van de differentiaalvergelijking en de randvoorwaarden bevat. Als illustratie stellen we het stelsel (3.2.2.2) op voor het geval waarin het vierkant $0 \leq x \leq 1$, $0 \leq y \leq 1$ in 9 vierkantjes onderverdeeld is (zie figuur 3.2.2). Voor u_1 vinden we dan



Figuur 3.2.2 Rooster met $h = 1/3$

$$\left(\frac{1}{1/3}\right)^2 [-4u_1 + u_3 + u_2] - 10u_1 = -1$$

en soortgelijke vergelijkingen voor u_2 , u_3 en u_4 . Aldus komen we tot het stelsel

$$(3.2.2.2') \begin{pmatrix} -46 & 9 & 9 & 0 \\ 9 & -46 & 0 & 9 \\ 9 & 0 & -46 & 9 \\ 0 & 9 & 9 & -46 \end{pmatrix} \begin{pmatrix} u_1 \\ u_2 \\ u_3 \\ u_4 \end{pmatrix} = - \begin{pmatrix} 1 \\ 1 \\ 1 \\ 1 \end{pmatrix}$$

In de numerieke oplossingsmethoden voor stelsels afkomstig van randwaardeproblemen voor partiële differentiaalvergelijkingen speelt het spectrum van de coëfficiëntenmatrix vaak een belangrijke rol. In het bovenstaande geval van $h = 1/3$ zien we direct dat de eigenwaarden reëel zijn (A is symmetrisch) en, krachtens de bekende stelling van Gerschgorin, dat de eigenwaarden in een cirkel met middelpunt -46 en straal 18 liggen. Derhalve liggen de eigenwaarden in het interval $[-64, -28]$. Voor een willekeurige maaswijdte h geldt ook dat A symmetrisch is en vinden we met Gerschgorin dat de eigenwaarden in het interval

$$\left[-\frac{8}{h^2} - 10, -10 \right]$$

liggen. Uiteraard is dit een wat ruwe schatting. Voor een nauwkeuriger analyse verwijzen we naar de literatuur (e.g. FORSYTHE & WASOW [1961]).

3.2.3. De eindige elementenmethode

De oplossing u van (3.2.1.1) minimaliseert de convexe functionaal

$$I[v] = \iint_R [v_x^2 + v_y^2 + 10v^2 - 2v] dx dy$$

over de ruimte V van functies die continu zijn op $R = [0,1] \times [0,1]$ en nul zijn op ∂R . Voor u geldt de betrekking

$$(u_x, v_x) + (u_y, v_y) + 10(u, v) = (1, v), \quad v \in V,$$

waarbij $(,)$ het inproduct over R betekent. De Ritz-Galerkin-methode bestaat hierin dat we u benaderen door $I[v]$ te minimaliseren over een eindig-dimensionale deelruimte S van V . Als $\{\phi_1, \dots, \phi_N\}$ een basis is van S , dan wordt de approximatie $u_s \in S$ van u bepaald door

$$(3.2.3.1) \quad \left(\frac{\partial u_s}{\partial x}, \frac{\partial \phi_i}{\partial x} \right) + \left(\frac{\partial u_s}{\partial y}, \frac{\partial \phi_i}{\partial y} \right) + 10(u_s, \phi_i) = (1, \phi_i), \quad i = 1, \dots, N.$$

Schrijven we $u_s = \sum_{i=1}^N q_i \phi_i(x, y)$, dan wordt $q = (q_1, \dots, q_N)^T$ bepaald door

$$\vec{A}q = \vec{b};$$

$$(3.2.3.2) \quad A = \left(\left(\frac{\partial \phi_i}{\partial x}, \frac{\partial \phi_j}{\partial x} \right) + \left(\frac{\partial \phi_i}{\partial y}, \frac{\partial \phi_j}{\partial y} \right) + 10(\phi_i, \phi_j) \right),$$

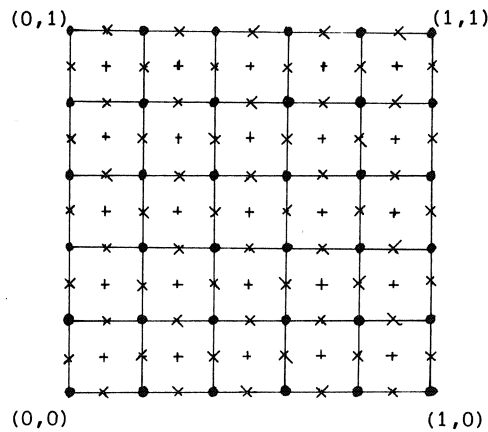
$$\vec{b} = ((1, \phi_i)).$$

De eindige-elementenmethode nu bestaat hierin dat S zo gekozen wordt dat

1. u_s voldoende nauwkeurig is;
2. het stelsel (3.2.3.2) een ijle matrix A heeft en dus ook voor zeer grote N nog oplosbaar is.

We verdelen R in $M = n^2$ vierkantjes van gelijke oppervlakte $\sigma = h^2$, h de maaswijdte. Als roosterpunten kiezen we

1. de hoekpunten van de vierkantjes: \bullet ;
2. de middens der zijden : \times ;
3. de middens der vierkantjes : $+$.



Figuur 3.2.3 Uniforme elementen

Voor S kiezen we de ruimte van functies die

1. continu zijn op R en nul op ∂R ;
2. op ieder deelvierkantje e_k een bikwadratisch polynoom zijn d.w.z. een polynoom van de vorm $(a_0 + a_1x + a_2x^2)(b_0 + b_1y + b_2y^2)$.

Om een basis voor S te definiëren nummeren we de roosterpunten van 1 tot en met $N = (2n-1)^2$. De basisfuncties van S zijn bikwadratische polynomen $\phi_i(x,y)$ met de eigenschap

$$\phi_i(P_j) = \delta_{ij}, \quad 1 \leq i, j \leq N.$$

Het is gemakkelijk te verifiëren dat $\phi_i(x,y) \equiv 0$ op die vierkantjes waartoe P_i niet behoort. Bijgevolg is $a_{ij} = 0$ als P_i en P_j niet tot hetzelfde vierkantje behoren. Een blik op figuur 3.2.3 leert dat roosterpunten \bullet aan ten hoogste 24 andere roosterpunten zijn gekoppeld, roosterpunten \times aan ten hoogste 14 en roosterpunten $+$ aan ten hoogste 8 andere roosterpunten.

We werken in formule (3.2.3.2) uit voor de verschillende roosterpunten. Voor de integratie maken we gebruik van de tweedimensionale regel van Simpson. Voor een rechtvaardiging hiervan zie STRANG [1972].

Om compact aan te geven hoe de verschillende roosterpunten aan elkaar gekoppeld zijn, gebruiken we eveneens de molecuulnotatie. We krijgen dan voor de verschillende soorten roosterpunten de volgende moleculen.

Roosterpunten •

$$\frac{1}{9} \begin{bmatrix} 0 & 0 & 1 & 0 & 0 \\ 0 & 0 & -8 & 0 & 0 \\ 1 & -8 & 28+10h^2 & -8 & 1 \\ 0 & 0 & -8 & 0 & 0 \\ 0 & 0 & 1 & 0 & 0 \end{bmatrix} ;$$

Roosterpunten x

$$\frac{2}{9} \begin{bmatrix} 0 & 0 & -4 & 0 & 0 \\ 1 & -8 & 22+10h^2 & -8 & 1 \\ 0 & 0 & -4 & 0 & 0 \end{bmatrix} \text{ of } \frac{2}{9} \begin{bmatrix} 0 & 1 & 0 \\ 0 & -8 & 0 \\ -4 & 22+10h^2 & -4 \\ 0 & -8 & 0 \\ 0 & 1 & 0 \end{bmatrix} ;$$

Roosterpunten +

$$\begin{bmatrix} 0 & -4 & 0 \\ -4 & 16+10h^2 & -4 \\ 0 & -4 & 0 \end{bmatrix} .$$

Merk op dat er geen "kruiskoppeling" optreedt. Bijgevolg is de ijlkheid van A aanzienlijk groter dan verwacht mocht worden. Het rechterlid van (3.2.3.2) is als volgt bepaald

$$b_i = \begin{aligned} & \frac{4}{9} h^2, \text{ voor } + \text{ roosterpunten,} \\ & \frac{2}{9} h^2, \text{ voor } x \text{ roosterpunten,} \\ & \frac{1}{9} h^2, \text{ voor } \bullet \text{ roosterpunten.} \end{aligned}$$

3.2.4. De methode van Richardson

Stel dat we het niet-lineaire stelsel

$$(3.2.4.1) \quad \vec{F}(\vec{u}) = \vec{0}$$

willen oplossen, waarin \vec{F} een gegeven vectorfunctie in \vec{u} is. In het bijzonder beschouwen we stelsels waarvoor de Jacobiaan

$$(3.4.2.4) \quad J(\vec{u}) = \left(\frac{\partial F_r(\vec{u})}{\partial u_k} \right), \quad \begin{array}{l} r = \text{rij-index} \\ k = \text{kolomindex} \end{array}$$

een *ijle* matrix is met *positieve* eigenwaarden. Voorbeeld van een dergelijk stelsel is het door semi-discretisatie van probleem (3.2.1.1) verkregen stelsel (3.2.2.2). Dit stelsel is *lineair* zodat $J = A$. Een voorbeeld van een *niet-lineair* stelsel levert de discretisatie van het probleem

$$(3.2.4.3) \quad \frac{\partial^2 u}{\partial x^2} + \frac{\partial^2 u}{\partial y^2} - 10 \sinh(10 u) = 0,$$

met randvoorwaarden van de eerste soort langs de randen $x = 0$, $x = 1$, $y = 0$ en $y = 1$. Dit probleem is de twee-dimensionale vorm van een probleem van Troesch (zie ROBERTS en SHIPMAN [1972]). Discretisering van de Laplace-operator leidt tot het stelsel

$$(3.2.4.3') \quad A\vec{u} - \vec{g}(\vec{u}) = \vec{f},$$

waarin A een matrix is, \vec{f} een constante vector en de componenten van $\vec{g}(\vec{u})$ door $10 \sinh(10 u_j)$ gegeven worden. Het is duidelijk dat de Jacobiaan van dit stelsel gegeven wordt door

$$J(\vec{u}) = A - D(\vec{u}),$$

waarin $D(\vec{u})$ een diagonaalmatrix is met diagonaalelementen $d_{jj} = 100 \cosh(10 u_j)$.

We beschouwen het iteratieproces

$$(3.2.4.4) \quad \vec{u}_{n+1} = \alpha_n \vec{u}_n - \omega_n \vec{F}(\vec{u}_n) + (1-\alpha_n) \vec{u}_{n-1}, \quad n = 1, 2, \dots$$

De vectoren \vec{u}_0 en \vec{u}_1 moeten hierin als startvectoren opgegeven worden. De

parameters α_n en ω_n kiezen we zodanig dat de convergentiesnelheid zo groot mogelijk is. Daartoe substitueren we in (3.2.4.4)

$$\vec{u}_n = \vec{u} + \vec{v}_n,$$

waarin \vec{u} de oplossing van (3.2.4.1) is en \vec{v}_n de fout in de iterand \vec{u}_n . Voor \vec{u}_n voldoende dichtbij de oplossing \vec{u} geldt

$$(3.2.4.5) \quad \vec{v}_{n+1} = [\alpha_n - \omega_n J(\vec{u})] \vec{v}_n + (1 - \alpha_n) \vec{v}_{n-1}.$$

Stel dat we $\vec{u}_1 = \vec{u}_0$, dus $\vec{v}_1 = \vec{v}_0$ gekozen zouden hebben. Uit (3.2.4.5) volgt dan dat

$$(3.2.4.5') \quad \vec{v}_{n+1} = P_n(J(\vec{u})) \vec{v}_0,$$

waarin P_n een polynoom van de graad n is met $P_n(0) = 1$.

Blijkbaar moeten we de parameters α_n en ω_n zodanig kiezen dat $\|P_n(J(\vec{u}))\|$ zo klein mogelijk is. In de praktijk vervangt men deze opgave door een iets eenvoudiger probleemstelling: *kies P_n zodanig dat de eigenwaarden van $P_n(J(\vec{u}))$ minimaal zijn.* Zoals gezegd beperken we ons tot stelsels waarin $J(\vec{u})$ positieve eigenwaarden heeft. Stel dat men bovendien weet dat de eigenwaarden in een interval $[a, b]$ liggen. We krijgen dan de opgave het polynoom van de graad n te construeren dat de kleinste supremumnorm op het interval $[a, b]$ heeft met als nevenvoorwaarde $P_n(0) = 1$. In een heel ander verband werd dit minimaxprobleem al door Markoff in 1892 opgelost en is na hem nog vele malen herontdekt. In elk geval kende RICHARDSON [1910] de oplossing niet en stelde voor om de nulpunten gelijkelijk over het interval $[a, b]$ te verdelen. Pas in 1950 kwamen Shortley en Flanders met de optimale verdeling van de nulpunten aandragen. Er geldt namelijk dat de optimale $P_n(z)$ gegeven wordt door

$$(3.2.4.6) \quad P_n(z) \equiv \frac{T_n\left(\frac{b+a-2z}{b-a}\right)}{T_n\left(\frac{b+a}{b-a}\right)},$$

waarin T_n het Chebyshev-polynoom van de graad n voorstelt. Uit deze identificatie kunnen de parameters α_n en ω_n berekend worden; we vinden

$$(3.2.4.7) \quad \alpha_n = 2q \frac{T_n(q)}{T_{n+1}(q)}, \quad \omega_n = \frac{4}{b-a} \frac{T_n(q)}{T_{n+1}(q)}, \quad q = \frac{b+a}{b-a}.$$

Het aldus gedefinieerde iteratieproces wordt het 2^e orde *Richardson-proces* genoemd. Er bestaat ook een 1^e orde *Richardson-proces* waarin alle α_n 's gelijk 1 zijn, dus in feite een éénstaps-iteratieproces. Hiervoor geldt echter dat aan (3.2.4.6) voor een vaste, vooraf gekozen waarde van n voldaan wordt; noem deze waarde N dan geldt voor de parameters ω_n

$$(3.2.4.8) \quad \omega_n = 2 \left[a + b + (a-b) \cos \left(\frac{2n+1}{2N} \pi \right) \right]^{-1}, \quad n = 0, \dots, N-1.$$

Alhoewel dit proces zuiniger geheugengebruik heeft, weegt het nadeel dat van te voren een waarde van N opgegeven moet worden zo zwaar, dat de 2^e orde versie verre de voorkeur verdient; bovendien is het door (3.2.4.8) gegeneerde proces numeriek instabiel.

3.2.5. Het eliminatieproces

We hebben gezien dat het Richardson-proces vraagt naar het eigenwaarden-interval $[a, b]$. Hoe scherper dit interval opgegeven kan worden, des te efficiënter werkt de methode. Immers uit (3.2.4.6) volgt voor grote waarden van n

$$|P_n(z)| \leq T_n^{-1} \left(\frac{b+a}{b-a} \right) \approx \frac{1}{2} \exp n \left[\operatorname{arcosh} \left(\frac{b+a}{b-a} \right) \right].$$

Aangezien $\operatorname{arcosh}(x)$ een stijgende functie van x is, moet men

$$\frac{b+a}{b-a} = 1 + \frac{2a}{b-a}$$

zo groot mogelijk kiezen, d.w.z. het eigenwaardeninterval zo scherp mogelijk bepalen.

Het eliminatieproces is er op gebaseerd de waarde van a door $\tilde{a} > a$ te vervangen. Het gevolg is dat de eigenvectoren in de fout \vec{v}_n behorende bij de eigenwaarden binnen het interval $[\tilde{a}, b]$ des te sneller verdwijnen, maar dat de eigenvectoren behorende bij eigenwaarden uit het interval $[a, \tilde{a}]$ blijven hangen en wel in het bijzonder de eigenvector behorende bij de kleinste eigenwaarde δ_{\min} (zie figuur 3.2).

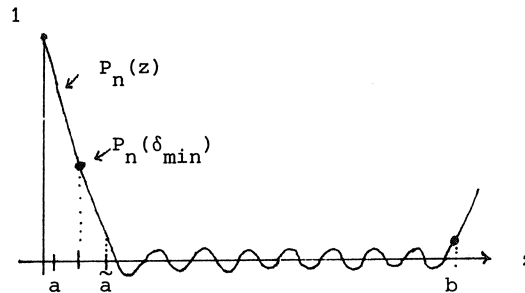


Fig. 3.2. Spectrum van $P_n(J(\vec{u}))$.

Het is mogelijk deze dominante eigenwaarde uit de successieve iteratieresultaten \vec{u}_n te berekenen. Beschikken we eenmaal over δ_{\min} dan kan de bijbehorende eigenvector geëlimineerd worden door de parameters α_n en ω_n zo te kiezen dat $P_n(z)$ een nulpunt in δ_{\min} heeft. De uitwerking van dit eliminatieproces is nogal technisch en valt buiten het kader van deze syllabus. We vermelden alleen dat de convergentieversnelling aanzienlijk is en verwijzen voor verdere details naar MC Tract 20.

3.2.6. Numerieke experimenten met de procedure RICHARDSON

Probleem (3.2.1.1) werd door middel van de benadering (3.2.2.1) getransformeerd tot een lineair stelsel van de vorm (3.2.2.2). Achtereenvolgens werd de maaswijdte $h = .025, .05$ en $.1$ gekozen. Op deze stelsels werd het in paragraaf 3.2.4 beschreven proces van Richardson toegepast, waarvan een ALGOL 60 implementatie in de bibliotheek NUMAL aanwezig is (zie de procedure RICHARDSON gedocumenteerd in section 5.2.1.2.2.1.2 van de NUMAL-manual). Voor de grenzen van het spectrum van de coëfficiëntenmatrix geldt volgens paragraaf 3.2.2, na vermenigvuldiging met $-h^2$ om positieve eigenwaarden te krijgen,

$$a = 10h^2, \quad b = 8 + 10h^2.$$

Een iets scherpere analyse dan die met Gerschgorin cirkels leidt tot de wat nauwere grenzen

$$a = 12h^2, \quad b = 8(1+h^2).$$

Aan het eind van dit hoofdstuk zijn het gebruikte programma en de verkregen resultaten weergegeven; het iteratieproces werd beëindigd wanneer de maximumnorm van het residu $h^2(\vec{A}\vec{u}_n - \vec{f})$ gezakt was beneden 10^{-5} . Een onderlinge vergelijking van deze resultaten laat zien dat de numerieke oplossing met $h = .1$ in 1 à 2 cijfers, en die met $h = .05$ in 2 à 3 cijfers overeenstemt met de voor $h = .025$ verkregen oplossing.

3.2.7. De geconjugeerde-gradiëntenmethode

De geconjugeerde gradiëntenmethode (af te korten als CG-methode) is een proces waardoor het n-dimensionale lineaire stelsel

$$(3.2.7.1) \quad \vec{A}\vec{u} = \vec{b}, \quad \vec{A} \text{ symmetrisch positief definit},$$

iteratief wordt opgelost in ten hoogste n stappen. Een van de varianten, ontleend aan REID [1971] is de volgende:

$$(3.2.7.2) \quad \begin{aligned} \vec{r}_0 &= \vec{p}_0 = \vec{A}\vec{u}_0 - \vec{b} \\ \vec{u}_{l+1} &= \vec{u}_l - \alpha_l \vec{p}_l \\ \alpha_l &= (\vec{r}_l, \vec{p}_l) / (\vec{A}\vec{p}_l, \vec{p}_l) \\ \vec{r}_{l+1} &= \vec{A}\vec{u}_{l+1} - \vec{b} = \vec{r}_l - \alpha_l \vec{A}\vec{p}_l \\ \vec{p}_{l+1} &= \vec{r}_{l+1} - \beta_l \vec{p}_l \\ \beta_l &= (\vec{r}_{l+1}, \vec{A}\vec{p}_l) / (\vec{A}\vec{p}_l, \vec{p}_l) \end{aligned} \quad , \quad l = 0, 1, \dots,$$

waarbij $\vec{p}_0, \vec{p}_1, \dots$ de richtingsvectoren en $\vec{r}_0, \vec{r}_1, \dots$ de residuvectoren heten. Aangezien de richtingsvectoren een A-orthogonaal stelsel vormen $((\vec{A}\vec{p}_i, \vec{p}_j) = 0, i \neq j)$ en de residuvectoren een orthogonaal stelsel (zie REID [1971]), is het direct duidelijk dat in elk geval $\vec{r}_n = \vec{0}$, dus $\vec{u} = \vec{u}$. Uiteraard is het mogelijk dat dit proces eerder afbreekt.

Wat deze methode aantrekkelijk maakt om grote ijle stelsels, voortkomend uit elliptische randwaardeproblemen, op te lossen, is het volgende:

1. het aantal iteratiestappen is eindig;
2. blijkens formule (3.2.7.2) hoeft de matrix A niet expliciet meegegeven te worden als inputparameter, maar impliciet in de vorm van een routine

die bij gegeven vector v de vector $\vec{w} = A\vec{v}$ berekent.

TABEL 1

Beschikbare routines voor de CG methode

Programmatheek	Routine	Geheugen
ACCULIB	CG	4n
NUMAL	CONJ GRAD	2n

3.2.7.1. CONJ GRAD (NUMAL)

Deze routine is ontleend aan REID [1971]. Als inputparameters moeten o.m. worden meegegeven:

1. een beginschatting van \vec{u} ;
2. het rechterlid van (3.2.7.1);
3. een routine die uit \vec{v} de vector $A\vec{v}$ berekent;
4. een stuurparameter in de vorm van een boolean expression.

Gedurende het iteratieproces kan de gebruiker aan de hand van het aantal uitgevoerde iteratiestappen en het kwadraat van de residunorm bepalen of het proces doorgaat.

Voorbeeld. Met behulp van de aanroep

```
conj grad (matvec,u,b,1,n,
iterate < 10 "and" residunorm >=1.0" - 10,
iterate, residunorm);
```

bepaalt de gebruiker dat het proces wordt afgebroken als er 10 iteraties zijn uitgevoerd, of als de kwadraatnorm van het residu kleiner dan 10^{-10} is.

Uitvoer na m iteratiestappen:

1. een approximatie $\vec{u}^{(m)}$ van \vec{u} ;
2. de residuvector $\vec{r}^{(m)}$, overgeschreven op \vec{b} ;
3. de kwadraatnorm $\|\vec{r}^{(m)}\|^2$.

3.2.7.2. CG (ACCULIB)

Deze routine lost het stelsel

$$(3.2.7.3) \quad A\vec{u} + \vec{b} = 0, \quad A \text{ symmetrisch positief definit},$$

op met behulp van een variant van de CG-methode, ontleend aan GINSBURG [1971]. De gebruiker is hier niet verplicht een beginschatting van u te geven. Wil hij dat toch doen, dan maakt hij dat kenbaar door de bovengrens van het array u een minteken te geven. Een ander verschil met CONJ GRAD is dat CG voortijdig wordt afgebroken als A niet positief definit is of te slecht geconditioneerd.

Invoerparameters zijn o.m.

1. een beginschatting van \vec{u} (niet verplicht);
2. de vector \vec{b} van (3.2.7.3);
3. een routine die bij gegeven vector \vec{v} de vector $\vec{w} = A\vec{v}$ berekent;
4. de bovengrens van het array \vec{u} ;
5. een label waarheen de gebruiker wordt gestuurd bij voortijdige beëindiging van CG;
6. het maximum aantal iteratiestappen.

Voorbeeld. Met de aanroep

```

it := 20;
CG(-100,20,b,matvec,x, it,q,e,exit);
"goto" after exit;
exit:
  output(61,"/", "(" process ended prematurely ")"/");
after exit:
  < afdrukken gewenste resultaten >
```

maakt de gebruiker kenbaar dat

1. een beginschatting gegeven is;
2. het iteratieproces ten hoogste 20 stappen bedraagt;
3. melding wordt gemaakt van een eventuele voortijdige beëindiging.

Uitvoer:

1. een approximatie van \vec{u} ;
2. het aantal iteratiestappen;
3. de vectoren \vec{q} en \vec{e} ; dit zijn twee p-dimensionale vectoren; voor de betekenis verwijzen we naar GINSBURG [1971].

3.2.8. Oplossing van (3.2.1.1) d.m.v. CONJ GRAD en CG

Een van de aantrekkelijke eigenschappen van de eindige elementenmethode is dat de matrix A en het rechterlid \vec{b} van (3.2.3.2) vierkantsgewijs geëvalueerd kunnen worden (zie FELIPPA & CLOUGH [1970]):

$$A = \sum_{\ell=1}^M A_{\ell}; \quad \vec{b} = \sum_{\ell=1}^M \vec{b}_{\ell};$$

$$(3.2.8.1) \quad A_{\ell} = \left(\iint_{e_{\ell}} \left[\frac{\partial \phi_i}{\partial x} \frac{\partial \phi_j}{\partial x} + \frac{\partial \phi_i}{\partial y} \frac{\partial \phi_j}{\partial y} + 10 \phi_i \phi_j \right] dx dy \right);$$

$$\vec{b}_{\ell} = \left(\iint_{e_{\ell}} \phi_i dx dy \right); \quad \ell = 1, \dots, M.$$

Het gebruik van CG en CONJ GRAD vereist dat bij gegeven vector \vec{v} de vector $A\vec{v}$ wordt berekend door middel van een routine matvec. Een en ander suggereert de segmentsgewijze evaluatie van $A\vec{v}$:

$$\vec{w} = \sum_{\ell=1}^M \vec{w}_{\ell};$$

$$(3.2.8.2) \quad \vec{w}_{\ell} = A_{\ell} \vec{v}, \quad \ell = 1, \dots, M.$$

Aangezien ieder vierkantje ten hoogste negen roosterpunten bevat, bestaat A_{ℓ} overwegend uit nullen: ten hoogste 81 elementen zijn $\neq 0$ en door het ontbreken van kruiskoppeling wordt dit aantal zelfs tot 45 gereduceerd. $A\vec{w}$ wordt nu als volgt berekend:

1. eerst wordt $\vec{w} = A\vec{v}$ op 0 gesteld;
2. vervolgens worden op ieder vierkantje e_{ℓ} de negen (of minder als e_{ℓ} aan de rand ligt) relevante componenten van \vec{w}_{ℓ} berekend en op de juiste plaats opgeteld.

Voor de boekhoudkundige aspecten van deze operatie verwijzen we naar FELIPPA & CLOUGH [1970].

Voor de oplossing van (3.2.1.1) werd R in resp. 25, 100 en 400 vierkantjes met maaswijdten 0.2, 0.1 en 0.05 verdeeld. Om de segmentsgewijze evaluatie van $\vec{w} = A\vec{v}$ meer efficiënt te kunnen programmeren werden de randpunten ook als roosterpunten beschouwd. Het aantal roosterpunten werd daardoor 121, resp. 441 en 1681.

3.2.8.1. CONJ GRAD

Indien een nauwkeurigheid is vereist van ca. 1% wordt bepaald dat het iteratieproces (3.2.7.2) wordt afgebroken als de residunorm kleiner dan 10^{-5} is. Een onderlinge vergelijking leert dat de oplossing voor $h = 0.2$ in 2 à 3 cijfers en dat de oplossing voor $h = 0.1$ in 4 à 5 cijfers overeenkomt met de oplossing voor $h = 0.05$. Hieronder drukken we het aantal iteratiestappen m en $\|A\vec{u}_m - \vec{b}\|$ af.

TABEL 2

h	m	$\ A\vec{u}_m - \vec{b}\ $
0.20	14	4.77_{10}^{-6}
0.10	31	5.63_{10}^{-6}
0.05	63	8.11_{10}^{-6}

3.2.8.2. CG

Aangezien deze routine geen eenvoudige mogelijkheden geeft om het iteratieproces tussentijds te sturen, wordt als bovengrens van het aantal iteratiestappen de dimensie van het array u gegeven.

TABEL 3

h	m
0.20	15
0.10	48
0.05	80

Literatuur

- FORSYTHE, G. & W. WASOW [1960], *Finite Difference Methods for Partial Differential Equations*, Wiley, New York.
- GINSBURG, T. [1971], *The Conjugate Gradient Method*, Uit: J.H. Wilkinson & C. Reinsch (editors), *Linear Algebra II*, Springer-Verlag, Berlijn, Heidelberg, New York.
- FELIPPA, C.A. & R.W. CLOUGH [1970], *The finite element method in solid mechanics*, Uit: G. Birkhoff (editor), *Numerical Solution of Field Problems in Continuum Physics*, Duke University, SIAM-AMS Proceedings, Vol. 2.
- REID, J.K. (editor) [1971], *Large sparse sets of linear equations*, p. 231 ff., Academic Press, London, New York.
- RICHARDSON, L.F. [1910], *The Approximate Arithmetical Solution by Finite Differences of Physical Problems Involving Differential Equations*, Phil. Trans. Roy. Soc. London, p. 307 ff.
- ROBERTS, S. & J. SHIPMAN [1972], *Solution of Troesch's two-point boundary value problem by a combination of techniques*, J. Comp. Phys. 10, p. 232 ff.
- STRANG, G. [1972], *Variational crimes in the finite element method*, Uit: A.K. Aziz (editor). *The Mathematical Foundations of the Finite Element Method...*, Academic Press, London, New York.

Bijlagen

```

"BEGIN" "INTEGER" N; "REAL" K2;
      K2:=10; "FOR" N1=10,20,40 "DO"
"BEGIN" "INTEGER" N1, I, J, K, ISTEP, IT;
      "REAL" H, H2, H2K2, RATE, DOMEIGVAL;
      "ARRAY" U[0:N,0:N], DISCR[1:2];

      "PROCEDURE" RICHARDSON(U,LJ,UJ,LL,UL,INAP,RESIDUAL,A,B,N,
        DISCR,K,RATE,DOMEIGVAL,OUT); "CODE" 33170;

      "PROCEDURE" INIMAT(A,B,C,D,E,F); "CODE" 31011;

      "PROCEDURE" DUPHAT(A,B,C,D,E,F); "CODE" 31035;

      "PROCEDURE" RESIDUAL(U); "ARRAY" U;
      "BEGIN" "INTEGER" I, J; "ARRAY" AU[0:N,0:N];
        INIMAT(0,N,0,N,AU,0); DUPHAT(1,N1,1,N1,AU,U);
        "FOR" I:= 1 "STEP" 1 "UNTIL" N1 "DO"
          "FOR" J:= 1 "STEP" 1 "UNTIL" N1 "DO"
            U[I,J]:= (4-H2K2)*AU[I,J]-(AU[I,J-1]+AU[I,J+1]+AU[I-1,J]
              +AU[I+1,J])*H2
          "END";
        "PROCEDURE" OUT(K); "VALUE" K; "INTEGER" K;
        "BEGIN" "END";

      N1:=N+1; H1:=1/N; H2:=H*H; H2K2:=H2*K2; INIMAT(0,N,0,N,U,0);
      RICHARDSON(U,1,N1,1,N1,"TRUE",RESIDUAL,12*H2,6*(1 + H2),
        "IF" DISCR[1]<=5 "THEN" 0 "ELSE" 150,DISCR,K,RATE,DOMEIGVAL,OUT);
      OUTPUT(61,("*,("AANTAL AANROEPEN VAN RESIDUAL;)"ZZD,
        4B("CONVERGENTIESNELHEID; )"D,4D=D,
        4B("RESIDUONORM; )"D,4D=D,4B("MAASWIJDE; )"D,3D,3/"",
        K,RATE,DISCR[2],H); ISTEP:= N//10;
      "FOR" I:=0 "STEP" ISTEP "UNTIL" N "DO"
      "BEGIN" OUTPUT(61,
        ("//,(" X = 0,0, 0,1, ..., 1,0; Y = )"D,0D,/"", (I//ISTEP)*0,1);
        "FOR" J:=0 "STEP" ISTEP "UNTIL" N "DO"
          OUTPUT(61,("2B=D,4D=D)"",U[I,J])
        "END"
      "END"
"END"

```

AANTAL AANROEPEN VAN RESIDUAL: 37 CONVERGENTIESNELHEID: 2,3588"E1 RESIDUNORM: 2,8203"E6 MAASWIJDTE: ,100

```

X = 0,0, 0,1, ..., 1,0; Y = 0,0
0,0000" 0 0,0000" 0 0,0000" 0 0,0000" 0 0,0000" 0 0,0000" 0 0,0000" 0 0,0000" 0 0,0000" 0
X = 0,0, 0,1, ..., 1,0; Y = 0,1
0,0000" 0 9,8224"E3 1,5136"E2 1,8073"E2 1,9565"E2 2,0023"E2 1,9565"E2 1,8073"E2 1,5136"E2 9,8224"E3 0,0000" 0
X = 0,0, 0,1, ..., 1,0; Y = 0,2
0,0000" 0 1,5136"E2 2,4163"E2 2,9398"E2 3,2120"E2 3,2964"E2 3,2120"E2 2,9398"E2 2,4163"E2 1,5136"E2 0,0000" 0
X = 0,0, 0,1, ..., 1,0; Y = 0,3
0,0000" 0 1,8073"E2 2,9398"E2 3,6178"E2 3,9768"E2 4,0889"E2 3,9768"E2 3,6178"E2 2,9398"E2 1,8073"E2 0,0000" 0
X = 0,0, 0,1, ..., 1,0; Y = 0,4
0,0000" 0 1,9565"E2 3,2120"E2 3,9768"E2 4,3860"E2 4,5145"E2 4,3860"E2 3,9768"E2 3,2120"E2 1,9565"E2 0,0000" 0
X = 0,0, 0,1, ..., 1,0; Y = 0,5
0,0000" 0 2,0023"E2 3,2964"E2 4,0889"E2 4,5145"E2 4,6484"E2 4,5145"E2 4,0889"E2 3,2964"E2 2,0023"E2 0,0000" 0
X = 0,0, 0,1, ..., 1,0; Y = 0,6
0,0000" 0 1,9565"E2 3,2120"E2 3,9768"E2 4,3860"E2 4,5145"E2 4,3860"E2 3,9768"E2 3,2120"E2 1,9565"E2 0,0000" 0
X = 0,0, 0,1, ..., 1,0; Y = 0,7
0,0000" 0 1,8073"E2 2,9398"E2 3,6178"E2 3,9768"E2 4,0889"E2 3,9768"E2 3,6178"E2 2,9398"E2 1,8073"E2 0,0000" 0
X = 0,0, 0,1, ..., 1,0; Y = 0,8
0,0000" 0 1,5136"E2 2,4163"E2 2,9398"E2 3,2120"E2 3,2964"E2 3,2120"E2 2,9398"E2 2,4163"E2 1,5136"E2 0,0000" 0
X = 0,0, 0,1, ..., 1,0; Y = 0,9
0,0000" 0 9,8224"E3 1,5136"E2 1,8073"E2 1,9565"E2 2,0023"E2 1,9565"E2 1,8073"E2 1,5136"E2 9,8224"E3 0,0000" 0
X = 0,0, 0,1, ..., 1,0; Y = 1,0
0,0000" 0 0,0000" 0 0,0000" 0 0,0000" 0 0,0000" 0 0,0000" 0 0,0000" 0 0,0000" 0

```

AANTAL AANROEPEN VAN RESIDUAL: 71 CONVERGENTIESNELHEID: 1.1382E-1 RESIDUUM: 1.3834E-6 MAASWIDJDE: .050

```

X = 0.0, 0.1, ..., 1.0; Y = 0.0
0.0000" 0 0.0000" 0 0.0000" 0 0.0000" 0 0.0000" 0 0.0000" 0 0.0000" 0
X = 0.0, 0.1, ..., 1.0; Y = 0.1
0.0000" 0 1.0018"=2 1.5332"=2 1.8249"=2 1.9730"=2 2.0184"=2 1.9730"=2 1.8249"=2 1.5332"=2 1.0018"=2 0.0000" 0
X = 0.0, 0.1, ..., 1.0; Y = 0.2
0.0000" 0 1.5332"=2 2.4422"=2 2.9667"=2 3.2386"=2 3.3228"=2 3.2386"=2 2.9667"=2 2.4422"=2 1.5332"=2 0.0000" 0
X = 0.0, 0.1, ..., 1.0; Y = 0.3
0.0000" 0 1.8249"=2 2.9667"=2 3.6484"=2 4.0085"=2 4.1209"=2 4.0085"=2 3.6484"=2 2.9667"=2 1.8249"=2 0.0000" 0
X = 0.0, 0.1, ..., 1.0; Y = 0.4
0.0000" 0 1.9730"=2 3.2386"=2 4.0085"=2 4.4200"=2 4.5490"=2 4.4200"=2 4.0085"=2 3.2386"=2 1.9730"=2 0.0000" 0
X = 0.0, 0.1, ..., 1.0; Y = 0.5
0.0000" 0 2.0184"=2 3.3228"=2 4.1209"=2 4.5490"=2 4.6836"=2 4.5490"=2 4.1209"=2 3.3228"=2 2.0184"=2 0.0000" 0
X = 0.0, 0.1, ..., 1.0; Y = 0.6
0.0000" 0 1.9730"=2 3.2386"=2 4.0085"=2 4.4200"=2 4.5490"=2 4.4200"=2 4.0085"=2 3.2386"=2 1.9730"=2 0.0000" 0
X = 0.0, 0.1, ..., 1.0; Y = 0.7
0.0000" 0 1.8249"=2 2.9667"=2 3.6484"=2 4.0085"=2 4.1209"=2 4.0085"=2 3.6484"=2 2.9667"=2 1.8249"=2 0.0000" 0
X = 0.0, 0.1, ..., 1.0; Y = 0.8
0.0000" 0 1.5332"=2 2.4422"=2 2.9667"=2 3.2386"=2 3.3228"=2 3.2386"=2 2.9667"=2 2.4422"=2 1.5332"=2 0.0000" 0
X = 0.0, 0.1, ..., 1.0; Y = 0.9
0.0000" 0 1.0018"=2 1.5332"=2 1.8249"=2 1.9730"=2 2.0184"=2 1.9730"=2 1.8249"=2 1.5332"=2 1.0018"=2 0.0000" 0
X = 0.0, 0.1, ..., 1.0; Y = 1.0
0.0000" 0 0.0000" 0 0.0000" 0 0.0000" 0 0.0000" 0 0.0000" 0 0.0000" 0

```

AANTAL AANROEPEN VAN RESIDUAL:135 CONVERGENTIESNELHEID: 5,4688E-2 RESIDUNORM: 6,2767E-7 MAASWIJDE: ,025

```

X = 0,0, 0,1, ..., 1,0; Y = 0,0
0,0000" 0 0,0000" 0 0,0000" 0 0,0000" 0 0,0000" 0 0,0000" 0 0,0000" 0 0,0000" 0 0,0000" 0
X = 0,0, 0,1, ..., 1,0; Y = 0,1
0,0000" 0 1,0074E-2 1,5385E-2 1,8298E-2 1,9776E-2 2,0229E-2 1,9776E-2 1,8298E-2 1,5385E-2 1,0074E-2 0,0000" 0
X = 0,0, 0,1, ..., 1,0; Y = 0,2
0,0000" 0 1,5385E-2 2,4495E-2 2,9744E-2 3,2462E-2 3,3302E-2 3,2462E-2 2,9744E-2 2,4495E-2 1,5385E-2 0,0000" 0
X = 0,0, 0,1, ..., 1,0; Y = 0,3
0,0000" 0 1,8298E-2 2,9744E-2 3,6573E-2 4,0176E-2 4,1300E-2 4,0176E-2 3,6573E-2 2,9744E-2 1,8298E-2 0,0000" 0
X = 0,0, 0,1, ..., 1,0; Y = 0,4
0,0000" 0 1,9776E-2 3,2462E-2 4,0176E-2 4,4296E-2 4,5587E-2 4,4296E-2 4,0176E-2 3,2462E-2 1,9776E-2 0,0000" 0
X = 0,0, 0,1, ..., 1,0; Y = 0,5
0,0000" 0 2,0229E-2 3,3302E-2 4,1300E-2 4,5587E-2 4,6933E-2 4,5587E-2 4,1300E-2 3,3302E-2 2,0229E-2 0,0000" 0
X = 0,0, 0,1, ..., 1,0; Y = 0,6
0,0000" 0 1,9776E-2 3,2462E-2 4,0176E-2 4,4296E-2 4,5587E-2 4,4296E-2 4,0176E-2 3,2462E-2 1,9776E-2 0,0000" 0
X = 0,0, 0,1, ..., 1,0; Y = 0,7
0,0000" 0 1,8298E-2 2,9744E-2 3,6573E-2 4,0176E-2 4,1300E-2 4,0176E-2 3,6573E-2 2,9744E-2 1,8298E-2 0,0000" 0
X = 0,0, 0,1, ..., 1,0; Y = 0,8
0,0000" 0 1,5385E-2 2,4495E-2 2,9744E-2 3,2462E-2 3,3302E-2 3,2462E-2 2,9744E-2 2,4495E-2 1,5385E-2 0,0000" 0
X = 0,0, 0,1, ..., 1,0; Y = 0,9
0,0000" 0 1,0074E-2 1,5385E-2 1,8298E-2 1,9776E-2 2,0229E-2 1,9776E-2 1,8298E-2 1,5385E-2 1,0074E-2 0,0000" 0
X = 0,0, 0,1, ..., 1,0; Y = 1,0
0,0000" 0 0,0000" 0 0,0000" 0 0,0000" 0 0,0000" 0 0,0000" 0 0,0000" 0 0,0000" 0

```

```

"BEGIN" "INTEGER" N; "REAL" K2;
K2:= 10; "FOR" N:= 5, 10, 20 "DO"
"BEGIN" "INTEGER" NSQ, M, M2, M3, M4, MSQ, I, J, IT, ISTEP, JSTEP;
"REAL" H, H2, H2K2, EPS; "ARRAY" U, F[1:(2*N+1)**2];

"PROCEDURE" CONJ GRAD(A, X, B, L, U, GO ON, IT, EPS); "CODE" 34220;

"PROCEDURE" INIVEC(L,U,A,X); "CODE" 31010;

"PROCEDURE" MATVEC(U,AU); "ARRAY" AU, U;
"BEGIN" "INTEGER" I, EL, K1, K2, L; "ARRAY" AUX[1:M4];
INIVEC(1,MSQ,AU,0);
"COMMENT" DE RANDWAARDEN WORDEN OP AUX OVERGESCHREVEN
EN WORDEN TIJDELIJK OP NUL GESTELD;
"FOR" I:= 1 "STEP" 1 "UNTIL" M "DO"
"BEGIN" AUX[I]:= U[I]; AUX[I+M]:= U[I+MSQ-M];
AUX[I+M2]:= U[M*(I-1)+1]; AUX[I+M3]:= U[I*M];
U[I]:= U[M*(I-1)+1]; U[I+M]:= U[I+MSQ-M]; U[I+M3]:= 0
"END";
"COMMENT" DE BIJDRAGEN VAN AU WORDEN NU VIERKANT VOOR
VIERKANT BEREKEND EN OPGETELD;
"FOR" EL:= 1 "STEP" 1 "UNTIL" NSQ "DO"
"BEGIN" K1:= EL//N; K2:= EL - K1*N;
L:= "IF" K2 = 0 "THEN" (K1 - 1)*M2 + M - 2
"ELSE" 2*(K1*M + K2) - 1;
AU[L]:= AU[L]+(7+H2K2/4)*U[L];
=4*(U[L+1]+U[L+M])+(U[L+M2]+U[L+2])/2;
AU[L+2]:= AU[L+2]+(7+H2K2/4)*U[L+2];
=4*(U[L+1]+U[L+M+2])+(U[L+M2+2]+U[L+1])/2;
AU[L+M2]:= AU[L+M2]+(7+H2K2/4)*U[L+M2];
=4*(U[L+M]+U[L+M2+1])+(U[L+M2+2]+U[L])/2;
AU[L+M2+2]:= AU[L+M2+2]+(7+H2K2/4)*U[L+M2+2];
=4*(U[L+M+2]+U[L+M2+1])+(U[L+M2]+U[L+2])/2;
AU[L+1]:= AU[L+1]+(22+H2K2)*U[L+1];
=4*(U[L]+U[L+2])=16*U[L+M+1]+2*U[L+M2+1];
AU[L+M]:= AU[L+M]+(22+H2K2)*U[L+M];
=4*(U[L]+U[L+M2])=16*U[L+M+1]+2*U[L+M2+1];
AU[L+M2+1]:= AU[L+M2+1]+(22+H2K2)*U[L+M2+1];
=4*(U[L+M2+2]+U[L+M2])=16*U[L+M+1]+2*U[L+1];
AU[L+M+2]:= AU[L+M+2]+(22+H2K2)*U[L+M+2];
=4*(U[L+M2+2]+U[L+2])=16*U[L+M+1]+2*U[L+M];
AU[L+M+1]:= AU[L+M+1]+(64+H2K2*4)*U[L+M+1];
=16*(U[L+1]+U[L+M]+U[L+M+2]+U[L+M2+1])
"END";
"COMMENT" DE RANDWAARDEN WORDEN NU IN REKENING GEBRACHT;
"FOR" I:= 1 "STEP" 1 "UNTIL" M "DO"
"BEGIN" L:= I; AU[L]:= U[L]; AUX[I];
L:= I + MSQ - M; AU[L]:= U[L]; AUX[I+M];
L:= M*(I - 1) + 1; AU[L]:= U[L]; AUX[I+M2];
L:= I*M; AU[L]:= U[L]; AUX[I+M3]
"END"
"END" MATVEC;

```



```

M:= N + N + 1; M2:= M+M; M3:= M+M2; M4:= M+M3;
MSQ:= M*M; NSQ:= N*N; H:= 1/N; H2:= H*H; H2K2:= H2*K2;
INIVEC(1,MSQ,U,0); INIVEC(1,MSQ,F,0);
"COMMENT" EVALUATIE VAN HET RECHTERLID;
"FOR" I:= M+2 "STEP" M2 "UNTIL" MSQ=M "DO"
"FOR" J:=I "STEP" 2 "UNTIL" I+M-3 "DO" F(I,J):= 4*H2;
"FOR" I:= M+3 "STEP" M2 "UNTIL" MSQ=M "DO"
"FOR" J:=I "STEP" 2 "UNTIL" I+M-5 "DO" F(I,J):= 2*H2;
"FOR" I:= M2+2 "STEP" M2 "UNTIL" MSQ=M "DO"
"FOR" J:=I "STEP" 2 "UNTIL" I+M-3 "DO" F(I,J):= 2*H2;
"FOR" I:= M2+3 "STEP" M2 "UNTIL" MSQ=M "DO"
"FOR" J:=I "STEP" 2 "UNTIL" I+M-5 "DO" F(I,J):= H2;

CONJ GRAD(MATVEC, U, F, 1, MSQ, EPS > 1.0"-10, IT, EPS);
OUTPUT(61,("*,("RESIDUNORM:)"=D.4D"-ZD,
4B(" AANTAL AANROEPEN VAN MATVEC:)"ZZD,
4B("AANTAL ROOSTERPUNTEN:)"ZZZD,
4B("MAASWIJDTE:)"D.0D,5/)"",SQRT(EPS),IT,MSQ,H);
JSTEP:= N//5; ISTEP:= JSTEP*M;
"FOR" I:= 1 "STEP" ISTEP "UNTIL" MSQ = M + 1 "DO"
"BEGIN" OUTPUT(61,
"("///,("X = 0.0, 0.1, ..., 1.0; Y = )"D.D,///)"", (1//ISTEP)*0.1);
"FOR" J:= I "STEP" JSTEP "UNTIL" I + M = 1 "DO"
OUTPUT(61,("BB=D.4D"-D)"",U(J))
"END"
"END"
"END"

```

RESIDUUM: 4,7659" =6 AANTAL AANROEPEN VAN MATVEC: 14 AANTAL ROOSTERPUNTEN: 121 MAAKWIJDE: 20

```

X = 0,0, 0,1, ..., 1,0; Y = 0,0
0,0000" 0 0,0000" 0 0,0000" 0 0,0000" 0 0,0000" 0 0,0000" 0 0,0000" 0 0,0000" 0 0,0000" 0
X = 0,0, 0,1, ..., 1,0; Y = 0,1
0,0000" 0 9,9253"=3 1,5347"=2 1,8253"=2 1,9751"=2 2,0197"=2 1,9751"=2 1,8253"=2 1,5347"=2 9,9253"=3 0,0000" 0
X = 0,0, 0,1, ..., 1,0; Y = 0,2
0,0000" 0 1,5347"=2 2,4523"=2 2,9741"=2 3,2480"=2 3,3305"=2 3,2480"=2 2,9741"=2 2,4523"=2 1,5347"=2 0,0000" 0
X = 0,0, 0,1, ..., 1,0; Y = 0,3
0,0000" 0 1,8253"=2 2,9741"=2 3,6542"=2 4,0170"=2 4,1276"=2 4,0170"=2 3,6542"=2 2,9741"=2 1,8253"=2 0,0000" 0
X = 0,0, 0,1, ..., 1,0; Y = 0,4
0,0000" 0 1,9751"=2 3,2480"=2 4,0170"=2 4,4314"=2 4,5586"=2 4,4314"=2 4,0170"=2 3,2480"=2 1,9751"=2 0,0000" 0
X = 0,0, 0,1, ..., 1,0; Y = 0,5
0,0000" 0 2,0197"=2 3,3305"=2 4,1276"=2 4,5586"=2 4,6914"=2 4,5586"=2 4,1276"=2 3,3305"=2 2,0197"=2 0,0000" 0
X = 0,0, 0,1, ..., 1,0; Y = 0,6
0,0000" 0 1,9751"=2 3,2480"=2 4,0170"=2 4,4314"=2 4,5586"=2 4,4314"=2 4,0170"=2 3,2480"=2 1,9751"=2 0,0000" 0
X = 0,0, 0,1, ..., 1,0; Y = 0,7
0,0000" 0 1,8253"=2 2,9741"=2 3,6542"=2 4,0170"=2 4,1276"=2 4,0170"=2 3,6542"=2 2,9741"=2 1,8253"=2 0,0000" 0
X = 0,0, 0,1, ..., 1,0; Y = 0,8
0,0000" 0 1,5347"=2 2,4523"=2 2,9741"=2 3,2480"=2 3,3305"=2 3,2480"=2 2,9741"=2 2,4523"=2 1,5347"=2 0,0000" 0
X = 0,0, 0,1, ..., 1,0; Y = 0,9
0,0000" 0 9,9253"=3 1,5347"=2 1,8253"=2 1,9751"=2 2,0197"=2 1,9751"=2 1,8253"=2 1,5347"=2 9,9253"=3 0,0000" 0
X = 0,0, 0,1, ..., 1,0; Y = 1,0
0,0000" 0 0,0000" 0 0,0000" 0 0,0000" 0 0,0000" 0 0,0000" 0 0,0000" 0 0,0000" 0

```

RESIDUONORM: 5,6341" =6 AANTAL AANROEPEN VAN MATVEC: 31 AANTAL ROOSTERPUNTEN: 441 MAASWIJDE: 10

X = 0,0, 0,1, ..., 1,0; Y = 0,0
 0,0000" 0 0,0000" 0 0,0000" 0 0,0000" 0 0,0000" 0 0,0000" 0 0,0000" 0 0,0000" 0 0,0000" 0
 X = 0,0, 0,1, ..., 1,0; Y = 0,1
 0,0000" 0 1,0094"=2 1,5400"=2 1,8308"=2 1,9783"=2 2,0236"=2 1,9783"=2 1,8308"=2 1,5400"=2 1,0094"=2 0,0000" 0
 X = 0,0, 0,1, ..., 1,0; Y = 0,2
 0,0000" 0 1,5400"=2 2,4510"=2 2,9756"=2 3,2472"=2 3,3312"=2 3,2472"=2 2,9756"=2 2,4510"=2 1,5400"=2 0,0000" 0
 X = 0,0, 0,1, ..., 1,0; Y = 0,3
 0,0000" 0 1,8308"=2 2,9756"=2 3,6583"=2 4,0185"=2 4,1309"=2 4,0185"=2 3,6583"=2 2,9756"=2 1,8308"=2 0,0000" 0
 X = 0,0, 0,1, ..., 1,0; Y = 0,4
 0,0000" 0 1,9783"=2 3,2472"=2 4,0185"=2 4,4305"=2 4,5596"=2 4,4305"=2 4,0185"=2 3,2472"=2 1,9783"=2 0,0000" 0
 X = 0,0, 0,1, ..., 1,0; Y = 0,5
 0,0000" 0 2,0236"=2 3,3312"=2 4,1309"=2 4,5596"=2 4,6943"=2 4,5596"=2 4,1309"=2 3,3312"=2 2,0236"=2 0,0000" 0
 X = 0,0, 0,1, ..., 1,0; Y = 0,6
 0,0000" 0 1,9783"=2 3,2472"=2 4,0185"=2 4,4305"=2 4,5596"=2 4,4305"=2 4,0185"=2 3,2472"=2 1,9783"=2 0,0000" 0
 X = 0,0, 0,1, ..., 1,0; Y = 0,7
 0,0000" 0 1,8308"=2 2,9756"=2 3,6583"=2 4,0185"=2 4,1309"=2 4,0185"=2 3,6583"=2 2,9756"=2 1,8308"=2 0,0000" 0
 X = 0,0, 0,1, ..., 1,0; Y = 0,8
 0,0000" 0 1,5400"=2 2,4510"=2 2,9756"=2 3,2472"=2 3,3312"=2 3,2472"=2 2,9756"=2 2,4510"=2 1,5400"=2 0,0000" 0
 X = 0,0, 0,1, ..., 1,0; Y = 0,9
 0,0000" 0 1,0094"=2 1,5400"=2 1,8308"=2 1,9783"=2 2,0236"=2 1,9783"=2 1,8308"=2 1,5400"=2 1,0094"=2 0,0000" 0
 X = 0,0, 0,1, ..., 1,0; Y = 1,0
 0,0000" 0 0,0000" 0 0,0000" 0 0,0000" 0 0,0000" 0 0,0000" 0 0,0000" 0 0,0000" 0

RESIDUORH: 8.1133" -6 AANTAL AANROEPEN VAN HATVEC: 63 AANTAL ROOSTERPUNTEN: 1681 MAASWIJDTET: 05

$x = 0.0, 0.1, \dots, 1.0; y = 0.0$
 $0.0000" \ 0 \ 0.0000" \ 0 \ 0.0000" \ 0 \ 0.0000" \ 0 \ 0.0000" \ 0 \ 0.0000" \ 0 \ 0.0000" \ 0 \ 0.0000" \ 0 \ 0.0000" \ 0$
 $x = 0.0, 0.1, \dots, 1.0; y = 0.1$
 $0.0000" \ 0 \ 1.0091" \times 10^{-2} \ 1.5399" \times 10^{-2} \ 1.8308" \times 10^{-2} \ 1.9783" \times 10^{-2} \ 2.0235" \times 10^{-2} \ 1.9783" \times 10^{-2} \ 1.8308" \times 10^{-2} \ 1.5399" \times 10^{-2} \ 1.0091" \times 10^{-2} \ 0.0000" \ 1$

```

"BEGIN" "INTEGER" N; "REAL" K2;
  K2:=10; "FOR" N:=10,20,40 "DO"
"BEGIN" "INTEGER" N1, I, J, K, ISTEP, IT;
  "REAL" H, H2, H2K2, RATE, DOMEIGVAL;
  "ARRAY" U[0:N,0:N], DISCR[1:2];

  "PROCEDURE" RICHARDSON(U,LJ,UJ,LL,UL,INAP,RESIDUAL,A,B,N,
    DISCR,K,RATE,DOMEIGVAL,OUT); "CODE" 33170;

  "PROCEDURE" INIMAT(A,B,C,D,E,F); "CODE" 31011;

  "PROCEDURE" DUPMAT(A,B,C,D,E,F); "CODE" 31035;

  "PROCEDURE" RESIDUAL(U); "ARRAY" U;
  "BEGIN" "INTEGER" I, J; "ARRAY" AU[0:N,0:N];
    INIMAT(0,N,0,N,AU,0); DUPMAT(1,N1,1,N1,AU,U);
    "FOR" I:= 1 "STEP" 1 "UNTIL" N1 "DO"
      "FOR" J:= 1 "STEP" 1 "UNTIL" N1 "DO"
        U[I,J]:= (4-H2K2)*AU[I,J]-(AU[I,J-1]+AU[I,J+1]+AU[I-1,J]
          +AU[I+1,J])=H2
      "END";

  "PROCEDURE" OUT(K); "VALUE" K; "INTEGER" K;
  "BEGIN" "END";

  N1:=N-1; H:=1/N; H2:=H*H; H2K2:=H2*K2; INIMAT(0,N,0,N,U,0);
  RICHARDSON(U,1,N1,1,N1,"TRUE",RESIDUAL,12*H2,8*(1 + H2),
  "IF" DISCR[1]<"5" "THEN" 0 "ELSE" 150,DISCR,K,RATE,DOMEIGVAL,OUT);
  OUTPUT(61,"(",("AANTAL AANROEPEN VAN RESIDUAL;")"ZZD,
    4B("CONVERGENTIESNELHEID; ") "D.4D"=D,
    4B("RESIDUUM; ") "D.4D"=D,4B("MAASWIJDTE; ") ".3D,3/"",
    K,RATE,DISCR[2],H); ISTEP:= N//10;
  "FOR" I:=0 "STEP" ISTEP "UNTIL" N "DO"
    "BEGIN" OUTPUT(61,
      "("//,"(" X = 0.0, 0.1, ..., 1.0; Y = ") "D.D,/"", (I//ISTEP)*0.1);
      "FOR" J:=0 "STEP" ISTEP "UNTIL" N "DO"
        OUTPUT(61,"("2B=D.4D=D")",U[I,J])
      "END"
    "END"
  "END"
"END"

```

[illegible]

AANTAL AANROEPEN VAN RESIDUAL: 71 CONVERGENTIESNELHEID: 1,1382"E-1 RESIDUUNORM: 1,3834"E-6 MAASTWIJDTE: ,050

```

X = 0,0, 0,1, ..., 1,0; Y = 0,0
0,0000" 0 0,0000" 0 0,0000" 0 0,0000" 0 0,0000" 0 0,0000" 0 0,0000" 0 0,0000" 0 0,0000" 0
X = 0,0, 0,1, ..., 1,0; Y = 0,1
0,0000" 0 1,0018"E-2 1,5332"E-2 1,8249"E-2 1,9730"E-2 2,0184"E-2 1,9730"E-2 1,8249"E-2 1,5332"E-2 1,0018"E-2 0,0000" 0
X = 0,0, 0,1, ..., 1,0; Y = 0,2
0,0000" 0 1,5332"E-2 2,4422"E-2 2,9667"E-2 3,2386"E-2 3,3228"E-2 3,2386"E-2 2,9667"E-2 2,4422"E-2 1,5332"E-2 0,0000" 0
X = 0,0, 0,1, ..., 1,0; Y = 0,3
0,0000" 0 1,8249"E-2 2,9667"E-2 3,6484"E-2 4,0085"E-2 4,1209"E-2 4,0085"E-2 3,6484"E-2 2,9667"E-2 1,8249"E-2 0,0000" 0
X = 0,0, 0,1, ..., 1,0; Y = 0,4
0,0000" 0 1,9730"E-2 3,2386"E-2 4,0085"E-2 4,4200"E-2 4,5490"E-2 4,4200"E-2 4,0085"E-2 3,2386"E-2 1,9730"E-2 0,0000" 0
X = 0,0, 0,1, ..., 1,0; Y = 0,5
0,0000" 0 2,0184"E-2 3,3228"E-2 4,1209"E-2 4,5490"E-2 4,6836"E-2 4,5490"E-2 4,1209"E-2 3,3228"E-2 2,0184"E-2 0,0000" 0
X = 0,0, 0,1, ..., 1,0; Y = 0,6
0,0000" 0 1,9730"E-2 3,2386"E-2 4,0085"E-2 4,4200"E-2 4,5490"E-2 4,4200"E-2 4,0085"E-2 3,2386"E-2 1,9730"E-2 0,0000" 0
X = 0,0, 0,1, ..., 1,0; Y = 0,7
0,0000" 0 1,8249"E-2 2,9667"E-2 3,6484"E-2 4,0085"E-2 4,1209"E-2 4,0085"E-2 3,6484"E-2 2,9667"E-2 1,8249"E-2 0,0000" 0
X = 0,0, 0,1, ..., 1,0; Y = 0,8
0,0000" 0 1,5332"E-2 2,4422"E-2 2,9667"E-2 3,2386"E-2 3,3228"E-2 3,2386"E-2 2,9667"E-2 2,4422"E-2 1,5332"E-2 0,0000" 0
X = 0,0, 0,1, ..., 1,0; Y = 0,9
0,0000" 0 1,0018"E-2 1,5332"E-2 1,8249"E-2 1,9730"E-2 2,0184"E-2 1,9730"E-2 1,8249"E-2 1,5332"E-2 1,0018"E-2 0,0000" 0
X = 0,0, 0,1, ..., 1,0; Y = 1,0
0,0000" 0 0,0000" 0 0,0000" 0 0,0000" 0 0,0000" 0 0,0000" 0 0,0000" 0 0,0000" 0

```

[illegible]


```

"BEGIN" "INTEGER" N; "REAL" K2;
K2:= 10; "FOR" N:= 5, 10, 20 "DO"
"BEGIN" "INTEGER" NSQ, M, H2, M3, M4, MSQ, I, J, IT, ISTEP, JSTEP;
"REAL" H, H2, H2K2, EPS; "ARRAY" U, F[1:(2*N+1)**2];

"PROCEDURE" CONJ GRAD(A, X, 8, L, U, GO ON, IT, EPS); "CODE" 34220;

"PROCEDURE" INIVEC(L,U,A,X); "CODE" 31010;

"PROCEDURE" MATVEC(U,AU); "ARRAY" AU, U;
"BEGIN" "INTEGER" I, EL, K1, K2, L; "ARRAY" AUX[1:M4];
INIVEC(1,MSQ,AU,0);
"COMMENT" DE RANDWAARDEN WORDEN OP AUX OVERGESCHREVEN
EN WORDEN TIJDELIJK OP NUL GESTELD;
"FOR" I:= 1 "STEP" 1 "UNTIL" H "DO"
"BEGIN" AUX[I]:= U[I]; AUX[I+M]:= U[I+MSQ-M];
AUX[I+M2]:= U[M*(I-1)+1]; AUX[I+M3]:= U[I+M];
U[I]:= U[M*(I-1)+1]; U[I+M]:= U[I+MSQ-M]; U[I+M3]:= 0
"END";
"COMMENT" DE BIJDRAGEN VAN AU WORDEN NU VIERKANT VOOR
VIERKANT BEREKEND EN OPGETELD;
"FOR" EL:= 1 "STEP" 1 "UNTIL" NSQ "DO"
"BEGIN" K1:= EL//N; K2:= EL - K1*N;
L:= "IF" K2 = 0 "THEN" (K1 - 1)*M2 + M = 2
"ELSE" 2*(K1+M + K2) = 1;
AU[L]:= AU[L]+(7+H2K2/4)*U[L]
=4*(U[L+1]+U[L+M])+(U[L+M2]+U[L+2])/2;
AU[L+2]:= AU[L+2]+(7+H2K2/4)*U[L+2]
=4*(U[L+1]+U[L+M+2])+(U[L+M2+2]+U[L])/2;
AU[L+M2]:= AU[L+M2]+(7+H2K2/4)*U[L+M2]
=4*(U[L+M]+U[L+M2+1])+(U[L+M2+2]+U[L])/2;
AU[L+M2+2]:= AU[L+M2+2]+(7+H2K2/4)*U[L+M2+2]
=4*(U[L+M+2]+U[L+M2+1])+(U[L+M2]+U[L+2])/2;
AU[L+1]:= AU[L+1]+(22+H2K2)*U[L+1]
=4*(U[L]+U[L+2])=16*U[L+M+1]+2*U[L+M2+1];
AU[L+M]:= AU[L+M]+(22+H2K2)*U[L+M]
=4*(U[L]+U[L+M2])=16*U[L+M+1]+2*U[L+M2];
AU[L+M2+1]:= AU[L+M2+1]+(22+H2K2)*U[L+M2+1]
=4*(U[L+M2+2]+U[L+M2])=16*U[L+M+1]+2*U[L+1];
AU[L+M+2]:= AU[L+M+2]+(22+H2K2)*U[L+M+2]
=4*(U[L+M2+2]+U[L+2])=16*U[L+M+1]+2*U[L+M];
AU[L+M+1]:= AU[L+M+1]+(64+H2K2*4)*U[L+M+1]
=16*(U[L+1]+U[L+M]+U[L+M+2]+U[L+M2+1])
"END";
"COMMENT" DE RANDWAARDEN WORDEN NU IN REKENING GEBRACHT;
"FOR" I:= 1 "STEP" 1 "UNTIL" M "DO"
"BEGIN" L:= I; AU[L]:= U[L]; AUX[I];
L:= I + MSQ = M; AU[L]:= U[L]; AUX[I+M];
L:= M*(I - 1) + 1; AU[L]:= U[L]; AUX[I+M2];
L:= I+M; AU[L]:= U[L]; AUX[I+M3]
"END"
"END" MATVEC;

```

```

M:= N + N + 1; M2:= M+M; M3:= M+M2; M4:= M+M3;
MSQ:= M*M; NSQ:= N*N; H:= 1/N; H2:= H*H; H2K2:= H2*K2;
INIVEC(1,MSQ,U,0); INIVEC(1,MSQ,F,0);
"COMMENT" EVALUATIE VAN HET RECHTERLID;
"FOR" I:= M+2 "STEP" M2 "UNTIL" MSQ=M "DO"
"FOR" J:=I "STEP" 2 "UNTIL" I+M-3 "DO" F(J):= 4*H2;
"FOR" I:= M+3 "STEP" M2 "UNTIL" MSQ=M "DO"
"FOR" J:=I "STEP" 2 "UNTIL" I+M-5 "DO" F(J):= 2*H2;
"FOR" I:= M2+2 "STEP" M2 "UNTIL" MSQ=M "DO"
"FOR" J:=I "STEP" 2 "UNTIL" I+M-3 "DO" F(J):= 2*H2;
"FOR" I:= M2+3 "STEP" M2 "UNTIL" MSQ=M "DO"
"FOR" J:=I "STEP" 2 "UNTIL" I+M-5 "DO" F(J):= H2;

CONJ GRAD(MATVEC, U, F, 1, MSQ, EPS > 1.0E-10, IT, EPS);
OUTPUT(61,("*,("RESIDUNORH:)"=D,4D"-ZD,
4B(" AANTAL AANROEPEN VAN HATVEC:)"ZZD,
4B("AANTAL ROOSTERPUNTEN:)"ZZZD,
4B("MAASWIJDTE:)"",DD,5/"",SQRT(EPS),IT,MSQ,H);
JSTEP:= N//5; ISTEP:= JSTEP*M;
"FOR" I:= 1 "STEP" ISTEP "UNTIL" MSQ = M + 1 "DO"
"BEGIN" OUTPUT(61,
"(", "/", "(", "X = 0.0, 0.1, ..., 1.0; Y = )"D,D,/"", (I//ISTEP)*0.1);
"FOR" J:= I "STEP" JSTEP "UNTIL" I + M = 1 "DO"
OUTPUT(61,("BB=D,4D"-D""),U(J))
"END"
"END"
"END"

```

RESIDUORN: 4,7659" =6 AANTAL AANROEPEN VAN MATVEC: 14 AANTAL ROOSTERPUNTEN: 121 MAASWIJDTE: 20

```

X = 0.0, 0.1, ..., 1.0; Y = 0.0
  0.0000" 0 0.0000" 0 0.0000" 0 0.0000" 0 0.0000" 0 0.0000" 0 0.0000" 0 0.0000" 0 0.0000" 0
X = 0.0, 0.1, ..., 1.0; Y = 0.1
  0.0000" 0 9.9253"=3 1.5347"=2 1.8253"=2 1.9751"=2 2.0197"=2 1.9751"=2 1.8253"=2 1.5347"=2 9.9253"=3 0.0000" 0
X = 0.0, 0.1, ..., 1.0; Y = 0.2
  0.0000" 0 1.5347"=2 2.4523"=2 2.9741"=2 3.2480"=2 3.3305"=2 3.2480"=2 2.9741"=2 2.4523"=2 1.5347"=2 0.0000" 0
X = 0.0, 0.1, ..., 1.0; Y = 0.3
  0.0000" 0 1.8253"=2 2.9741"=2 3.6542"=2 4.0170"=2 4.1276"=2 4.0170"=2 3.6542"=2 2.9741"=2 1.8253"=2 0.0000" 0
X = 0.0, 0.1, ..., 1.0; Y = 0.4
  0.0000" 0 1.9751"=2 3.2480"=2 4.0170"=2 4.4314"=2 4.5586"=2 4.4314"=2 4.0170"=2 3.2480"=2 1.9751"=2 0.0000" 0
X = 0.0, 0.1, ..., 1.0; Y = 0.5
  0.0000" 0 2.0197"=2 3.3305"=2 4.1276"=2 4.5586"=2 4.6914"=2 4.5586"=2 4.1276"=2 3.3305"=2 2.0197"=2 0.0000" 0
X = 0.0, 0.1, ..., 1.0; Y = 0.6
  0.0000" 0 1.9751"=2 3.2480"=2 4.0170"=2 4.4314"=2 4.5586"=2 4.4314"=2 4.0170"=2 3.2480"=2 1.9751"=2 0.0000" 0
X = 0.0, 0.1, ..., 1.0; Y = 0.7
  0.0000" 0 1.8253"=2 2.9741"=2 3.6542"=2 4.0170"=2 4.1276"=2 4.0170"=2 3.6542"=2 2.9741"=2 1.8253"=2 0.0000" 0
X = 0.0, 0.1, ..., 1.0; Y = 0.8
  0.0000" 0 1.5347"=2 2.4523"=2 2.9741"=2 3.2480"=2 3.3305"=2 3.2480"=2 2.9741"=2 2.4523"=2 1.5347"=2 0.0000" 0
X = 0.0, 0.1, ..., 1.0; Y = 0.9
  0.0000" 0 9.9253"=3 1.5347"=2 1.8253"=2 1.9751"=2 2.0197"=2 1.9751"=2 1.8253"=2 1.5347"=2 9.9253"=3 0.0000" 0
X = 0.0, 0.1, ..., 1.0; Y = 1.0
  0.0000" 0 0.0000" 0 0.0000" 0 0.0000" 0 0.0000" 0 0.0000" 0 0.0000" 0 0.0000" 0

```

RESIDUUM: 5,6341" =6 AANTAL AANROEPEN VAN MATVEC: 31 AANTAL ROOSTERPUNTEN: 441 MAASWIJDE: 10

176

```

X = 0,0, 0,1, ..., 1,0; Y = 0,0
0,0000" 0 0,0000" 0 0,0000" 0 0,0000" 0 0,0000" 0 0,0000" 0 0,0000" 0 0,0000" 0 0,0000" 0
X = 0,0, 0,1, ..., 1,0; Y = 0,1
0,0000" 0 1,0094"=2 1,5400"=2 1,8308"=2 1,9783"=2 2,0236"=2 1,9783"=2 1,8308"=2 1,5400"=2 1,0094"=2 0,0000" 0
X = 0,0, 0,1, ..., 1,0; Y = 0,2
0,0000" 0 1,5400"=2 2,4510"=2 2,9756"=2 3,2472"=2 3,3312"=2 3,2472"=2 2,9756"=2 2,4510"=2 1,5400"=2 0,0000" 0
X = 0,0, 0,1, ..., 1,0; Y = 0,3
0,0000" 0 1,8308"=2 2,9756"=2 3,6583"=2 4,0185"=2 4,1309"=2 4,0185"=2 3,6583"=2 2,9756"=2 1,8308"=2 0,0000" 0
X = 0,0, 0,1, ..., 1,0; Y = 0,4
0,0000" 0 1,9783"=2 3,2472"=2 4,0185"=2 4,4305"=2 4,5596"=2 4,4305"=2 4,0185"=2 3,2472"=2 1,9783"=2 0,0000" 0
X = 0,0, 0,1, ..., 1,0; Y = 0,5
0,0000" 0 2,0236"=2 3,3312"=2 4,1309"=2 4,5596"=2 4,6943"=2 4,5596"=2 4,1309"=2 3,3312"=2 2,0236"=2 0,0000" 0
X = 0,0, 0,1, ..., 1,0; Y = 0,6
0,0000" 0 1,9783"=2 3,2472"=2 4,0185"=2 4,4305"=2 4,5596"=2 4,4305"=2 4,0185"=2 3,2472"=2 1,9783"=2 0,0000" 0
X = 0,0, 0,1, ..., 1,0; Y = 0,7
0,0000" 0 1,8308"=2 2,9756"=2 3,6583"=2 4,0185"=2 4,1309"=2 4,0185"=2 3,6583"=2 2,9756"=2 1,8308"=2 0,0000" 0
X = 0,0, 0,1, ..., 1,0; Y = 0,8
0,0000" 0 1,5400"=2 2,4510"=2 2,9756"=2 3,2472"=2 3,3312"=2 3,2472"=2 2,9756"=2 2,4510"=2 1,5400"=2 0,0000" 0
X = 0,0, 0,1, ..., 1,0; Y = 0,9
0,0000" 0 1,0094"=2 1,5400"=2 1,8308"=2 1,9783"=2 2,0236"=2 1,9783"=2 1,8308"=2 1,5400"=2 1,0094"=2 0,0000" 0
X = 0,0, 0,1, ..., 1,0; Y = 1,0
0,0000" 0 0,0000" 0 0,0000" 0 0,0000" 0 0,0000" 0 0,0000" 0 0,0000" 0 0,0000" 0

```

RESIDUONORM: 8,1133" =6 AANTAL AANROEPEN VAN MATVEC: 63 AANTAL ROOSTERPUNTEN: 1681 MAASWIJDE: 1,05

```

X = 0,0, 0,1, ..., 1,0; Y = 0,0
0,0000" 0 0,0000" 0 0,0000" 0 0,0000" 0 0,0000" 0 0,0000" 0 0,0000" 0 0,0000" 0 0,0000" 0
X = 0,0, 0,1, ..., 1,0; Y = 0,1
0,0000" 0 1,0091"=2 1,5399"=2 1,8308"=2 1,9783"=2 2,0235"=2 1,9783"=2 1,8308"=2 1,5399"=2 1,0091"=2 0,0000" 0
X = 0,0, 0,1, ..., 1,0; Y = 0,2
0,0000" 0 1,5399"=2 2,4509"=2 2,9755"=2 3,2471"=2 3,3311"=2 3,2471"=2 2,9755"=2 2,4509"=2 1,5399"=2 0,0000" 0
X = 0,0, 0,1, ..., 1,0; Y = 0,3
0,0000" 0 1,8308"=2 2,9755"=2 3,6582"=2 4,0185"=2 4,1308"=2 4,0185"=2 3,6582"=2 2,9755"=2 1,8308"=2 0,0000" 0
X = 0,0, 0,1, ..., 1,0; Y = 0,4
0,0000" 0 1,9783"=2 3,2471"=2 4,0185"=2 4,4304"=2 4,5595"=2 4,4304"=2 4,0185"=2 3,2471"=2 1,9783"=2 0,0000" 0
X = 0,0, 0,1, ..., 1,0; Y = 0,5
0,0000" 0 2,0235"=2 3,3311"=2 4,1308"=2 4,5595"=2 4,6942"=2 4,5595"=2 4,1308"=2 3,3311"=2 2,0235"=2 0,0000" 0
X = 0,0, 0,1, ..., 1,0; Y = 0,6
0,0000" 0 1,9783"=2 3,2471"=2 4,0185"=2 4,4304"=2 4,5595"=2 4,4304"=2 4,0185"=2 3,2471"=2 1,9783"=2 0,0000" 0
X = 0,0, 0,1, ..., 1,0; Y = 0,7
0,0000" 0 1,8308"=2 2,9755"=2 3,6582"=2 4,0185"=2 4,1308"=2 4,0185"=2 3,6582"=2 2,9755"=2 1,8308"=2 0,0000" 0
X = 0,0, 0,1, ..., 1,0; Y = 0,8
0,0000" 0 1,5399"=2 2,4509"=2 2,9755"=2 3,2471"=2 3,3311"=2 3,2471"=2 2,9755"=2 2,4509"=2 1,5399"=2 0,0000" 0
X = 0,0, 0,1, ..., 1,0; Y = 0,9
0,0000" 0 1,0091"=2 1,5399"=2 1,8308"=2 1,9783"=2 2,0235"=2 1,9783"=2 1,8308"=2 1,5399"=2 1,0091"=2 0,0000" 0
X = 0,0, 0,1, ..., 1,0; Y = 1,0
0,0000" 0 0,0000" 0 0,0000" 0 0,0000" 0 0,0000" 0 0,0000" 0 0,0000" 0 0,0000" 0

```


UITGAVEN IN DE SERIE MC SYLLABUS

Onderstaande uitgaven zijn verkrijgbaar bij het Mathematisch Centrum,
2e Boerhaavestraat 49 te Amsterdam-1005, tel. 020-947272.

MCS 1.1	F. GÖBEL & J. VAN DE LUNE, <i>Leergang Besliskunde, deel 1: Wiskundige basiskennis</i> , 1965. ISBN 90 6196 014 2.
MCS 1.2	J. HEMELRIJK & J. KRIENS, <i>Leergang Besliskunde, deel 2: Kansberekening</i> , 1965. ISBN 90 6196 015 0.
MCS 1.3	J. HEMELRIJK & J. KRIENS, <i>Leergang Besliskunde, deel 3: Statistiek</i> , 1966. ISBN 90 6196 016 9.
MCS 1.4	G. DE LEVE & W. MOLENAAR, <i>Leergang Besliskunde, deel 4: Markovketens, en wachttijden</i> , 1966. ISBN 90 6196 017 7.
MCS 1.5	J. KRIENS & G. DE LEVE, <i>Leergang Besliskunde, deel 5: Inleiding tot de mathematische besliskunde</i> , 1966. ISBN 90 6196 018 5.
MCS 1.6a	B. DORHOUT & J. KRIENS, <i>Leergang Besliskunde, deel 6a: Wiskundige programmering 1</i> , 1968. ISBN 90 6196 032 0.
MCS 1.7a	G. DE LEVE, <i>Leergang Besliskunde, deel 7a: Dynamische programmering 1</i> , 1968. ISBN 90 6196 033 9.
MCS 1.7b	G. DE LEVE & H.C. TIJMS, <i>Leergang Besliskunde, deel 7b: Dynamische programmering 2</i> , 1970. ISBN 90 6196 055 x.
MCS 1.7c	G. DE LEVE & H.C. TIJMS, <i>Leergang Besliskunde, deel 7c: Dynamische programmering 3</i> , 1971. ISBN 90 6196 066 5.
MCS 1.8	J. KRIENS, F. GÖBEL & W. MOLENAAR, <i>Leergang Besliskunde, deel 8: Minimaxmethode, netwerkplanning, simulatie</i> , 1968. ISBN 90 6196 034 7.
MCS 2.1	G.J.R. FÖRCH, P.J. VAN DER HOUWEN & R.P. VAN DE RIET, <i>Colloquium stabiliteit van differentieschema's, deel 1</i> , 1967. ISBN 90 6196 023 1.
MCS 2.2	L. DEKKER, T.J. DEKKER, P.J. VAN DER HOUWEN & M.N. SPIJKER, <i>Colloquium stabiliteit van differentieschema's, deel 2</i> , 1968. ISBN 90 6196 035 5.
MCS 3.1	H.A. LAUWERIER, <i>Randwaardeproblemen, deel 1</i> , 1967. ISBN 90 6196 024 x.
MCS 3.2	H.A. LAUWERIER, <i>Randwaardeproblemen, deel 2</i> , 1968. ISBN 90 6196 036 3.
MCS 3.3	H.A. LAUWERIER, <i>Randwaardeproblemen, deel 3</i> , 1968. ISBN 90 6196 043 6.
MCS 4	H.A. LAUWERIER, <i>Representaties van groepen</i> , 1968. ISBN 90 6196 037 1.
MCS 5	J.H. VAN LINT, J.J. SEIDEL & P.C. BAAYEN, <i>Colloquium discrete wiskunde</i> , 1968. ISBN 90 6196 044 4.
MCS 6	K.K. KOKSMA, <i>Cursus ALGOL 60</i> , 1969. ISBN 90 6196 045 2.

- MCS 7.1 *Colloquium Moderne rekenmachines, deel 1*, 1969. ISBN 90 6196 046 0.
- MCS 7.2 *Colloquium Moderne rekenmachines, deel 2*, 1969. ISBN 90 6196 047 9.
- MCS 8 H. BAVINCK & J. GRASMAN, *Relaxatietrillingen*, 1969. ISBN 90 6196 056 8.
- MCS 9.1 T.M.T. COOLEN, G.J.R. FÖRCH, E.M. DE JAGER & H.G.J. PIJLS, *Elliptische differentiaalvergelijkingen, deel 1*, 1970. ISBN 90 6196 048 7.
- MCS 9.2 W.P. VAN DEN BRINK, T.M.T. COOLEN, B. DIJKHUIS, P.P.N. DE GROEN, P.J. VAN DER HOUWEN, E.M. DE JAGER, N.M. TEMME & R.J. DE VOGELAERE, *Colloquium Elliptische differentiaalvergelijkingen, deel 2*, 1970. ISBN 90 6196 049 5.
- MCS 10 J. FABIUS & W.R. VAN ZWET, *Grondbegrippen van de waarschijnlijkheidsrekening*, 1970. ISBN 90 6196 057 6.
- MCS 11 H. BART, M.A. KAASHOEK, H.G.J. PIJLS, W.J. DE SCHIPPER & J. DE VRIES, *Colloquium Halfalgebra's en positieve operatoren*, 1971. ISBN 90 6196 067 3.
- MCS 12 T.J. DEKKER, *Numerieke algebra*, 1971. ISBN 90 6196 068 1.
- MCS 13 F.E.J. KRUSEMAN ARETZ, *Programmeren voor rekenautomaten; De MC ALGOL 60 vertaler voor de EL X8*, 1971. ISBN 90 6196 069 X.
- MCS 14 H. BAVINCK, W. GAUTSCHI & G.M. WILLEMS, *Colloquium Approximatiethorie*, 1971. ISBN 90 6196 070 3.
- MCS 15.1 T.J. DEKKER, P.W. HEMKER & P.J. VAN DER HOUWEN, *Colloquium Stijve differentiaalvergelijkingen, deel 1*, 1972. ISBN 90 6196 078 9.
- MCS 15.2 P.A. BEENTJES, K. DEKKER, H.C. HEMKER, S.P.N. VAN KAMPEN & G.M. WILLEMS, *Colloquium Stijve differentiaalvergelijkingen, deel 2*, 1973. ISBN 90 6196 079 7.
- MCS 15.3 P.A. BEENTJES, K. DEKKER, P.W. HEMKER & M. VAN VELDHUIZEN, *Colloquium Stijve differentiaalvergelijkingen, deel 3*, 1975. ISBN 90 6196 118 1.
- MCS 16.1 L. GEURTS, *Cursus Programmeren, deel 1: De elementen van het programmeren*, 1973. ISBN 90 6196 080 0.
- MCS 16.2 L. GEURTS, *Cursus Programmeren, deel 2: De programmeertaal ALGOL 60*, 1973. ISBN 90 6196 087 8.
- MCS 17.1 P.S. STOBBE, *Lineaire algebra, deel 1*, 1974. ISBN 90 6196 090 8.
- MCS 17.2 P.S. STOBBE, *Lineaire algebra, deel 2*, 1974. ISBN 90 6196 091 6.
- MCS 17.3 N.M. TEMME, *Lineaire algebra, deel 3*, 1976. ISBN 90 6196 123 8.
- MCS 18 F. VAN DER BLIJ, H. FREUDENTHAL, J.J. DE IONGH, J.J. SEIDEL & A. VAN WIJNGAARDEN, *Een kwart eeuw wiskunde 1946-1971, Syllabus van de Vakantiecursus 1971*, 1974. ISBN 90 6196 092 4.
- MCS 19 A. HORDIJK, R. POTHARST & J.TH. RUNNENBURG, *Optimaal stoppen van Markovketens*, 1974. ISBN 90 6196 093 2.
- MCS 20 T.M.T. COOLEN, P.W. HEMKER, P.J. VAN DER HOUWEN & E. SLAGT, *ALGOL 60 procedures voor begin- en randwaardeproblemen*, 1976. ISBN 90 6196 094 0.

- MCS 21 J.W. DE BAKKER (red.), *Colloquium Programmacorrectheid*, 1975.
ISBN 90 6196 103 3.
- * MCS 22 R. HELMERS, F.H. RUYMGAART, M.C.A. VAN ZUYLEN & J. OOSTERHOOF,
*Asymptotische methoden in de toetsingstheorie toepassingen van
naburigheid*, 1976. ISBN 90 6196 104 1.
- MCS 23.1 J.W. DE ROEVER (red.), *Colloquium Onderwerpen uit de biomathe-
matica, deel 1*, 1976. ISBN 90 6196 105 X.
- * MCS 23.2 J.W. DE ROEVER (red.), *Colloquium Onderwerpen uit de biomathe-
matica, deel 2*, 1976. ISBN 90 6196 115 7.
- * MCS 24.1 P.J. VAN DER HOUWEN, *Numerieke integratie van differentiaalver-
gelijkingen, deel 1: Eenstapsmethoden*, 1974. ISBN 90 6196 106 8.
- MCS 25 *Colloquium Structuur van Programmeertalen*, 1976.
ISBN 90 6196 116 5.
- MCS 26.1 N.M. TEMME (red.), *Nonlinear Analysis, volume 1*, 1976.
ISBN 90 6196 117 3.
- MCS 26.2 N.M. TEMME (red.), *Nonlinear Analysis, volume 2*, 1976.
ISBN 90 6196 121 1.
- MCS 27 M. BAKKER, P.W. HEMKER, P.J. VAN DER HOUWEN, S.J. POLAK &
M. VAN VELDHUIZEN, *Colloquium Discreteringmethoden*, 1976.
ISBN 90 6196 124 6.
- * MCS 28 O. DIEKMAN, N.M. TEMME (EDS.), *Nonlinear Diffusion Problems*, 1976.
ISBN 90 6196 126 2.
- MCS 29.1 J.C.P. BUS (red.), *Numerieke Programmatuur, deel 1A, deel 1B*, 1976.
ISBN 90 6196 128 9.
- * MCS 29.2 J.C.P. Bus (red.), *Numerieke Programmatuur, deel 2*,
ISBN 90 6196 144 0.
- MCS 31 J.H. VAN LINT (red.), *Inleiding in de Coderingstheorie*, 1976.
ISBN 90 6196 136 X.
- MCS 32 L. GEURTS (red.), *Colloquium Bedrijfssystemen*, 1976.
ISBN 90 6196 137 8.
- * MCS 33 P.J. VAN DER HOUWEN, *Differentieschema's voor de berekening van
waterstanden in zeeën en rivieren*, ISBN 90 6196 138 6.
- * MCS 34 J. HEMELRIJK, *Orienterende cursus mathematische statistiek*,
ISBN 90 6196 139 4.

De met een * gemerkte uitgaven moeten nog verschijnen.

